## Министерство сельского хозяйства Российской Федерации Федеральное государственное бюджетное образовательное учреждение высшего образования

«Кубанский государственный аграрный университет имени И.Т. Трубилина»

На правах рукописи

#### Погосян Владимир Макичевич

### ПАРАМЕТРЫ КУКУРУЗНОЙ СЕЛЕКЦИОННОЙ ВАЛЬЦОВОЙ МОЛОТИЛКИ

Специальность 05.20.01 – Технологии и средства механизации сельского хозяйства

#### Диссертация

на соискание ученой степени кандидата технических наук

Научный руководитель: доктор технических наук, доцент В.С. Курасов

## СОДЕРЖАНИЕ

ВВЕДЕНИЕ	3
1 СОСТОЯНИЕ ВОПРОСА, ЦЕЛЬ И ЗАДАЧИ ИССЛЕДОВАНИЙ	9
1.1 Особенности початков кукурузы как объекта обмолота	9
1.2 Анализ опытно-конструкторских работ по разработке устройств для	
обмолота початков кукурузы	15
1.3 Анализ научно-исследовательских работ по обмолоту початков ку-	
курузы	29
1.4 Выводы, цель и задачи исследования	34
2 ТЕОРЕТИЧЕСКОЕ ИССЛЕДОВАНИЕ ПРОЦЕССА ОБМОЛОТА ПОЧАТКОВ КУКУРУЗЫ ДВУХВАЛЬЦОВОЙ МОЛОТИЛКОЙ С ПРИЖИМНЫМ МЕХАНИЗМОМ	36
2.1 Характеристика объекта исследования	36
2.2 Анализ движения початка в двухвальцовой молотилке	38
2.3 Определение производительности двухвальцовой молотилки	48
2.4 Определение мощности, потребной на обмолот початков	50
2.5 Выводы по главе	54
3 РЕЗУЛЬТАТЫ ЭКСПЕРИМЕНТАЛЬНЫХ ИССЛЕДОВАНИЙ И ИХ АНАЛИЗ	56
3.1 Программа и методика экспериментальных исследований	56
3.2 Оптимизация параметров кукурузной селекционной двухвальцовой	
молотилки с прижимным механизмом	64
3.3 Выводы по главе	75
4 ЭКОНОМИЧЕСКАЯ ЭФФЕКТИВНОСТЬ ПРИМЕНЕНИЯ КУКУ- РУЗНОЙ СЕЛЕКЦИОННОЙ ДВУХВАЛЬЦОВОЙ МОЛОТИЛКИ С	
ПРИЖИМНЫМ МЕХАНИЗМОМ	76 76
v	
4.2 Расчет основных экономических показателей	78
4.3 Выводы по главе	86
ЗАКЛЮЧЕНИЕ	87
ЛИТЕРАТУРА	89
ПРИЛОЖЕНИЕ	101

#### **ВВЕДЕНИЕ**

Обработка початков семенной кукурузы после уборки одна из важнейших и энергозатратных операций.

За период с 2010 г. по настоящее время существенно увеличились объем и номенклатура технических средств очистки и послеуборочной обработки зерна, выпускаемых как отечественной промышленностью, так и зарубежными производителями сельскохозяйственной техники.

Следует отметить, что на различных стадиях послеуборочной обработки зерна обеспеченность соответствующими техническими средствами варьирует в очень широких пределах. Наиболее проблемная ситуация наблюдается в механизации селекционного процесса кукурузы [81].

10 апреля 2008 г. Российской академией сельскохозяйственных наук совместно с Министерством сельского хозяйства России был проведен Международный специализированный научно-практический семинар «Современная техника и технологии для селекции и семеноводства» на базе Всероссийского научно-исследовательского института механизации сельского хозяйства. На нем было отмечено, что отечественная промышленность практически не производит технические средства для очистки, обмолота и калибрования селекционного материала кукурузы. В настоящее время ситуация практически не изменилась [33]. Что касается зарубежных производителей, то соотношение цен на импортную сельскохозяйственную технику и прочих расходов, связанных с их приобретением, в нынешних экономических условиях оказывается не в пользу покупки машин зарубежных фирм.

Большинство селекционных кукурузных молотилок обладают малой производительностью, низкой эффективностью разделения семян от других продуктов обмолота, допускают высокий процент повреждения семян. Использование семян с травмами приводит к снижению урожайности. Влияние травмирования семян на их урожайность особенно сильно сказывается в условиях холодной и влажной весны, что имеет место в регионах Северного

Кавказа и, в частности, в Краснодарском крае, являющихся основными производителями семян кукурузы.

Следовательно, разработка и совершенствование технических средств для обмолота початков на этапе селекции кукурузы является актуальной задачей.

Диссертационное исследование выполнено в рамках плана научноисследовательской работы Кубанского ГАУ № ЕГИСУ НИОКР 4A-A16-116022410038-8 раздел – 9.12 (2016-2020 гг.).

Степень разработанности темы. Для обмолота початков кукурузы на этапе селекции разработан ряд молотилок, отличающихся различным конструктивным исполнением рабочих органов. Минимальное травмирование зерна обеспечивают диски с фасонными шипами и различные сочетания обмолачивающих вальцов. Существенный вклад в исследование эффективности шипов молотильно-сепарирующих устройств внес Д. Н. Бахарев [12]. Наибольшее распространение получили дисковые молотилки типа МКД-М. Их исследовали как болгарские ученые [16], так и отечественные [36,37]. Недостатком этих молотилок является необходимость в ряде случаев повторного обмолота початков. Трехвальцовую молотилку с горизонтальным расположением рабочих органов исследовала И. А. Петунина [62]. Недостатком этой молотилки является низкая производительность из-за отсутствия эффективного ориентирующе-загрузочного устройства. Этот недостаток присущ и трехвальцовым молотилкам с вертикально расположенными вальцами. Вальцовые молотилки с горизонтальным расположением рабочих органов изучены недостаточно. Бильные молотильные устройства исследовались целым рядом ученых. Среди них следует отметить работы В. С. Кравченко [37], И. Н. Гурова [28], И. В. Бумбара [15], Ю. И. Мозгового [50] и Г. И. Креймермана [39]. Но молотилки с бильным ротором малопригодны для обмолота початков семенной кукурузы.

Следовательно, существует объективная необходимость в разработке кукурузной селекционной молотилки, обеспечивающей высокую производительность при минимальном дроблении зерна.

Научная гипотеза — оптимизация параметров двухвальцовой молотилки, снабженной прижимным механизмом и имеющей на одном из вальцов выступы, выполненные по форме спирали Архимеда, а на другом винтовую навивку для удаления стержней из зоны обмолота обеспечит повышение производительности и качества обмолота початков на этапе селекции кукурузы.

**Цель работы** — обоснование параметров двухвальцовой молотилки, снабженной прижимным механизмом и имеющей на одном из вальцов выступы, выполненные по форме спирали Архимеда, а на другом винтовую навивку для удаления стержней из зоны обмолота для повышения производительности и качества обмолота початков на этапе селекции кукурузы.

**Объект исследования** — технологический процесс обмолота селекционного материала кукурузы и устройства для его осуществления.

**Предмет исследования** — закономерности, связывающие геометрические параметры и кинематический режим работы рабочих органов двухвальцовой молотилки с показателями качества обмолота початков.

#### Задачи исследования.

- 1. Разработать конструктивно-технологическую схему молотилки для обмолота початков кукурузы на этапе селекции.
- 2. Уточнить размерно-массовую характеристику початков семенной кукурузы.
- 3. Разработать математическую модель движения початка кукурузы в процессе его обмолота двухвальцовой молотилкой с прижимным механизмом.
- 4. Произвести оценку времени обмолота одного початка двухвальцовой молотилкой с прижимным механизмом.

- 5. Определить оптимальные параметры кукурузной селекционной двухвальцовой молотилки с прижимным механизмом по критериям дробления и недомолота зерна.
- 6. Сопоставить результаты теоретических и экспериментальных исследований.
- 7. Провести расчет экономической эффективности применения предлагаемой двухвальцовой молотилки с прижимным механизмом на этапе селекции кукурузы.

**Методы исследований.** Теоретические исследования выполнялись с использованием дифференциального и интегрального исчислений, а также основных законов теоретической механики. При проведении экспериментов использовалась теория многофакторного планирования эксперимента. Опыты проводились в лабораторных условиях с использованием апробированных методик. Обработка опытных данных осуществлялась с использованием программ Microsoft Excel 2010 и MathCad 7.

#### Научную новизну работы составляют:

- математическая модель движения початка кукурузы в двухвальцовой молотилке с прижимным механизмом;
- оценка времени обмолота одного початка двухвальцовой молотилкой с прижимным механизмом;
- оптимальные параметры кукурузной селекционной двухвальцовой молотилки с прижимным механизмом;
- регрессионные зависимости геометрических параметров и кинематического режима работы обмолота початков двухвальцовой молотилкой с прижимным механизмом от показателей дробления и недомолота зерна.

**Теоретическая и практическая значимость результатов исследова- ния.** Теоретическую значимость представляют: математическая модель движения початка кукурузы в двухвальцовой молотилке с прижимным механизмом, позволяющая определить рациональную частоту вращения рабочих ор-

ганов; уравнение для определения времени обмолота початка, которое дает возможность определить производительность двухвальцовой молотилки.

Практическую значимость представляют: конструктивнотехнологическая схема молотилки для обмолота початков кукурузы на этапе селекции, которая позволяет разработать техническое решение конструкции молотилки; регрессионные зависимости геометрических параметров и кинематического режима работы обмолота початков двухвальцовой молотилкой с прижимным механизмом от показателей дробления и недомолота зерна, позволяющие обосновать параметры кукурузной селекционной двухвальцовой молотилки с прижимным механизмом.

#### На защиту выносятся следующие основные положения:

- конструктивно-технологическая схема молотилки для обмолота початков кукурузы на этапе селекции;
- математическая модель движения початка кукурузы в двухвальцовой молотилке с прижимным механизмом;
- уравнение для оценки времени обмолота одного початка двухвальцовой молотилкой с прижимным механизмом;
- результаты экспериментальных исследований по определению оптимальных параметров кукурузной селекционной двухвальцовой молотилки с прижимным механизмом.

#### Степень достоверности полученных результатов.

Экспериментальные данные получены с использованием известных и хорошо зарекомендовавших методик исследования и современной вычислительной техники и измерительных приборов.

Идея базируется на основе практики применения известных устройств для обмолота початков кукурузы. Использованы результаты опубликованных исследований по теме диссертации И. Н. Гурова, В. С. Кравченко, В. В. Куцева, В. С. Курасова, И. А. Петуниной, И. В. Бумбара и Д. Н Бахарева. Установлено качественное и количественное совпадение результатов теоретиче-

ских исследований и экспериментальных данных. Использованы современные методы обработки экспериментальных данных.

#### Реализация и внедрение результатов исследований.

Результаты исследований используются при модернизации рабочих органов молотилок кукурузы в сбытовом сельскохозяйственном потребительском кооперативе «Кукурузокалибровочный завод «Кубань», расположенном в Гулькевичском районе Краснодарского края, а также в учебном процессе ФГБОУ ВО Кубанский ГАУ.

#### Апробация работы.

Основные положения диссертационного исследования докладывались на научных конференциях Кубанского ГАУ (Краснодар, 2016, 2017 гг.), на Всероссийской научно-практической конференции «Вклад молодых ученых в аграрную науку» (Кемель, 2015 г.), на заочных международных научно-практических конференциях «Scientific and Practical Results in 2015. Prospects for Their Development» (Дубаи, 2016 г.) и «International Scientific and Practical Conference World Science» (Дубаи, 2017 г.).

#### Публикации.

По результатам исследований опубликовано 10 научных работ, из них 3 в изданиях из перечня ВАК РФ, а также получен 1 патент на полезную модель и 1 патент на изобретение. Общий объем публикаций составляет 5,3 печатных листа, из них личный вклад автора 2,5 печатных листа.

#### Объем и структура работы.

Диссертация состоит из введения, четырех глав, заключения, списка литературы, включающего 111 наименований и приложения. Диссертация изложена на 132 страницах машинописного текста, включая 32 страницы приложения, содержит 32 рисунка и 14 таблиц.

#### 1 СОСТОЯНИЕ ВОПРОСА, ЦЕЛЬ И ЗАДАЧИ ИССЛЕДОВАНИЯ

#### 1.1 Особенности початков кукурузы как объекта обмолота

Кукуруза (вид Zea mays L.) – одна из основных культур современного мирового земледелия разностороннего использования и высокой урожайности.

Потребление семян кукурузы в нашей стране составляет около 2 % от общемирового объема, на российском рынке доля данной культуры в денежном выражении — порядка 22 % [96]. В зерне кукурузы содержатся углеводы — до 70 %, масла — 6%, белки — 13 %, а также витамины. По питательности 1 кг зерна равняется 1,34 корм. ед., тогда как 1 кг овса равен 1 корм. ед., ржи — 1,18, ячменя — 1,27 [88].

Федеральной научно-технической программой развития сельского хозяйства России на 2017—2025 гг. запланирована подпрограмма «Развитие селекции и семеноводства кукурузы». Ее цель - выведение новых российских конкурентоспособных сортов и гибридов кукурузы, созданных современными методами селекции. В ней указано, что годовой объем производства семян кукурузы отечественной селекции должен быть доведен до 60 %. В настоящее время этот объем составляет 50 % [90].

Национальная ассоциация производителей семян кукурузы и подсолнечника оценивает общую потребность в семенах кукурузы к 2020 г. в 100–120 тыс. т [81].

В последние годы ежегодная закупка импортных семян кукурузы составляет около 5,5 млрд руб., что сопоставимо по объему с отечественным производством в 44 тыс. т [54,109,110]. Однако, прослеживается тенденция к уменьшению этих закупок.

В структуре производства зерна в России кукуруза с 2014 года занимает третье место после пшеницы и ячменя.

На протяжении последних лет в России наблюдался как спад, так и подъем производства кукурузы на зерно.

Так, в 2015 г. валовые сборы составили 13173 тыс. т, в наиболее успешном и благоприятном 2016 г. – 15413 тыс. т, в том числе 96 тыс. т на зерно.

В 2017 г. в России было произведено 132 357,5 тыс. т кукурузы на зерно, и это на 13,5 % ниже объема производства предыдущего года.

Среди регионов, где кукуруза выращивается в больших объемах, лидирует Южный федеральный округ, доля которого в общем производстве составляет чуть более 40 %.

Среди регионов в пятерку основных входят Краснодарский край, Кабардино-Балкарская республика, Ставропольский край, Белгородская и Ростовская области. Краснодарский край здесь лидирует.

По предварительным данным Росстата посевные площади кукурузы в России в 2019 году в хозяйствах всех категорий составили 2 585,9 тыс. га, что на 5,5 % (на 133,9 тыс. га) больше, чем в 2018 году.

По размеру площадей под посевы кукурузы в 2019 г. в пять ведущих регионов вошли:

- Краснодарский край (509,6 тыс. га, доля в общих площадях 19,7 %);
- Воронежская область (207,6 тыс. га, 8,0 %);
- Ставропольский край (177,2 тыс. га, 6,9 %);
- Ростовская область (165,6 тыс. га, 6,4 %);
- Курская область (144,9 тыс. га, 5,6 %)

За 2012—2017 гг. возросло производство семян кукурузы в два раза и составило 21 тыс. т. По сведениям Министерства сельского хозяйства края это обеспечило посев 250 тыс. га именно краснодарскими гибридами кукурузы. Это при том, что из 3,5 млн га пашни кукурузой на зерно было засеяно 596 тыс. га.

Естественно, что сопутствующие объемы селекционной работы невозможно качественно выполнить без соответствующего технического оснащения.

Процесс обмолота кукурузы определяется размерно-массовой характеристикой и технологическими свойствами початков и зерна.

Рассмотрим вышеуказанные характеристики и свойства кукурузы, а также их влияние на геометрические параметры рабочих органов и кинематический режим работы устройств для обмолота початков.

Размерно-массовая характеристика и технологические свойства початков и зерна кукурузы изучена достаточно подробно целым рядом исследователей [9,11,17,21,23,25,28,36,39,53,61,72,74,77,78,84,86,87,88,91,92,98,99,103]. Она очень сильно зависит от сортовых особенностей. Сводные данные по размерно-массовой характеристике початков гибридов кукурузы и самоопыленных (инбредных) линий, используемых в настоящее время в селекционном процессе представлены в таблице 1.1 [36,39,61].

Таблица 1.1 – Размерно-массовая характеристика початков

Длина, мм	%	Диаметр, мм	%	Масса, кг	%
До 100	9	До 35	10	0,050,15	28
150200	51	3540	26	0,150,2	50
200250	40	4045	38	0,20,3	22

Общепринято следующее разделение початков по влажности зерна: более 20 % - сырое; 18...20 % - влажное; 16...18 % - среднее; менее 16 % - сухое [25].

По ГОСТ Р 52325-2005 [24] семена кукурузы классифицируются следующим образом: (ОС) оригинальные, (ЭС) элитные, (РС) для семенных посевов, (РСт) для производства товарного зерна – таблица 1.2.

Таблица 1.2 – Сортовые и посевные качества семян кукурузы

Категория	Сортовая типич-		Содержание		Чистота	Всхожесть*,	Влажность,
семян	ность, %, не менее		ксенийных зерен,		семян,	%, не менее	%, не более
			шт./100 початков,		%, не		
			не более		менее		
		по данным	апробации				
	полевой	амбарной	полевой	амбарной			
			Самоопы	ленные лиг	нии		
OC	99,5	100	20	0	99	90	14
ЭС	99,5	100	20	10	98	90	14
PC	98,0	99	50	30	98	87	14
Гибриды - родительские					формы		
ЭС1	98,0	99	50	30	98	92	14
ЭС2**	98,0	99	400	200	98	92	14
		Гибриды то	варного н	азначения	(1-е покол	ение)	
РСт	-	98	-	600	98	90	14
Сорта и гибридные популяции							
OC	99,5	100	20	0	99	92	14
ЭС	99,5	100	20	10	99	92	14
PC	99,0	100	100	30	98	92	14
РСт	98,0	99	300	100	98	90	14

<sup>\*</sup> Всхожесть семян, выращиваемых в 4-й зоне для местного использования, на 5% ниже.

По форме зерно кукурузы разделяются на круглые и плоские. У основания початка, как правило, расположены крупные круглые зерна, а в верхушечной части - круглые мелкие.

Размер зерна варьирует в следующих пределах: длине 6...14 мм, ширина 5,5...12 мм, толщине 3...8 мм [25,36].

В зависимости от сортовых особенностей, диаметр и вес початков сильно различается.

Усредненные значения по размерно-массовой характеристике початков, культивируемых в настоящее время гибридов кукурузы, приведены в таблице 1.3 [36,61].

<sup>\*\*</sup> Только для отцовских форм.

Таблица 1.3 – Размерно-массовая характеристика початков

Длина, мм	%	Диаметр, мм	%	Масса, кг	%
До 100	9	До 35	10	0,050,15	28
150200	51	3540	26	0,150,2	50
200250	40	4045	38	0,20,3	22

Соотношение массы зерна и стержня колеблется: зерна 74,1...80,5 % и стержня 19,5...25,9 % [25].

Объемная масса початков кукурузы в зависимости от влажности и сортовых особенностей варьирует в интервале 350 до 450 кг/м $^3$ , зерна 600...800 кг/м $^3$ , стержней 200...250 кг/м $^3$  [36].

Скорость витания зерна кукурузы составляет от 12,5 до 14 м/с.

Коэффициент трения покоя зерна кукурузы составляет по дереву 0,7, а по листовой стали 0,58 [62].

Отдельно расположенные початки начинают перекатываться на движущейся резиновой ленте при наклоне ее в  $4...7^0$  [36,62].

По данным А. И. Гокоева [23] среднее усилие, на отрыв от стержня одиночного зерна при влажности 22...23 % в радиальном направлении равно 20,6 Hc, по касательной к окружности початка 5,9 H, а вдоль образующей початка – 12,2 H [36].

По данным А. И. Пьянкова [77] фаза спелости оказывает существенное влияние на прочность связи зерна кукурузы со стержнем (таблица 1.4).

Таблица 1.4 – Прочность связи зерна кукурузы со стержнем

Поморожани	3-я фаза	4-я фаза	5-я фаза
Показатели	21/VIII	525/IX	1/X
Усилие выдергивания зерна, Н	14,5	15.720.3	23,6
Усилие корчевания, (Н) на одно зерно	10,01	6,867,85	5,9
Влажность зерна, %	4042	1835	15

Размерно-массовую характеристику и технологические свойства початков и зерна кукурузы необходимо учитывать при выборе рабочих органов для обмолота кукурузы.

В соответствии с исходными требованиями на базовые машинные технологические операции в растениеводстве [34] предъявляются следующие требования к процессу обмолота початков кукурузы семенного назначения:

- недомолот зерна не должен превышать 1,2 % от массы стержней;
- дробление зерна кукурузы допускается не более 1 %;
- количество зерна в отходах не должно превышать 1%, а сорной примеси в зерне -5%;
- при обмолоте партий початков различных сортов и гибридов сортосмешивание не допускается;
- количество микротравм в области зародыша допускается не более 20 %.

Селекционный материал кукурузы обмолачивается для определения урожайности и дальнейшей селекционной и семеноводческой работы.

Так как, нами проводится исследование для механизации селекционносеменоводческого процесса, то при разработке молотилки будем учитывать требования к процессу обмолота початков кукурузы семенного назначения.

На основании проведенного анализа установлено: имеется большое количество данных по размерно-массовой характеристике початков и зерна кукурузы, а также их технологическим свойствам.

Поэтому, нет необходимости в специальном исследовании в этом направлении. Следует только уточнить параметры початков и зерна тех гибридов (линий), которые будут использованы при проведении теоретических и экспериментальных исследований.

# 1.2 Анализ опытно-конструкторских работ по разработке устройств для обмолота початков кукурузы

Из отечественных ученых первым классифицировал устройства для обмолота кукурузы К. А. Полевицкий [73]. В основу своей классификации он положил способы выделения зерна из початка: ударный, перетирание, выкорчевывание (вышелушивание).

Удар и деформация початка имеют место в тангенциальных молотилках, основными рабочими органами которых являются ротор (барабан) и дека (подбарабанье). Початки в этих молотилках перемещаются перпендикулярно оси ротора. Используется данный тип молотилок преимущественно для обмолота кукурузы фуражного и продовольственного назначения.

Перетирание початков осуществляется в аксиальных молотилках, в которых основные рабочие органы также ротор и дека. Но перемещение початков происходит не перпендикулярно, а параллельно оси ротора. Режим обмолота в этом случае более щадящий, чем в тангенциальных молотилках. Дополнительным фактором обмолота является удар лопастью ротора в приемной камере. Аксиальные молотилки, как правило, используются для обмолота семенной кукурузы.

Выделение зерна из початка путем выкорчевывания (вышелушивания) происходит в дисковых молотилках, снабженных шипами. Эти устройства повреждают зерно в существенно меньшей степени, чем первые два типа молотилок. Дисковые молотилки широко применяются для обмолота отдельных початков на этапе селекции и в личных подсобных хозяйствах.

Исследователи, предлагавшие свои варианты классификации кукурузных молотилок после К. А. Полевицкого, в качестве основного признака использовали конструктивное исполнение рабочих органов или их сочетания [12,25,38,95].

Типичным представителем этой группы является классификация, описанная Ю. А. Шекихачевым [95] – рисунок 1.1.

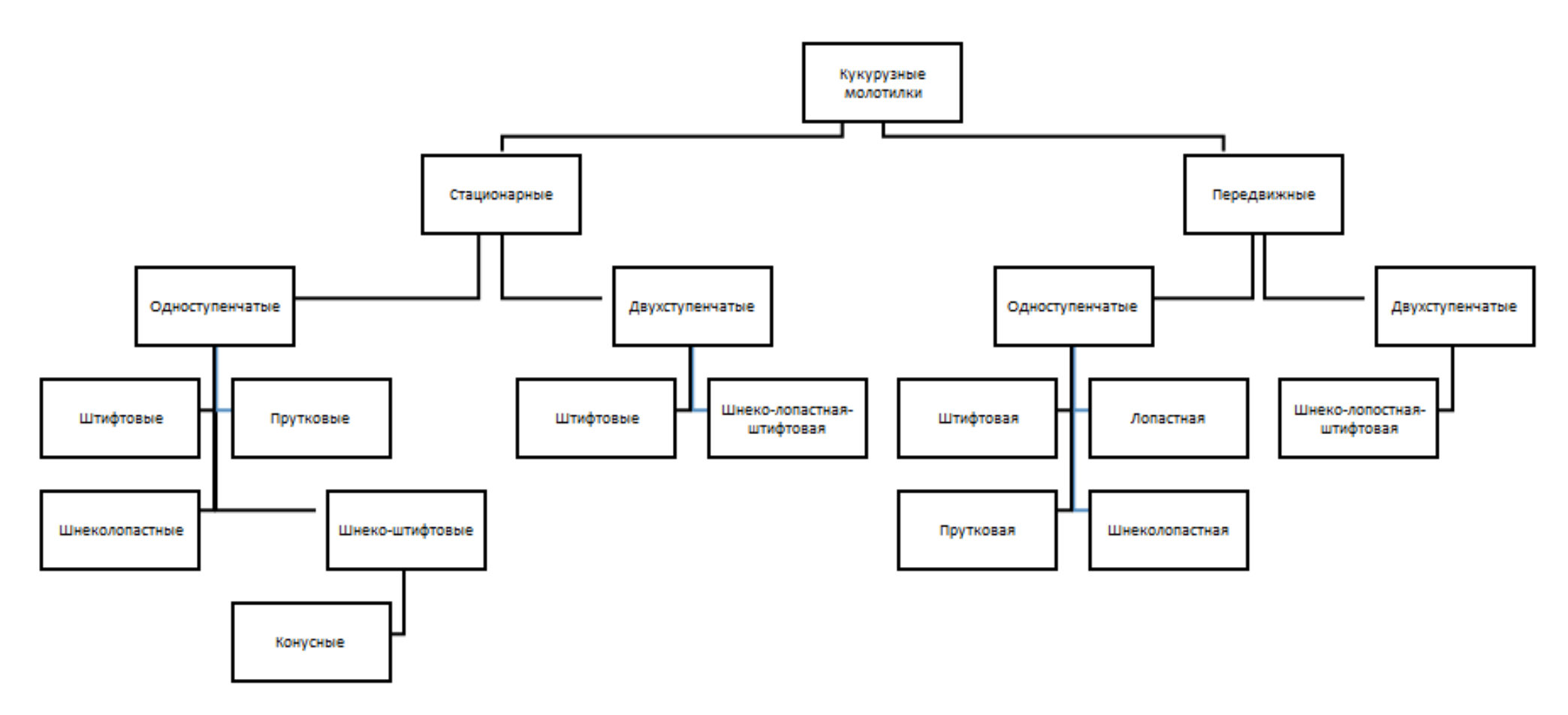


Рисунок 1.1 – Классификация кукурузных молотилок

Профессор В. С. Кравченко [37] классифицировал не молотилки, а способы обмолота кукурузы: по механизму выделения зерна из початка и по характеру действия на него рабочих органов – рисунок 1.2.

I		II		I	II	IV			V	V	I		VII	1	/III
Вы	I-	Выда	3-	Вы,	цав-	Отдел	e-	Oı	гделе-	Отде	еле-	(	Этделе-	Отд	еление
давл	и-	ливан			ание	ние зер			е зер-	ние з	- 1		ие зерна	_	она за
ван		зерна		-	на +	под де			а под	нап			за счет		разру-
зер		почат			еле-	ствие			йстви-	деі		-	астяже-		ения
ИЗ П		+ отд			зер-	сил			виб-	стви			ния и	сте	ржня
чат		лени			под	инерци	ии	-	ции и	сил	-	p	азрыва		
+ 0		зерна под де			ей- ием				л тре- ния	НИ	К	2	связи		
дел ни		дей-			тре-				ния				ерна со тержнем	<b>л</b>	
зер		ствие			яи							CI	СРЖПСК	1	
ПО		сил	IVI		ил										
дей		трени	Я		оции										
стви		-F		1											
си	Л														
ине	p-														
ЦИ	И														
		$\bigwedge$					\			/	\				
/		/ \ `	//								\				
/	,				`		`		`				`		
<b>∳</b>	<u>/</u>	<u> </u>	· ·	<u>\</u>	11.4	TIT	TIT	2	177.1	<b>X</b>	¥ X7T 1		<b>▼</b>	VIII	X7111 1
I.1	II.1			II.3	II.4	III.1	III.	Z	IV.1	V.1	VI.1	L	VII.1	VII.2	VIII.1
Удар	Удар + защемление початка между рабочими органами	Удар + перемещение початка в среде	Ожочие попочко межти развитилителя робонили очто	Сжагие початка между вращающимися раоочими орга- нами	Прижатие початка к вращающимся рабочим органам силами инерции	Прижатие початка к вращающимся рабочим органам силами инерции + вибрация	Прижатие початка к вращающимся рабочим органам +	виорация	Периодическое ударное воздействие по торцу початка	Периодические ударные воздействия (вибрация) о вращающиеся рабочие органы	Прижатие початка к вращающимся рабочим опганам	main the will cond wanterental a	Декомпрессионный способ	Путем вращения початка вокруг продольной оси	Удалением стержня путем его вырезания

Рисунок 1.2 – Классификация способов обмолота початков кукурузы [37]

Но эта классификация не очень удобна для анализа конструкций молотилок. Поэтому мы предлагаем вариант классификации молотилок, совмещенный с способом действия на початок рабочих органов – таблица 1.5.

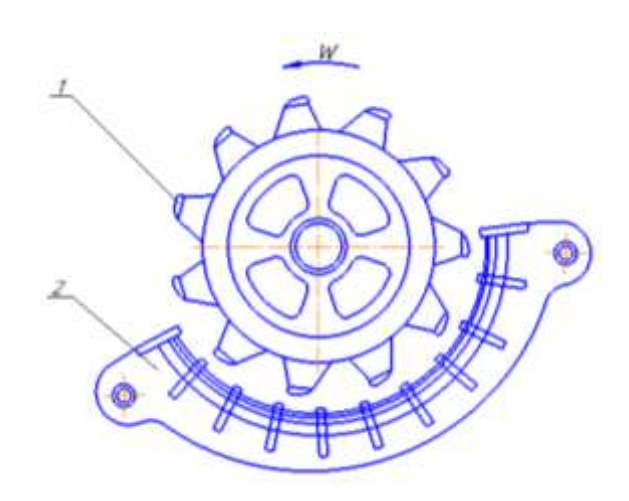
Таблица 1.5 – Типы молотилок и способ действия на початок рабочих органов молотилки

No	Способ действия на початок	Тип молотильного устройства
	рабочих органов молотилки	тип молотильного устроиства
пп 1	Удар	A review with a North Titre of Division Hollocative in Ports
1	удар	Аксиальные молотилки с винтолопастным ротором и прутковой или решетчатой декой
	V	• • • • • • • • • • • • • • • • • • • •
2	Удар + защемление початка	1. Тангенциальные молотилки с цилиндрическим
	между рабочими органами	ротором (снабженным бичами или штифтами) и
		решетчатой декой с переменным зазором от вхо-
		да к выходу из рабочей щели
		2. Аксиальные молотилки с винтолопастным ро-
		тором и решетчатой декой, и с обмолачивающим
		бичем на крышке молотильной камеры
		3. Тангенциальные многовальцовые молотильные
		аппараты с дифференциальным приводом валь-
		цов и вальцовой декой
3	Удар + перемещение початка	1. Аксиальные молотилки с винтолопастным ро-
	в среде	тором и прутковой или решетчатой декой
	обмолачиваемой массы	2. Конусные молотильные аппараты
4	Сжатие початка между вра-	Тангенциальные многовальцовые (планетарные)
	щающимися рабочими орга-	молотильные аппараты с дифференциальным
	нами	приводом вальцов
5	Прижатие початка к враща-	Аксиальные многовальцовые молотильные аппа-
	ющимся рабочим органам	раты с дифференциальным приводом вальцов
	силами инерции	
6	Прижатие початка к враща-	Аксиальные многовальцовые молотильные аппа-
	ющимся рабочим органам	раты с дифференциальным приводом вальцов и
	силами инерции + вибрация	выступами на вальцах в форме храповика
7	Прижатие початка к враща-	Двух- и трехвальцовые молотилки с горизонталь-
	ющимся рабочим органам +	ным расположением вальцов
	вибрация	
8	Периодическое ударное воз-	Работоспособных технических решений нет
	действие по торцу початка	
9	Периодические ударные воз-	Работоспособных технических решений нет
	действия (вибрация) о вра-	_
	щающиеся рабочие органы	
10	Прижатие початка к враща-	1. Дисковые молотилки типа МКД-М
	ющимся рабочим органам	2. Однопочатковые конусные молотилки
11	Декомпрессионный способ	Камера, обеспечивающая давление воздуха до
	<del>-</del>	5 атм и резкий сброс давления до атмосферного
12	Путем вращения початка во-	Этот способ обмолота в конструкциях кукуруз-
	круг продольной оси	ных молотилок не реализован
13	Удалением стержня путем	Этот способ обмолота в конструкциях кукуруз-
	его вырезания	ных молотилок не реализован
	1	1

При анализе молотильных устройств учтем следующие факторы: дробление зерна селекционных номеров не должно превышать 1,0 % (как для семенной кукурузы); объем партии одного селекционного номера варьирует от одного початка до нескольких десятков. Следовательно, устройства для обмолота початков на этапе селекции должны обмолачивать не только партию, но и одиночные початки.

1-й способ. Вымолот зерна из одиночного початка, только за счет удара, может производиться в аксиальных молотилках с винтолопастным ротором (типа МКП). Но окружная скорость ротора в этом случае должна быть не менее 14 м/с, в то время как молотилках этого типа она не превышает 7 м/с. Как показали исследования в Краснодарском НИИСХ [39], для початков с влажностью 12...13 % дробление зерна при окружной скорости 14 м/с превышает 5 %, что является неприемлемым.

2-й способ. Этот способ обмолота осуществляется в тангенциальных молотилках. Принципиальная схема тангенциальной молотилки приведена на рисунке 1.3.



1 – ротор, 2 – дека, w – угловая скорость ротора.

Рисунок 1.3 – Принципиальная схема тангенциальной молотилки

Молотилки данного типа установлены на зерноуборочных комбайнах [8,43,94,101,102,105], применяемых для уборки кукурузы с обмолотом почат-

ков. Но из-за того, что початок перемещается в молотильном блоке на относительно короткое расстояние, то окружная скорость ротора должна составлять не менее 14...15 м/с. А это ведет к дроблению зерна порядка 4...5 %, что выше допустимого уровня. Поэтому, они применяются только для уборки кукурузы фуражного и продовольственного назначения.

Из кукурузных молотилок к этому типу относятся снятые с производства молотилки ЗКМ-3A, Красный Аксай и МК-100 [25,38]. Но они также не обеспечивают требуемое качество обмолота семенной кукурузы по дроблению зерна.

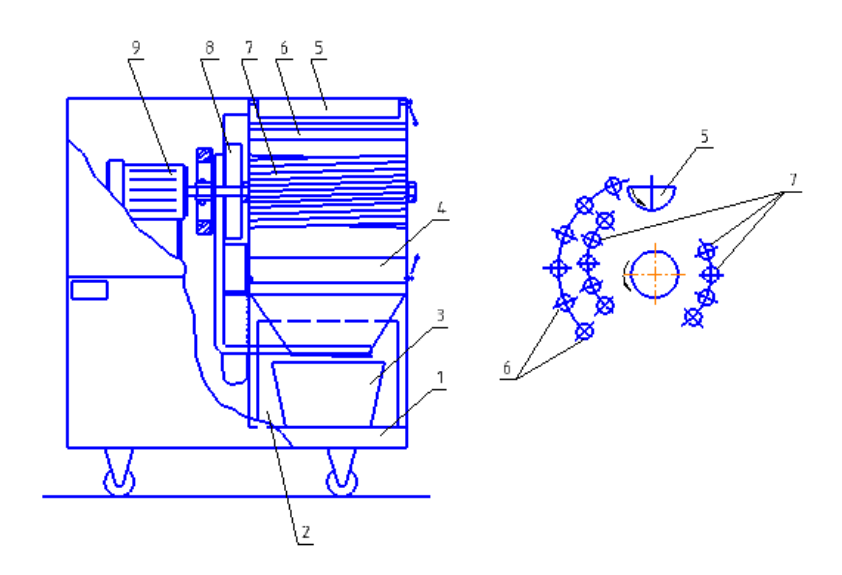
Днепропетровский тракторный завод ГП "ПО Южный машиностроительный завод имени А. М. Макарова» выпускает молотилку кукурузных початков ДТЗ МКП-03 производительностью 300 кг/ч — рисунок 1.4. Но она предназначена для обмолота кукурузы только фуражного и продовольственного назначения.



Рисунок 1.4 – Общий вид молотилки ДТЗ МКП-03

В Кишиневском СХИ был разработан экспериментальный образец тангенциальной молотилки с барабаном, с обрезиненной рабочей поверхностью [51,93]. Но эта молотилка не пошла в серийное производство из-за износа обрезиненных поверхностей менее чем за один сезон.

В селекционном процессе из тангенциальных молотилок используется однопочатковая молотилка конструкции Краснодарского НИИСХ [45]. Принципиальная схема молотилки представлена на рисунке 1.5.



1 – рама; 2 – емкость для стержней; 3 – емкость для зерна; 4 – решето; 5 – желоб; 6 – дека; 7 –ротор; 8 – вентилятор; 9 – электродвигатель.

Рисунок 1.5 – Принципиальная схема однопочатковой молотилки конструкции Краснодарского НИИСХ [45]

Данная молотилка используется для обмолота селекционных номеров кукурузы при определении урожайности. Дробление зерна превышает 3 %, поэтому для обмолота на семена она не используется.

3-й способ. Этот способ обмолота реализуется в аксиальных молотилках с винтолопастным ротором типа МПК (МПК-0,3; МСПК-0,5) и МКП-У [10,39,41,44,45,46,50]. К ним следует отнести и молотильные устройства французской фирмы Bourgoin, такие как 15/45 ТZ [106] и Bamba [107]. Эти молотилки обмолачивают партии початков семенной кукурузы объемом от 300 кг (МПК-0,3) до 15 т (МКП-У). Отдельные початки в них обмолотить невозможно. Поэтому аксиальные молотилки с винтолопастным ротором для достижения поставленной цели в нашей работе не представляют интереса.

В конусных аппаратах, используемых для обмолота семенной кукурузы, также осуществляется рассматриваемый способ обмолота. Классические представители этого типа: молотилки GML-61 (Франция) и Western-2A (США) [108]. Молотильный блок этих устройств включает конусный ротор и замкнутую деку, размещенные горизонтально. Имеются и конусные аппараты с вертикальным расположением рабочих органов [47], что обеспечивает

их самоочистку. Существующие конусные аппараты обеспечивают дробление зерна менее 1 %, но они рассчитаны на обмолот партий объемом от нескольких сотен килограммов до 30 т [47, 48].

Исключение составляет молотилка ученых НИИМСХ Центрально-Черноземной полосы им. В.В. Докучаева [3], принципиальная схема которой представлена на рисунке 1.6.

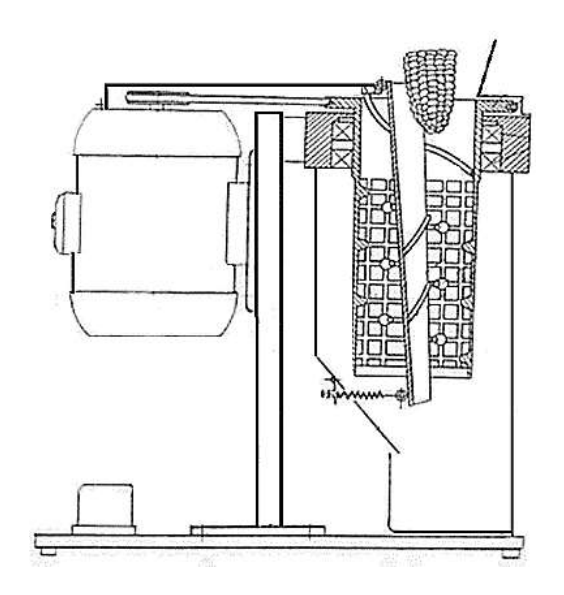


Рисунок 1.6 – Принципиальная схема молотилки по а.с. СССР № 1114370

Эта разработка представляет интерес, но она не была доведена до практического воплощения.

4-й способ. Этот способ осуществляется в многовальцовых (планетарных) аппаратах с дифференциальным приводом вальцов [29,30,35]. Замена традиционной решетчатой деки на вальцовую позволяет производить обмолот початков при окружной скорости ротора до 7 м/с, поскольку интенсифицируется вращение початка вокруг собственной оси. Планетарные аппараты соответствуют требованиям семеноводства, но они сложны конструктивно и экономически не эффективны.

5-й способ. Этот способ проверен на экспериментальной установке, разработанной в Краснодарском НИИСХ [45] – рисунок 1.7.

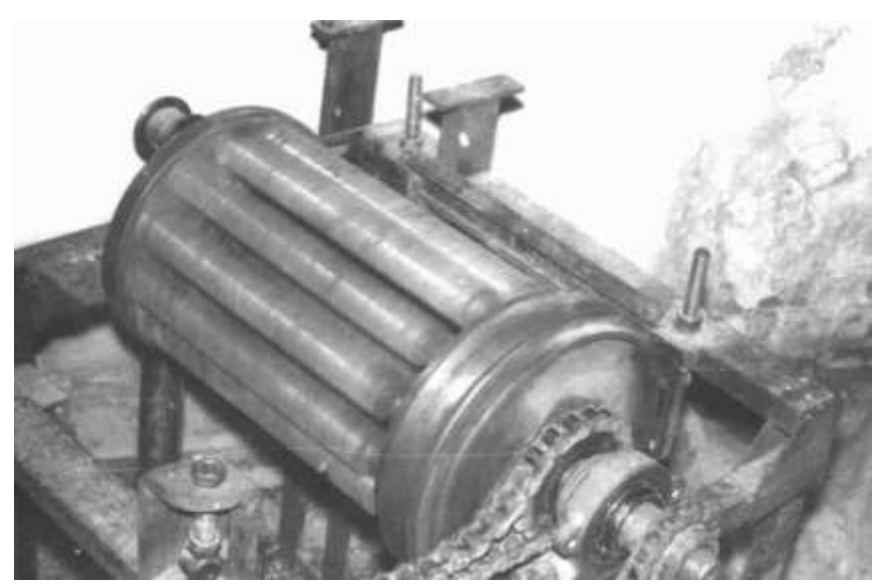
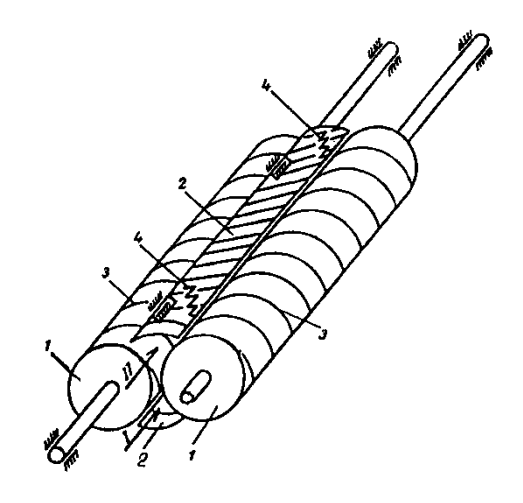


Рисунок 1.7 – Общий вид экспериментальной установки для проверки способа обмолота кукурузы по патенту РФ № 2190316 [45]

Этот способ является перспективным с точки зрения снижения травмирования зерна. Но экономически обоснованного технического решения, обеспечивающего подачу початков в молотильную камеру, не было найдено. Поэтому работы в данном направлении были прекращены.

6-й способ. Этот способ обмолота защищен патентом РФ № 2023373 РФ [58], но требуется практическая проверка.

7-й способ. Экспериментальная установка для проверки данного способа была разработана С. Василевым (Болгария) [15]. Схема установки представлена на рисунке 1.8.

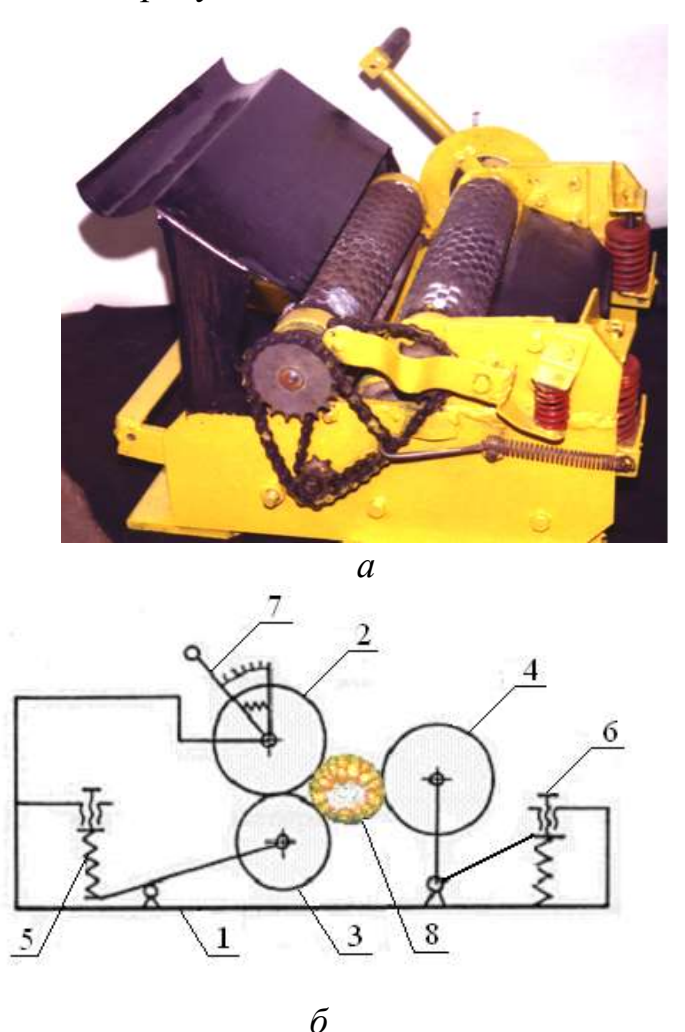


1 — вальцы; 2 — прижимные пластины; 3 — винтовая поверхность; 4 — пружины; I и II — горловины.

Рисунок 1.8 – Принципиальная схема вальцовой молотилки [15]

Исследования показали, что при окружной скорости вальцов 5,3 м/с и влажности зерна 12...13 % дробление зерна не превысило 0,22 % [15]. Но это исследование не завершилось разработкой серийного варианта молотилки. Тем не менее, данный тип молотилок является перспективным для использования их для обмолота початков на этапе селекции кукурузы.

Профессор И. А. Петунина исследовала процесс обмолота початков трехвальцовой молотилкой [60,61,62]. Общий вид молотилки и её принципиальная схема приведены на рисунке 1.9.



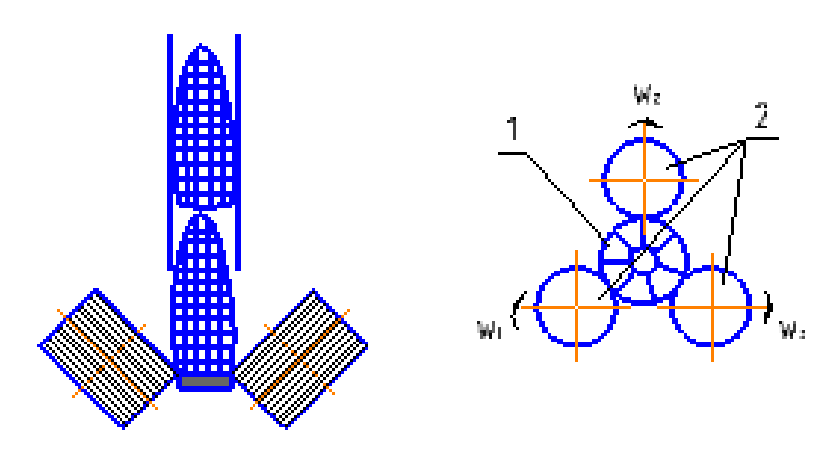
a — общий вид;  $\delta$  — принципиальная схема установки; I — рама; 2 — приводной (верхний) обрезиненный валец (D = 71 мм); 3 — ведомый (нижний) валец; 4 — прижимной обрезиненный валец (D = 71 мм); 5 — механизм поджатия ведомого вальца;  $\delta$  — механизм прижатия початка;  $\delta$  — динамометрический привод;  $\delta$  — початок.

Рисунок 1.9 – Общий вид и принципиальная схема экспериментальной установки для очистки и обмолота початков кукурузы [60]

В результате экспериментальных исследований И. А. Петунина определила следующие основные параметры молотилки: сила прижатия початка к вальцам максимум 650 H; коэффициенты трения контактирующих поверхностей вальцов — не менее 0,51; рабочая окружная скорость вальцов не более 1,4 м/с. Дробление зерна составило 0,2 % [62].

Но и это исследование не завершилось разработкой серийного варианта молотилки. Тем не менее, данный тип молотилок также является перспективным для использования их для обмолота початков на этапе селекции кукурузы. К недостаткам трехвальцовой молотилки с горизонтально расположенными вальцами следует отнести необходимость остановки молотилки после обмолота каждого початка.

Интерес представляют также и трехвальцовые молотилки с вертикальных расположением рабочих органов. К ним относится молотилка [100], схема которой показана на рисунке 1.10.



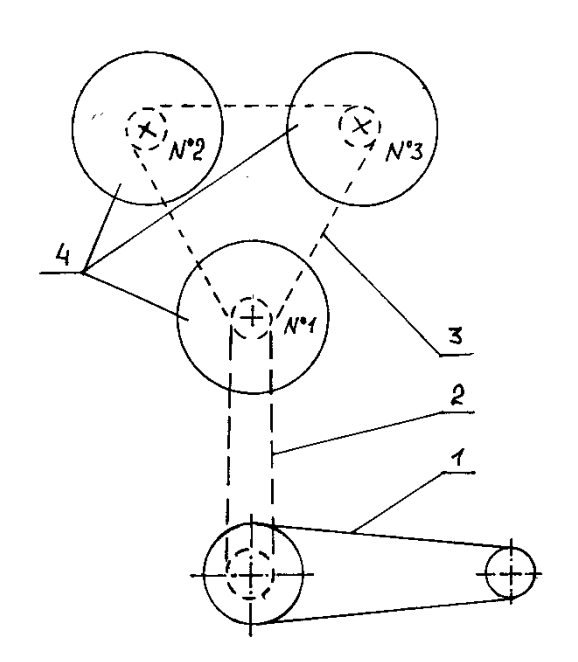
1 – початок; 2 – вальцы

Рисунок 1.10 — Принципиальная схема молотилки по патенту США № 4201227

Вальцы размещаются под углом 20<sup>0</sup> к вертикали. Сами вальцы закреплялись на ручных дрелях. Скорость вращения роликов составляла: 900, 1000 и 1100 мин<sup>-1</sup>. Дробление зерна отсутствовало. Затраты энергии составили 0,12...0,23 кВт-ч/т, но пропускная способность молотилки оказалась существенно ниже, чем у традиционных устройств [100].

В Краснодарском НИИСХ также была предпринята попытка разработать трехвальцовую молотилку с вертикальными вальцами [39,45]. Общий вид молотилки и её принципиальная схема показаны на рисунке 1.11.





1 – зубчатоременная передача; 2 и 3 – цепные передачи; 4 – обмолачивающие вальцы. Рисунок 1.11 – Общий вид и принципиальная схема трехвальцовой молотилки конструкции КНИИСХ [45]

Исследование молотилки показало, что максимальное дробление составило 0,43 %, а недомолот 0,9 %. Початки подавались в молотильный блок только при приложении внешней нагрузки от 15 до 35 Н [45]. Нагрузка обеспечивалась установкой в направляющем патрубке металлических дисков.

Недостаток молотилки - необходимость ручной подачи початков, так как стоимость подающего механизма в разы будет выше стоимости молотилки.

8-й способ «Периодическое ударное воздействие по торцу початка». Периодические удары по торцу початка исследовались Г. А. Никитиной [53]. Обмолота початков таким способом возможен, но он не нашел применения из-за сложности и ненадежности предлагавшихся устройств.

9-й способ «Периодические ударные воздействия (вибрация) о вращающиеся рабочие органы». Работоспособных технических решений на сегодняшний день нет.

10-й способ «Прижатие початка к вращающимся рабочим органам» в настоящее время практически единственный, который применяется в существующих в настоящее время селекционных однопочатковых молотилках [1,45,104].

Основной рабочий орган этих молотилок - диск с шипами. Привод ручной или от электродвигателя. Размеры селекционных номеров кукурузы варьируют в широком интервале. Поэтому большинство дисковых молотилок снабжены прижимными механизмами, что обеспечивает обмолот початков любого диаметра. Наиболее распространены молотилки типа МКД-М [45] — рисунок 1.12, а также молотилка LS 230 австрийской фирмы Wintersteiger [104] — рисунок 1.13.

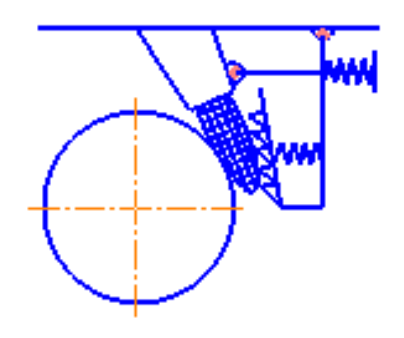


Рисунок 1.12 – Принципиальная схема молотилки типа МКД-М [45]



Рисунок 1.13 – Общий вид лабораторной молотилки LS 230 [104]

Этот тип молотилок обеспечивает не только высокое качество обмолота, сопоставимое с ручным обмолотом, но и самоочистку рабочих органов. Поэтому они наиболее широко применяются в селекционных учреждениях. Существенным недостатком этих молотилок является низкая производительность, вызванная необходимостью в большинстве случаев повторного домолота початков.

11-й способ. По результатам опытов, проведенным в Краснодарском НИИСХ [6,36] декомпрессионный способ реализуется при резком сбросе повышенного давления воздуха (4...5 атм.) в закрытой камере с початками. Но

конструкций кукурузных молотилок, основанных на этом способе в настоящее время пока нет.

12-й способ. Работоспособных и экономически целесообразных технических решений по выделению зерен за счет центробежных сил в настоящее время нет. Данный способ используется пока только при разработке приборного обеспечения для изучения прочности связи зерна со стержнем [4].

13-й способ. Обмолот початков путем вырезания стержня, предложенный А. Д. Беспамятновым [5], сложен в техническом исполнении. Он не пригоден для семенной кукурузы, так как велика вероятность повреждения зародыша.

Обмолот кукурузы путем удара по торцу початка возможен [1,53], но экономически обоснованных технических решений нет.

Анализ опытно-конструкторских работ по разработке устройств для обмолота початков семенной кукурузы позволяет сделать следующий вывод: наиболее перспективным путем повышения производительности обмолота селекционного материала кукурузы, при минимальном уровне дробления зерна, является применение вальцовых рабочих органов. Но серийно выпускаемых селекционных кукурузных вальцовых молотилок в настоящее время нет.

Поэтому существует объективная необходимость, как в модернизации существующих селекционных кукурузных вальцовых молотилок, так и в разработке новых конструкций.

# 1.3 Анализ научно-исследовательских работ по обмолоту початков кукурузы

Такими ученые, как В. П. Горячкин [26], Н. И. Гуров [27], И. О. Василенко, В. В. Деревенко [30], М.А. Пустыгин [75], Э. В. Жалнин [7,32], И. В. Бумбар [14], М. Г. Голик [25], Г. И. Креймерман [38], В. С. Кравченко [36,37],

В. С. Курасов [39], Ю. И. Мозговой [49], Г. А. Никитина [53], И. А. Петунина [60,61,62], А. И. Пьянков [77], Д. Н. Бахарев [11], В. В. Войцехович [19,20], А. И. Гокоев [22,23], Т. К. Тогонбаев [85], Н. Н. Ульрих [89], Ю. А. Шекихачев [95], К. В. Шатилов [94] и другие выполнили большой объем теоретических и опытно-конструкторских работ по уборке и послеуборочной обработке початков кукурузы. В частности, были обоснованы основные параметры рабочих органов и технологических процессов очистки и обмолота початков кукурузы.

Параметры рабочих органов молотильных аппаратов во многом определяются из условия равновесия зажатого стержня, предложенного М. В. Сабликовым [80]:

$$\chi_{\text{крит}} \le 2 \cdot \varphi_1;$$
(1.1)

где  $\chi_{\rm крит}$  — критический угол защемления, град;  $\varphi_1$  — угол трения стержня по поверхности, град.

И. Н. Гуров [27] определил, что дробление зерна менее 2 % происходит при величине ударного импульса равного 1,45 H·с. Им найдена зависимость для определения скорости соударения початка с лопастью, обеспечивающей разрушение початка:

$$V_{\Pi \mathcal{A}} = \sqrt{\frac{2S_{yA}}{m_{\Pi}}}; \tag{1.2}$$

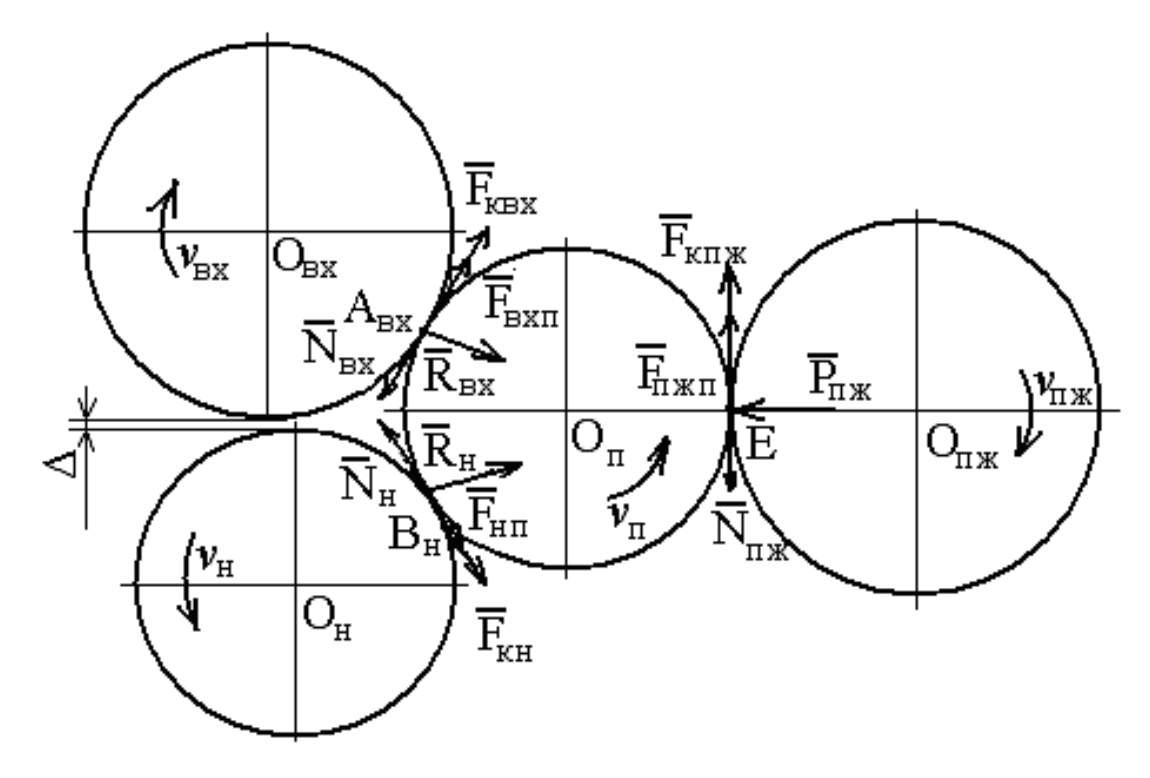
где  $V_{\rm пд}$  — скорость соударения початка с обмолачивающей поверхностью, м/с;  $S_{\rm уд}$  — ударный импульс, H·c;  $m_{\rm п}$  — масса початка, кг.

Профессор И. А. Петунина исследовала процесс обмолота початков трехвальцовой молотилкой [60,61].

В разработанной ей конструкции молотилки радиус прижимного вальца и диаметр початка расположены на линии, которая перпендикулярна ли-

нии, являющейся касательной к рабочим поверхностям как верхнего, так и нижнего вальцов.

Так же И. А. Петунина рассмотрела силы, действующие на початок в трехвальцовой молотилке (рисунок 1.14) [60].



 $P_{n m}$  — усилие поджатия початка кукурузы к вальцам;  $R_{\rm sx}$  - реакция верхнего вальца;  $R_{\rm H}$  — реакция нижнего вальца.

Рисунок 1.14 — Силы, действующие на початок при его обмолоте в трехвальцовой молотилке [60]

Автором были выведены формулы для нахождения тангенциальной силы на верхнем вальце [60]:

$$\overline{N}_{H} = \overline{F}_{HN} + \overline{F}_{kH} = \overline{P}_{H}(f_{1} + f_{k1}),$$
 (1.3)

где  $\overline{N}_{\rm ex}$  - тангенциальная сила, H;  $\overline{F}_{\rm hn}$  - сила трения движения валец - початок, H;  $\overline{F}_{\rm kgg}$  - сила трения качения валец — початок, H;  $f_1$  - коэффициент трения движения резина-зерновки початка;  $f_{\kappa 1}$  - коэффициент трения качения резина-зерновки початка;

Результирующая от нормального давления  $\overline{P}_{\!\!\! H}$  и тангенциальной составляющей  $\overline{N}_{\!\!\! H}$  имеет вид

$$\overline{R_{\rm H}} = \overline{P_{\rm H}} + \overline{N_{\rm H}},\tag{1.4}$$

Тангенциальная сила на приводном вальце равна

$$\overline{N_{\text{пр}}} = \overline{F_{\text{прн}}} + \overline{F_{k\text{пр}}} = \overline{R_{\text{пр}}^n} (f_2 + f_{k2}), \tag{1.5}$$

где  $\overline{N}_{np}$ - тангенциальная сила на приводном вальце, H;  $\overline{F}_{npn}$  - сила трения движения приводной валец - зерновка, H;  $\overline{F}_{knn}$  - сила трения качения приводной валец — зерновка, H;  $f_2$  - коэффициент трения движения приводной валец-зерновка;  $f_{\kappa 2}$  - коэффициент трения качения приводной валец-зерновка;

Тангенциальная сила на ведомом вальце равна

$$\overline{N_{\rm B}} = \overline{F_{\rm BH}} + \overline{F_{k\rm B}} = \overline{R_{\rm B}^n} (f_3 + f_{k3}), \tag{1.6}$$

где  $\overline{N_{\rm B}}$  - тангенциальная сила на ведомом вальце, H;  $\overline{F_{nph}}$  - сила трения движения ведомый валец - зерновка, H;  $\overline{F_{knn}}$  - сила трения качения ведомый валец — зерновка, H;  $f_3$  - коэффициент трения движения ведомый валец-зерновка;  $f_{\kappa 3}$  - коэффициент трения качения ведомый валец-зерновка;

И. А. Петунина обозначила отношение линейных скоростей прижимного вальца и верхнего вальца как кинематический параметр λ

$$\lambda = \frac{V_{\Pi \mathcal{W}}}{V_{\Pi \mathcal{P}}}, \qquad (1.7)$$

где  $\lambda$  — кинематический коэффициент; Vпж — линейная скорость прижимного вальца, м/с; Vпр — линейная скорость приводного вальца, м/с.

При  $\lambda$ <1 линейная скорость прижимного вальца меньше линейной скорости приводного и ведомого вальцов.

В этом случаи деформационная часть початка, располагающаяся между точками контакта прижимного E и приводного вальца  $B_{np}$  и между прижимным и ведомым вальцом растягивается (рисунок 1.6). Происходит проскальзывание поверхности приводного вальца по зерновой части контакта, т.к.

$$\overline{F_{\rm np}^{\rm \pi p 3}} < \overline{F}_{\rm H}^{\rm H 3} < \overline{N}_{\rm np}, \tag{1.8}$$

где  $F_{\rm np}^{\rm np3}$  — сила трения зерновой части по поверхности приводного вальца в точке  ${\rm B}_{\rm np}$  .

Далее происходит вращение обмолачиваемого початка со скоростью Vпж, а проскальзывают по его поверхности как приводной, так и ведомый вальцы. При этом ведомый валец вращается со скоростью Vпж и создает меньшее давление на початок и, таким образом, способствует его торможению [61].

При кинематическом коэффициенте  $\lambda$ =1 линейные скорости всех трех вальцов одинаковы. Следовательно, початок, подверженный действию равнодействующих сил трения, и уравновешен моментами этих сил.

При кинематическом коэффициенте  $\lambda > 1$  линейные скорости всех трех вальцов неравны. Следовательно, початок в рабочее пространство молотильного блока не входит, вращаясь вокруг своей оси, и продолжает катиться по поверхности приводного и прижимного вальцов.

Следовательно, при  $\lambda > 1$  и  $\lambda = 1$  початки или не попадают в молотильный блок, или происходит их обмолот с низким качеством.

Рабочий режим молотильного блока происходит, когда кинематический коэффициент  $\lambda < 1$  [61].

#### 1.4 Выводы, цель и задачи исследования

Анализ существующих конструкций различных типов молотилок показывает, что применяемые рабочие органы не выполняют нормативные требования к процессу обмолота початков семенной кукурузы. Следовательно, необходима либо модернизация существующих молотилок, либо разработка новых конструкций, а также оптимизация их геометрических параметров и режимов работы. Установлено, что использование вальцовых молотилок наиболее целесообразно на этапах селекции и первичного семеноводства.

Размерно-массовая характеристика и технологические свойства как початков, так зерна кукурузы изучены достаточно полно. Применительно к нашим задачам их исследовать нет необходимости. Поэтому в нашем исследовании мы будем только уточнять отдельные показатели по тем линиям и гибридам, которые использовались при проведении экспериментальных исследований.

В связи с вышеизложенным, в качестве научной гипотезы принимаем, что оптимизация параметров двухвальцовой молотилки, снабженной прижимным механизмом и имеющей на одном из вальцов выступы, выполненные по форме спирали Архимеда, а на другом винтовую навивку для удаления стержней из зоны обмолота обеспечит повышение производительности и качества обмолота початков на этапе селекции кукурузы.

Целью работы является обоснование параметров двухвальцовой молотилки, снабженной прижимным механизмом и имеющей на одном из вальцов выступы, выполненные по форме спирали Архимеда, а на другом винтовую навивку для удаления стержней из зоны обмолота для повышения производительности и качества обмолота початков на этапе селекции кукурузы.

Для достижения поставленной цели необходимо решить следующие задачи:

1. Разработать конструктивно-технологическую схему молотилки для обмолота початков кукурузы на этапе селекции.

- 2. Уточнить размерно-массовую характеристику початков семенной кукурузы.
- 3. Разработать математическую модель движения початка кукурузы в процессе его обмолота двухвальцовой молотилкой с прижимным механизмом.
- 4. Произвести оценку времени обмолота одного початка двухвальцовой молотилкой с прижимным механизмом.
- 5. Определить оптимальные параметры кукурузной селекционной двухвальцовой молотилки с прижимным механизмом по критериям дробления и недомолота зерна.
- 6. Сопоставить результаты теоретических и экспериментальных исследований.
- 7. Провести расчет экономической эффективности применения предлагаемой двухвальцовой молотилки с прижимным механизмом на этапе селекции кукурузы.

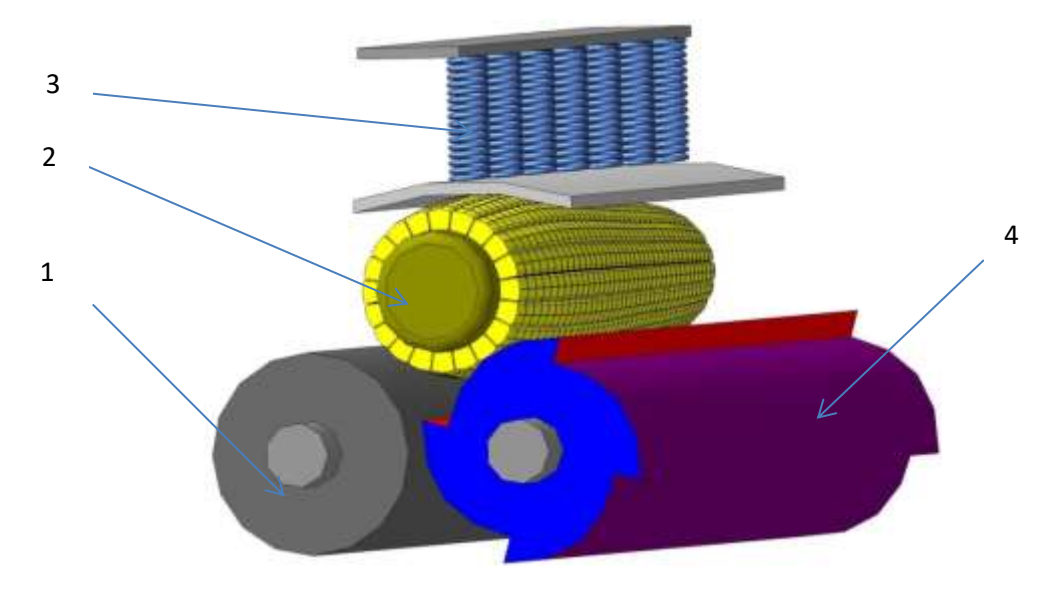
# 2 ТЕОРЕТИЧЕСКОЕ ИССЛЕДОВАНИЕ ПРОЦЕССА ОБМОЛОТА ПОЧАТКОВ КУКУРУЗЫ ДВУХВАЛЬЦОВОЙ МОЛОТИЛКОЙ С ПРИЖИМНЫМ МЕХАНИЗМОМ

#### 2.1 Характеристика объекта исследования

Ранее было установлено, что одним из наиболее перспективных путей повышения производительности обмолота початков на этапе селекции кукурузы, при одновременной минимизации уровня дробления зерна, является использование вальцовых молотилок. Но опытно-конструкторских работ, завершившихся разработкой кукурузной молотилки такого типа, обеспечивающей качественный обмолот початков кукурузы на этапе селекции, на сегодняшний день нет.

Поэтому нами было решено исследовать процесс обмолота початков вальцовой молотилкой [59]. Объект исследования - разработанный нами экспериментальный образец двухвальцовой молотилки, снабженной прижимным механизмом и имеющей на одном из вальцов выступы, выполненные по форме спирали Архимеда, а на другом винтовую навивку для удаления стержней из зоны обмолота. Предмет исследования - зависимость скорости перемещения початка от основных параметров молотилки. Принципиальная схема молотилки представлена на рисунке 2.1.

В состав двухвальцовой молотилки входит: загрузочное устройство (условно не показано); молотильный блок с двумя вальцами: транспортирующим 1 и обмолачивающим 4 и прижимной механизм 3, который обеспечивает постоянное усилие прижатия початка к вальцам.



1 - транспортирующий валец; 2 - кукурузный початок; 3 – прижимной механизм; 4 - обмолачивающий валец.

Рисунок 2.1 – Схема двухвальцовой молотилки

Обмолачивающий валец представляет собой цилиндр, в поперечном сечении имеющий форму храповика, поверхность выступов которого выполнена по форме спирали Архимеда. Транспортирующий валец — цилиндр, на котором для перемещения початков навивка выполнена из проволоки Ø 4 мм. Вращение вальцов происходит в одну сторону и с одинаковой частотой.

Привод вальцов осуществляется от электродвигателя посредством клиноременной передачи.

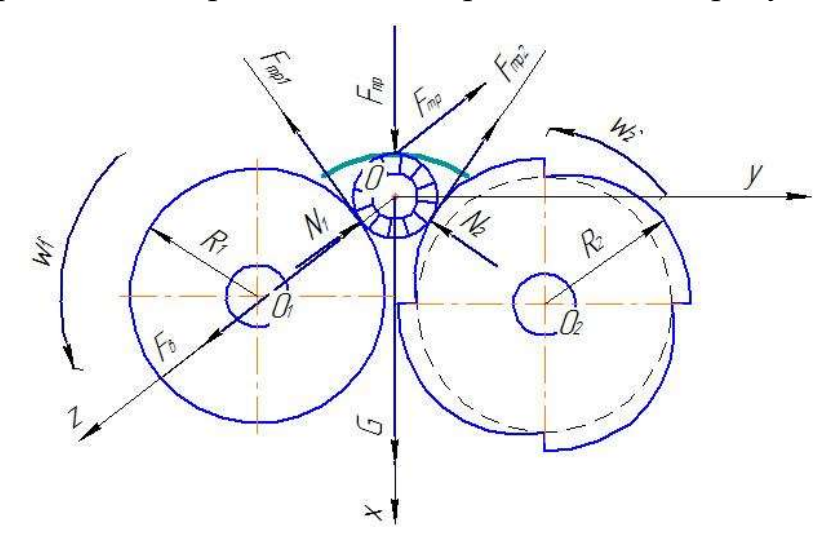
Процесс обмолота происходит следующим образом. Початок вручную подается в зону обмолота под прижимную пластину. Початок захватывается навивкой транспортирующего вальца и перемещается вдоль обмолачивающего вальца. Наличие выступов на последнем обеспечивает вымолот зерен путем шелушения и выкорчевывания.

Выполнение рабочей поверхности по форме спирали Архимеда обеспечивает плавное нарастание нагрузки на початок и практически исключает дробление зерна.

### 2.2 Анализ движения початка в двухвальцовой молотилке

Для дальнейшего анализа примем следующие допущения: первое - кукурузный початок будем рассматривать цилиндр одинакового диаметра по всей длине початка; второе - принимаем величину давления прижимного механизма на початок постоянной в течение всего времени обмолота; третье момент инерции початка во время обмолота принимаем постоянным.

Схема рабочей камеры молотилки представлена на рисунке 2.2.



 $1,\ 2$  — соответственно транспортирующий и обмолачивающий вальцы;  $\omega_1$  и  $\omega_2$  — угловые скорости соответственно транспортирующего и обмолачивающего вальцов;  $F_{\rm пp}$  — величина давления прижимного механизма на початок;  $F_{\rm тp1}$  — сила трения, действующая на початок со стороны транспортирующего вальца;  $F_{\rm tp2}$  — сила трения, действующая на початок со стороны обмолачивающего вальца;  $N_1$  — сила нормальной реакции обмолачивающего вальца на початок;  $N_2$  — сила нормальной реакции обмолачивающего вальца на початок;  $R_2$  — радиус обмолачивающего вальца;  $R_1$  — радиус транспортирующего вальца;  $F_{\rm tp}$  — сила трения початка о прижимной механизм.

Рисунок 2.2 – Схема рабочей камеры молотилки

Оба вальца вращаются с одинаковой угловой скоростью и в одну и ту же сторону.

$$\omega_1 = \omega_2. \tag{2.1}$$

где  $\omega_1$  и  $\omega_2$  – угловые скорости, соответственно транспортирующего и обмолачивающего вальцов, рад/с.

В дальнейшем рассмотрим модули рассматриваемых сил.

Величина давления прижимного механизма на початок принята постоянной и находится по следующему выражению:

$$F_{\rm np} = c \cdot \Delta x = const. \tag{2.2}$$

где  $F_{\rm пp}$  — величина давления прижимного механизма на початок, H; c — жесткость пружины, H/мм;  $\Delta x$  — величина деформации пружины, мм.

Используя данные исследований ученых Краснодарского НИИСХ имени П. П. Лукьяненко величина давления прижимного механизма была принята равной 80 H [37,39].

Составим аналитические выражения для сил, действующих на кукурузный початок.

Сила трения, действующая на початок со стороны транспортирующего вальца, находится по формуле:

$$F_{\rm TD1} = f_1 \cdot N_1. \tag{2.3}$$

где  $F_{\rm тp1}$  — сила трения, действующая на початок со стороны транспортирующего вальца, H;  $f_1$  — коэффициент трения пары початок - транспортирующий валец,  $f_1$  = 053 [39];  $N_1$  — сила нормальной реакции обмолачивающего вальца на початок, H.

Сила трения, действующая на початок со стороны обмолачивающего вальца, находится по формуле:

$$F_{\text{Tp2}} = f_2 \cdot N_2. \tag{2.4}$$

где  $F_{\text{тр2}}$  – сила трения, действующая на початок со стороны обмолачивающего вальца, H;  $f_2$  – коэффициент трения на обмолачивающем вальце,  $f_2$  =0,53 [60];  $N_2$  – сила нормальной реакции обмолачивающего вальца на початок, H.

В связи с тем, что початок постоянно прижат к вальцам за счет прижимного механизма, то между початком и пластиной прижимного механизма появляется постоянная сила:

$$F_{\rm Tp} = f \cdot F_{\rm np} = f \cdot c \cdot \Delta x = const \tag{2.5}$$

где  $F_{\rm тp}$  — сила трения початка о пластину прижимного механизма, H; f — коэффициент трения пары початок — пластина, f =0,53 [39].

Так как, рабочая поверхность обмолачивающего вальца выполнена по форме спирали Архимеда, то на ней появляется нормальная сила реакции, которая возрастает по мере нарастании выступа спирали:

$$N_2 = k \cdot h \tag{2.6}$$

где h - величина деформации початка, мм; k - коэффициент пропорциональности, k =0,86 H/мм [39].

Из рисунка 2.2 следует, что величину деформации початка можно найти по выражению:

$$h = O_1 O - r_{\Pi} - R_2, \tag{2.7}$$

где h - величина деформации початка, мм;  $O_1O$  - расстояние от центра транспортирующего вальца до центра початка, мм;  $r_{\rm п}$  - радиус початка, мм;  $R_2$  - радиус обмолачивающего вальца, мм;

В связи с тем, что радиус обмолачивающего вальца складывается из диаметра основной окружности вальца и полярного радиуса спирали Архимеда, то имеем:

$$R_2 = \frac{d_0}{2} + \rho, \tag{2.8}$$

где  $R_2$  – радиус обмолачивающего вальца, мм;  $d_0$  – диаметр основной окружности обмолачивающего вальца, мм;  $\rho$  – полярный радиус спирали Архимеда, мм;

Подставив выражение 2.8 в выражение 2.7 получим:

$$h = 0_1 0 - r_{\Pi} - \frac{d_0}{2} - \rho.$$

Выведем дифференциальные уравнения вращения початка. Для этого спроектируем все силы на оси координат.

Проекция на ось x:

$$I_{\Pi} \frac{d^2 \varphi}{dt^2} = F_{\text{Tp1}} \cdot r_{\Pi} + F_{\text{Tp2}} \cdot r_{\Pi} - F_{\text{Tp}} \cdot r_{\Pi}, \tag{2.9}$$

где  $I_{\rm п}$  — момент инерции початка относительно оси x, кг·м²;  $F_{\rm тp1}$  — сила трения, действующая на початок со стороны транспортирующего вальца, H;  $F_{\rm тp2}$  — сила трения, действующая на початок со стороны обмолачивающего вальца, H;  $F_{\rm Tp}$  — сила трения початка о пластину прижимного механизма, H.

Подставив в уравнение 2.9 уравнения 2.3, 2.4, 2.5 и 2.7, получим

$$I_{\Pi} \frac{d^2 \varphi}{dt^2} = \left[ f_1 \cdot N_1 + f_2 \cdot k \cdot \left( O_1 O - r_{\Pi} - \frac{d_0}{2} - a \cdot \varphi \right) - f \cdot c \cdot \Delta x \right] \cdot r_{\Pi}, \quad (2.10)$$

В связи с тем, что момент инерции относительно оси у равен нулю, то проекции сил на ось у запишутся в следующем виде:

$$0 = F_{\text{Tp1}} \cdot \cos \alpha + F_{\text{Tp2}} \cdot \cos \alpha - N_1 \cdot \sin \alpha - N_2 \cdot \sin \alpha - F_{\text{Tp}}$$
 (2.11)

Из рисунка 2.3 найдем значения косинусов и синусов:

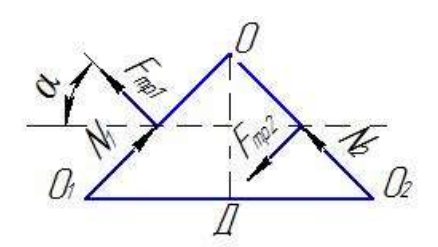


Рисунок 2.3 – Схема действия сил в вертикальной плоскости молотилки

$$\sin \alpha = \frac{o_1 \mu}{o_1 o}; \tag{2.12}$$

$$\cos \alpha = \frac{o_1 \mu}{o_1 o} \tag{2.13}$$

Проекция на ось z

$$m \cdot \frac{d^2x}{dt^2} = F_{\rm B} - F_{\rm Tp} - F_{\rm Tp2}$$
 (2.14)

где m — масса початка, кг;  $F_{\rm B}$  — выталкивающая сила от навивки, H;  $F_{\rm Tp2}$  — сила трения, действующая на початок со стороны обмолачивающего вальца, H;  $F_{\rm Tp}$  — сила трения початка о пластину прижимного механизма, H.

Учитывая, что скорость выталкивания початка, с учетом конструкции навивки, постоянна, то из уравнения (2.14) получим

$$\left(\frac{d^2x}{dt^2} = \frac{d\omega}{dt} = 0\right).$$

$$F_{\rm B} - F_{\rm TD} - F_{\rm TD2} = 0 ag{2.15}$$

Полярный радиус спирали Архимеда (рисунок 2.4) определим по выражению (2.16)

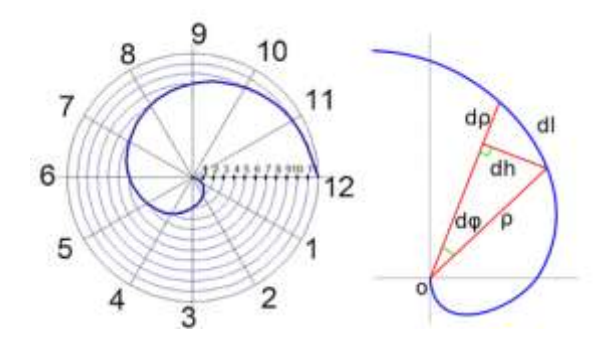


Рисунок 2.4 – Спираль Архимеда

$$\rho = a \cdot \varphi_0 \tag{2.16}$$

где  $\rho$  — полярный радиус спирали Архимеда, м; a — шаг спирали, м/рад;  $\varphi_0$  — угол поворота спирали, град.

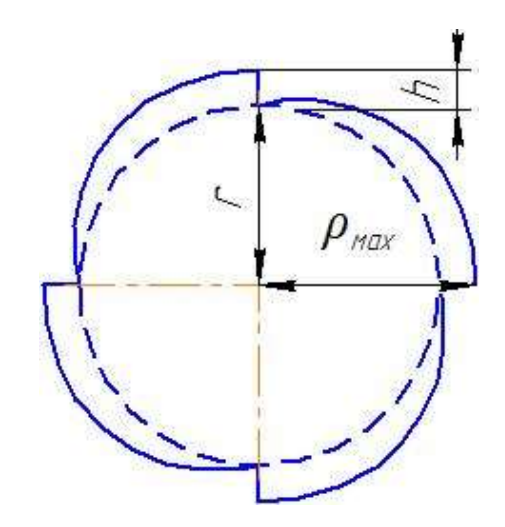


Рисунок 2.5 – Обмолачивающий валец

$$\rho = \rho_{\text{Max}} - \mathbf{a} \cdot \varphi_0 \tag{2.17}$$

При установившемся режиме работы можно считать, что  $f_{l}$ ,  $f_{2}$ , N, k,  $a \rightarrow {\rm const.}$ 

Значения момента инерции початка относительно собственной оси  $I_{\Pi}$  в первом приближении можно считать постоянным и равным среднему значению моментов инерции зерен кукурузы и обмолоченного початка.

$$I_{\Pi} = I_{3} + I_{K} \tag{2.18}$$

где  $I_n$  — момент инерции початка относительно оси, кг·м²;  $I_3$  — момент инерции зерен кукурузы, кг·м²;  $I_{\kappa}$  — момент инерции обмолоченного початка, кг·м².

Моменты инерции зерен кукурузы и обмолоченного початка находятся по следующим выражениям:

$$I_3 = m_3 \cdot r_{\Pi}^2$$
;  $I_{K} = \frac{m_{K} \cdot r_{K}^2}{2}$ .

где  $m_3$  — масса зерен семян кукурузы, кг;  $m_{\kappa}$  — масса обмолоченного початка (стержня) кукурузы, кг;  $r_n$  — радиус початка кукурузы, мм;  $r_{\kappa}$  — радиус обмолоченного початка кукурузы, мм.

Для дальнейших расчетов используем данные размерно-массовой характеристики початков гибрида Краснодарский 425 МВ (см. приложение 1). Следовательно, имеем:  $m_3 = 0.25$  кг,  $m_{\kappa} = 0.08$  кг,  $r_n = 0.03$  м и  $r_n = 0.02$  м.

Подставим имеющиеся значения, и найдем моменты инерции:

$$I_{\scriptscriptstyle \rm S} = 0.25 \cdot 0.03^3 = 0.000225 \; {\rm Kr} \cdot {\rm M}^2,$$
 
$$I_{\scriptscriptstyle \rm K} = \frac{0.08 \cdot 0.02^2}{2} = 0.000016 \; {\rm Kr} \cdot {\rm M}^2.$$

Исходя из этого, момент инерции початка кукурузы будет равен:

$$I_{\Pi} = 0.000225 + 0.000016 = 0.000241 \text{ кг} \cdot \text{м}^2.$$

Тогда уравнение (2.10) примет вид:

$$I_{\Pi} \frac{d^2 \varphi}{dt^2} = K + L \cdot \varphi \tag{2.19}$$

где

$$K = \left[ f_1 \cdot N_1 + f_2 \cdot k \cdot \left( O_1 O - r_{\Pi} - \frac{d_0}{2} - a \cdot \varphi \right) - f \cdot c \cdot \Delta x \right] \cdot r_{\Pi}$$
 (2.20)

$$L = -f_2 \cdot k \cdot a \cdot r_{\Pi} \tag{2.21}$$

Используя ранее полученные данные, подставим и решим уравнения (2.20) и (2.21). Тогда значения коэффициентов составят:

$$K = 0,0166 \text{ H} \cdot \text{м};$$
 $L = 0,000068 \frac{\text{H} \cdot \text{м}}{\text{рад}}.$ 

Момент инерции початка в процессе обмолота уменьшается с  $I_{nh}$  до  $I_{no}$ . Зависимость момента инерции от времени обмолота носит линейный характер и имеет следующий вид:

$$I_{\Pi} = I_{\Pi H} - at \tag{2.22}$$

где  $I_n$  — момент инерции початка относительно оси, кг·м²;  $I_{nn}$  — момент инерции початка до обмолота, кг·м²; t — время обмолота початка кукурузы в данный момент, с; a — угловой коэффициент, кг·м²/с.

Угловой коэффициент показывает, как изменяется момент инерции початка во время обмолота.

при 
$$t = 0 \rightarrow I_{\Pi} = I_{\Pi H};$$
  
при  $t = t_{o \bar{o}} \rightarrow I_{\Pi} = I_{\Pi o}.$ 

Угловой коэффициент a можно определить по следующему выражению:

$$\alpha = \frac{I_{\Pi H} - I_{\Pi O}}{t_{O O}} \tag{2.23}$$

где a — угловой коэффициент, кг·м²/с;  $I_{nn}$  — момент инерции початка до обмолота, кг·м²;  $I_{no}$  — момент инерции початка после обмолота, кг·м²;  $t_{06}$  — время полного обмолота початка кукурузы, с.

На основе уравнения динамики вращательного движения твердого тела составим математическую модель движения початка кукурузы в вальцовой молотилке:

$$(I_{\text{IIH}} - at) \cdot \frac{d^2 \varphi}{dt^2} = K + L \cdot \varphi, \qquad (2.24)$$

или

$$(I_{\Pi H} - at) \cdot \frac{d \quad \omega}{dt} = K + L \cdot \varphi. \tag{2.25}$$

Для нахождения угловой скорости проинтегрируем уравнение (2.25). Для этого воспользуемся программой MathCad 7 (листинг программы приведен в приложении 4). График перехода молотилки на установившийся режим работы представлен на рисунке 2.6.

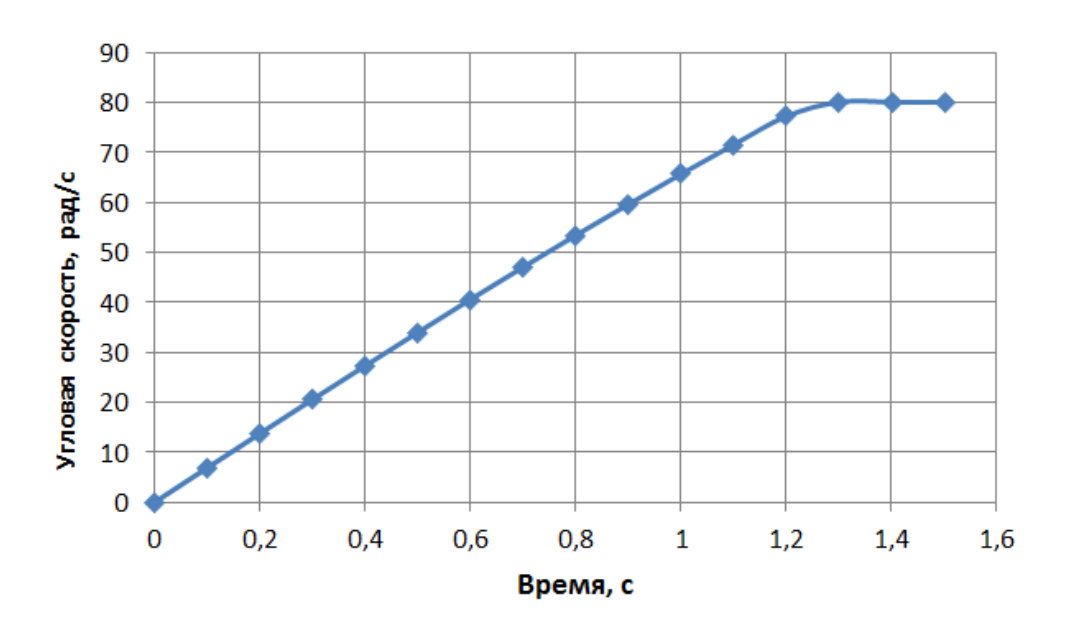


Рисунок 2.6 – График перехода на установившийся режим работы

Из рисунка 2.6 следует, что угловая скорость при установившемся режиме работы составит:

$$\omega = 80,053 \frac{\text{рад}}{\text{сек}}.$$

На рисунках 2.7 и 2.8 представлены графики зависимости угловой скорости от коэффициентов L и K:

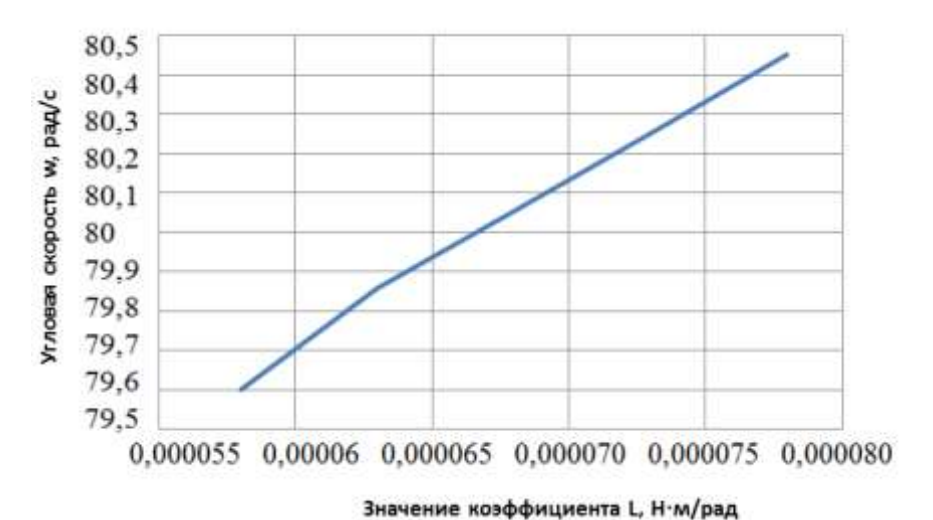


Рисунок 2.7 – График зависимости угловой скорости от коэффициента L при постоянном коэффициенте K

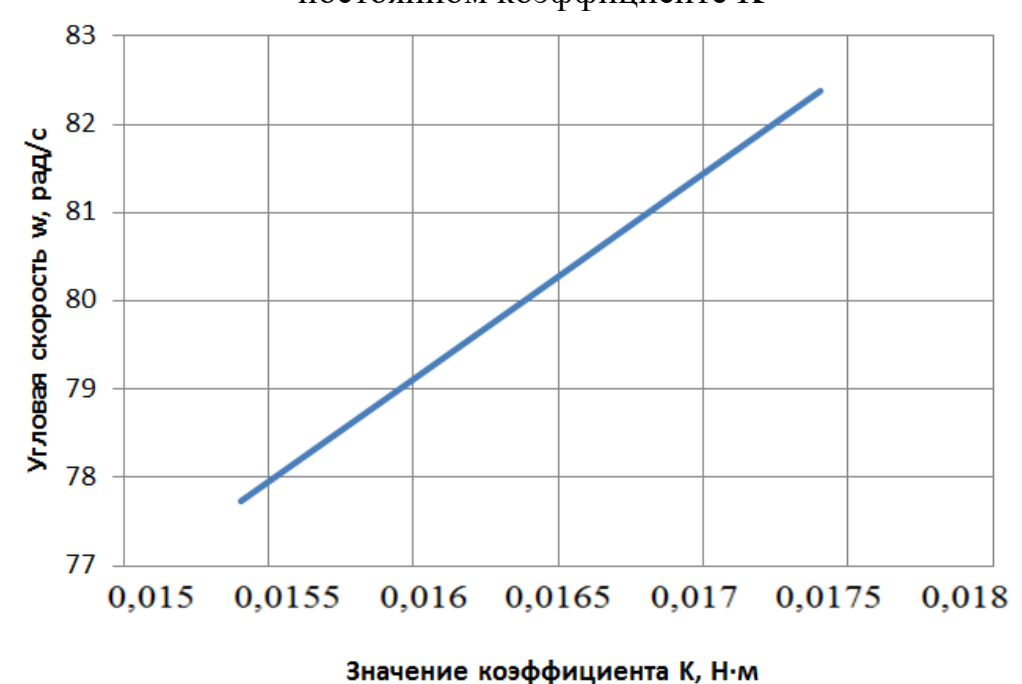


Рисунок 2.8 – График зависимости угловой скорости от коэффициента K при постоянном коэффициенте L

Анализ графиков на рисунках 2.7 и 2.8 показывает, что зависимость угловой скорости от коэффициентов L и K имеет линейный характер.

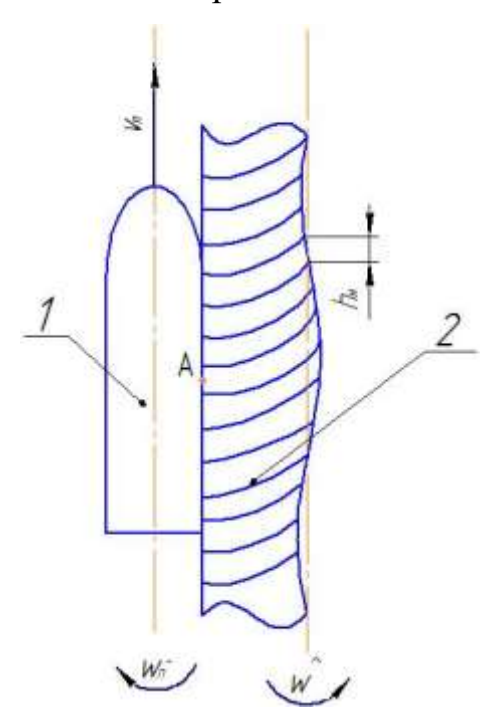
Зависимость угловой скорости от частоты вращения общеизвестна. Для гибрида Краснодарский 425 МВ получаем:

$$n = \frac{\omega \cdot 30}{\pi} = \frac{80,053 \cdot 30}{3,14} = 764,4 \text{ мин}^{-1}.$$

Таким образом, с учетом допустимой деформации початков кукурузы в процессе обмолота (h = 10 мм), частота вращения вальцов составит n = 764,4 мин $^{-1}$ .

## 2.3 Определение производительности двухвальцовой молотилки

Вывод початка кукурузы из зоны обмолота осуществляется транспортирующим вальцом (рисунок 2.9), на поверхности которого выполнена навивка из стальной проволоки диаметром 4 мм.



1 – початок кукурузы; 2 – транспортирующий валец с навивкой. Рисунок 2.9 – Схема вывода початка из зоны обмолота

На основании анализа геометрии рабочих органов молотилки и частоты вращения вальцов дадим оценку времени обмолота одного початка.

Скорость навивки в продольном направлении находится по следующему выражению:

$$v_{\text{пер}} = \frac{h_{\text{нав}}}{t_{\text{пер}}},\tag{2.26}$$

где  $v_{nep}$  – скорость навивки в продольном направлении, м/с;  $h_{hae}$  – шаг навивки на транспортирующем вальце, м;  $t_{nep}$  – время одного оборота вальца, сек.

При частоте вращения n=764,4 мин $^{-1}$ , время одного оборота вальцов составит  $t_{\text{пер}}$ =0,083 с. Шаг навивки транспортирующего вальца составляет  $h_{\text{нав}}$ =0,01 м.

$$v_{\text{nep}} = \frac{0.01}{0.083} = 0.12 \text{ m/c}.$$

Исходя из размерно-массовой характеристики початков длина обмолачивающего и транспортирующего вальцов была принята равной  $l_{\rm вал}$ =0,4 м, а длина початка  $l_{\rm поч}$  = 0,2 м. Тогда время обмолота одного початка кукурузы определится по выражению:

$$t_{\text{o6}} = \frac{l_{\text{вал}} + l_{\text{поч}}}{v_{\text{пер}}} \cdot \eta; \tag{2.27}$$

где  $v_{nep}$  — скорость перемещения в продольном направлении, м/с;  $t_{ob}$  — время обмолота одного початка кукурузы, с;  $l_{\rm вал}$  — длина обмолачивающего и транспортирующего вала, м;  $l_{\rm поч}$  — длина початка, м;  $\eta$  — коэффициент проскальзывания,  $\eta$  = 0,9 [36].

Отсюда

$$t_{\text{of}} = \frac{0.4 + 0.2}{0.12} \cdot 0.9 = 4.52 \text{ c.}$$

Производительность предлагаемой молотилки рассчитывается по следующему выражению:

$$Q = \frac{m_{\pi}}{t_{06}} \cdot \tau \cdot 3600, \tag{2.28}$$

где Q — производительность молотилки, кг/ч;  $t_{ob}$  — время обмолота одного початка кукурузы, с;  $m_n$  — масса початка кукурузы, кг;  $\tau$  — технологический коэффициент.

Технологический коэффициент учитывает затраты времени на упаковку и маркировку семян обмолоченного селекционного номера, а так же на переход к обмолоту другой партии початков. В 2018 году нами был проведен хронометраж работы сотрудников Национального центра зерна им. П. П. Лукьяненко в процессе обмолота селекционных номеров кукурузы. Установлено, что эти затраты составляют 65 - 75% от всего времени обработки селекционных номеров. Среднее значение 70 %. Следовательно, технологический коэффициент будет равен  $\tau = 1 - 0.7 = 0.3$ .

Следовательно, производительность предлагаемой молотилки по выражению (2.28) составит

$$Q = \frac{0.3}{4.52} \cdot 0.3 \cdot 3600 = 70.2 \frac{\text{KT}}{\text{Y}}.$$

# 2.4 Определение мощности, потребной на обмолот початков

Суммарную мощность, необходимую на обмолот кукурузы можно представить как сумму мощности, потребную на деформацию початков и мощность на преодоление сил трения обмолачивающего вальца по початку [13,36,37].

$$N_{o\delta} = N_{mp} + N_{\partial e\phi}, \tag{2.29}$$

где  $N_{ob}$  — мощность, потребная на обмолот початков, кВт;  $N_{mp}$  — мощность, необходимая на преодоление сил трения обмолачивающего вальца по початку, кВт;  $N_{de\phi}$  - мощность, необходимая на деформацию початка, кВт.

Мощность, потребную на преодоление трения обмолачивающего вальца по початку, определим из выражения:

$$N_{mn} = 10^3 F_{mn} V_{nn}, (2.30)$$

где  $N_{mp}$  - мощность, потребная на преодоление трения обмолачивающего вальца по початку, кВт;  $F_{mp}$  - сила трения, H;  $V_{np}$  - скорость проскальзывания обмолачивающего вальца по початку, м/с.

Сила трения равна:

$$F_{mn} = Pf, (2.31)$$

где  $F_{mp}$  — сила трения обмолачивающего вальца по початку, H; P — усилие, сжимающее початок, H; f — коэффициент трения обмолачивающего вальца по початку.

Сила, сжимающая початок, прямо пропорциональна величине его деформации:

$$P = kh, (2.32)$$

где P — сила, сжимающая початок, H; k — коэффициент пропорциональности, зависящий от сортовых особенностей кукурузы и схемы защемления,  $k = (3,0...4,6)\cdot 10^5$  H/M [36,37]; h — величина деформации початка, M.

$$P = 4 \cdot 10^5 \cdot 0.01 = 400 H.$$

Зная силу, прижимающую початок, найдем силы трения обмолачивающего вальца, подставив полученное значение в формулу (2.31):

$$F_{mp} = 400 \cdot 0.53 = 212 H$$

Скорость проскальзывания обмолачивающего вальца по початку определится как:

$$V_{np} = V_o - V_n, \tag{2.33}$$

где  $V_{np}$  — скорость проскальзывания ротора по початку, м/с;  $V_o$  — окружная скорость обмолачивающего вальца, м/с;  $V_n$  — скорость перемещения початков относительно оси обмолачивающего вальца, м/с.

$$V_{np} = 6,126 - 0,12 = 6,01$$
 m/c.

Подставив, значения  $F_{mp}$  и  $V_{np}$  в выражение (2.30) получим максимальную мгновенную мощность при условии обмолота одного початка обмолачивающего вальца.

$$N_{\rm rp} = 10^{-3} \cdot 212 \cdot 6,01 = 1,14$$
 кВт.

Используя выражение

$$N_{mp} = 10^3 \frac{A_{mp}}{T},\tag{2.34}$$

определим работу сил трения при обмолоте одного початка.

Откуда

$$A_{mp} = 10^{-3} \cdot N_{mp} T, (2.35)$$

где  $A_{mp}$  — работа сил трения при обмолоте одного початка, Дж;  $N_{mp}$  — мощность, необходимая на преодоления сил трения, кВт; T — время обмолота, с.

$$A_{mp} = 10^{-3} \cdot 1,14 \cdot 0,67 = 0,77 \cdot 10^{-3}$$
 Дж.

Работу на деформацию одного початка определим из выражения

$$A_{\partial ed} = 0.5kh^2, \tag{2.36}$$

где  $A_{\partial e\phi}$  — работа, затрачиваемая на деформацию одного початка, Дж; k — коэффициент пропорциональности, зависящий от сортовых особенностей кукурузы и схемы защемления,  $k=(3,0...4,6)10^5$  Н/м; h — величина деформации початка, м. h=0,01м [36].

$$A_{\text{деф}} = 0.5 \cdot 3.5 \cdot 0.01^2 = 0.175 \cdot 10^{-3}$$
 Дж.

Суммарная работа на обмолот одного початка находится по выражению

$$A_{cym} = A_{\partial e\phi} + A_{mp}, \tag{2.37}$$

где  $A_{\mathit{сум}}$  - суммарная работа на обмолот одного початка, Дж.

$$A_{\text{сум}} = 0,77 \cdot 10^{-3} + 0,175 \cdot 10^{-3} = 0,945 \cdot 10^{-3}$$
Дж.

Известно, что затрачиваемая на обмолот мощность находится в прямо пропорциональной зависимости от подачи початков:

$$N_{ob} = 10^3 \frac{M}{m} A_{cym}, {(2.38)}$$

где  $N_{ob}$  — мощность, необходимая для обмолота початков, кВт; M — масса початков, подаваемая в секунду, кг/с;  $A_{cym}$  — работа на обмолот одного початка, Дж;  $m_n$  — масса початка, кг.

$$N_{\text{o6}} = 10^3 \cdot \frac{0.25}{0.25} \cdot 0.945 \cdot 10^{-3} = 0.954 \text{ кВт.}$$

Затраты мощности на холостой ход рассчитаем по выражению, предложенному М. А. Пустыгиным [75]:

$$N_{xx} = \frac{A\omega_p + B\omega_p^3}{102},\tag{2.39}$$

где  $N_{xx}$  – затраты мощности на холостой ход механизмов, кВт; A,B – коэффициенты пропорциональности, зависящие от геометрических параметров обмолачивающего вальца;  $\omega_p$  – угловая скорость обмолачивающего вальца, рад/с.

Для практических расчетов можно принять  $A=0.3\cdot 10^{-3}$  кгс·м и  $B=0.68\cdot 10^{-6}$  кгс·м·с² [13,75].

$$N_{xx} = \frac{0.3 \cdot 10^{-3} \cdot 80,053 + 0,68 \cdot 10^{-6} \cdot 80,053^{3}}{102} = 0,004 \text{ кВт.}$$

Выбор электродвигателя осуществляется по стандартной методике [56].

Расчеты, выполненные по предлагаемой нами методике, позволяют еще на этапе проектирования определить затраты мощности на обмолот початков двухвальцовой молотилкой с прижимным механизмом, с учетом не превышения допустимых параметров механических воздействий рабочих органов на початок.

#### 2.5 Выводы по главе

1. На основе анализа конструкций кукурузных молотильных устройств разработана конструктивно-технологическая схема селекционной двухвальцовой молотилки включающей: обмолачивающий валец, имеющий выступы, выполненные по форме спирали Архимеда; транспортирующий валец, снаб-

женный винтовой навивкой и прижимной механизм (патент РФ № 2690794, 2019 г.).

- 2. На основе уравнения динамики вращательного движения твердого тела разработана математическая модель движения початка кукурузы в двухвальцовой молотилке с прижимным механизмом.
- 3. Частота вращения вальцов с учетом не превышения допустимой деформации початков составляет 764,4 мин $^{-1}$ , а время обмолота одного початка -4,5 секунды.
- 4. Производительность предлагаемой молотилки составит  $Q = 70.2 \; \mathrm{kr/ч}.$
- 5. Мощность, необходимая для обмолота початков составляет  $N_{o \delta} = 0{,}958 \; \mathrm{kBt}.$

# 3 РЕЗУЛЬТАТЫ ЭКСПЕРИМЕНТАЛЬНЫХ ИССЛЕДОВАНИЙ И ИХ АНАЛИЗ

## 3.1 Программа и методика экспериментальных исследований

Программой экспериментальных исследований предусматривалось:

- уточнение размерно-массовой характеристики початков гибрида
   Краснодарский 425 MB;
- определение оптимальных параметров кукурузной селекционной двухвальцовой молотилки с прижимным механизмом по критериям дробления и недомолота зерна;
- проверка результатов теоретических исследований: по определению оптимальной частоты вращения рабочих органов, по оценке времени обмолота одного початка, по определению затрат мощности на обмолот початков.

#### 3.1.1 Общая методика исследований

Экспериментальные исследования специально сконструированной опытной двухвальцовой молотилки с прижимным механизмом выполнялись в лабораториях кафедры тракторов, автомобилей и технической механики факультета механизации Кубанского ГАУ имени И. Т. Трубилина.

В опытах использовался селекционный материал отдела селекции и семеноводства кукурузы Национального центра зерна им. П. П. Лукьяненко.

Исследования проводились на специально сконструированной установке.

Влажность зерна определялась по ГОСТ 12041-82.

Масса 1000 зерен находилась по ISO 520-2014.

Отбор проб зерна осуществлялся в соответствие с требованиями ГОСТ 13586.3-2015.

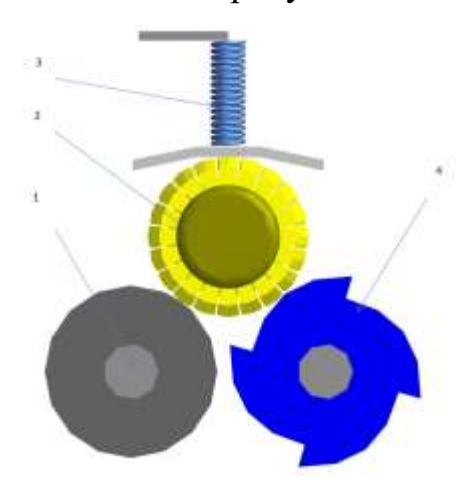
Экспериментальные исследования выполнялись на основе положений СТО АИСТ 8.13-2010 «Испытания сельскохозяйственной техники». Машины для уборки и первичной обработки кукурузы. Методы оценки функциональных показателей.

По данным Краснодарского НИИСХ [40] масса зерна обмолачиваемых партий початков селекционного назначения составляет от 0,1 до 5,0 кг.

- 0,1 кг это примерно масса зерна одного початка наиболее мелких гибридов и инбредных линий кукурузы.
- 5,0 кг это общая масса семян первого поколения гибрида, отправляемого селекционным учреждением (оригинатором) на оценку в государственную комиссию по испытанию и охране селекционных достижений. Для гибридов кукурузы, выращиваемых на зерно, она равна 2 кг, а на силос 3 кг.

## 3.1.2 Описание экспериментальной установки

Нами был разработан экспериментальный образец двухвальцовой молотилки с прижимным механизмом и имеющей на одном из вальцов выступы, выполненные по форме спирали Архимеда, а на другом винтовую навивку для удаления стержней из зоны обмолота, который показал высокое качество обмолота початков в ходе поисковых исследований [59]. Принципиальная схема молотилки представлена на рисунке 3.1.

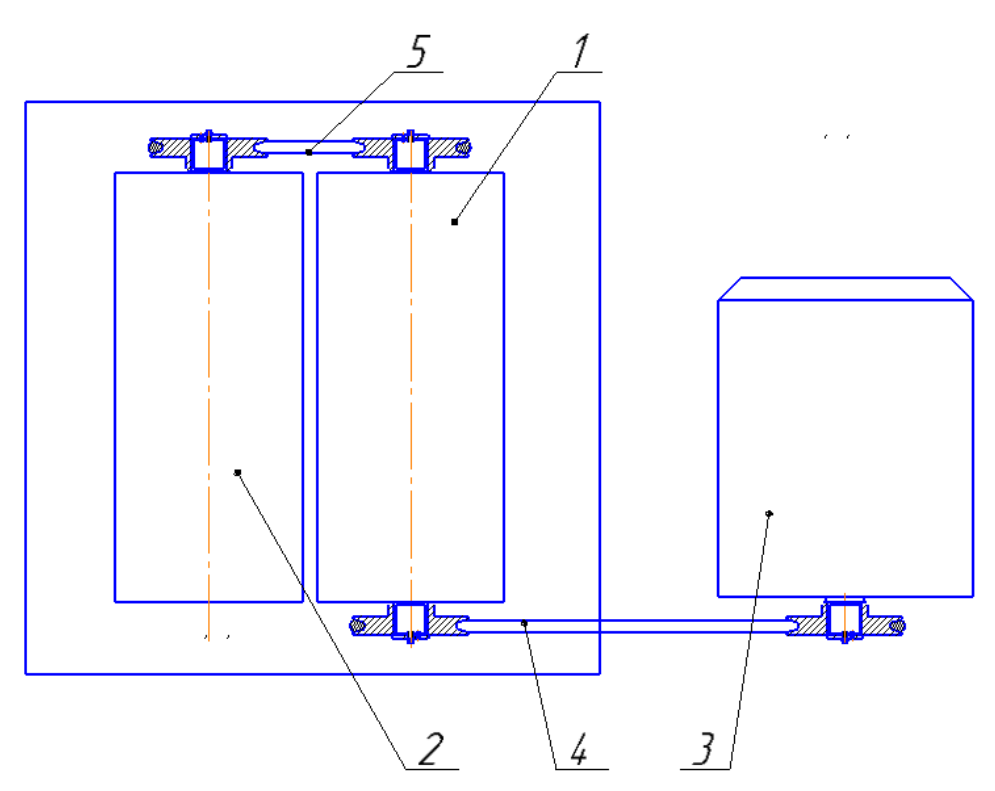


1 - транспортирующий валец; 2 - кукурузный початок; 3 — прижимной механизм; 4 - обмолачивающий валец.

Рисунок 3.1 – Принципиальная схема двухвальцовой молотилки с прижимным механизмом

Двухвальцовая молотилка включает в себя загрузочное устройство (условно не показано); молотильный блок с двумя вальцами: транспортирующим 1 и обмолачивающим 4; прижимной механизм 3, который обеспечивает постоянное усилие прижатия початка к вальцам.

Обмолачивающий валец представляет из себя цилиндр, в поперечном сечении имеющий форму храповика, поверхность выступов которого выполнена по форме спирали Архимеда. Транспортирующий валец — цилиндр, на котором имеется навивка из проволоки диаметром 4 мм для перемещения початка в процессе его обмолота. Вальцы вращаются в одну сторону и с одинаковой частотой. Привод вальцов осуществляется от асинхронного трехфазного электродвигателя АИР90L6 мощностью 1,5 кВт и с частотой вращения 935 мин<sup>-1</sup> посредством клиноременной передачи. Кинематическая схема привода двухвальцовой молотилки показана на рисунке 3.2, а её общий вид на рисунке 3.3.



- 1 обмолачивающий валец; 2 транспортирующий валец;
  - 3 электродвигатель; 4,5 клиноременные передачи.

Рисунок 3.2 – Кинематическая схема привода двухвальцовой молотилки

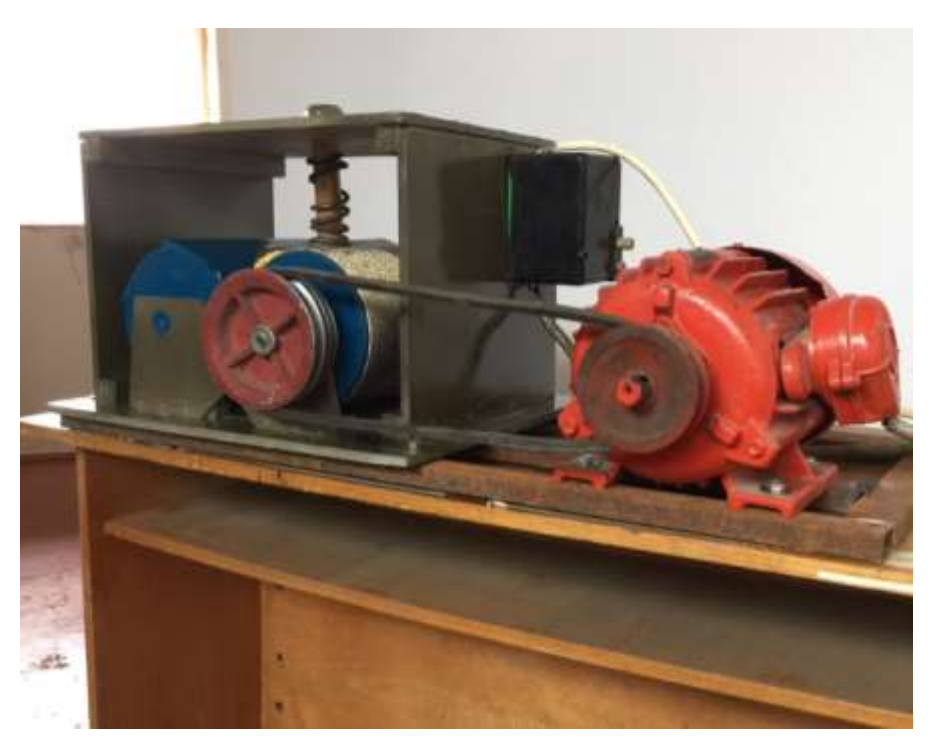


Рисунок 3.3 – Общий вид экспериментальной двухвальцовой молотилки с прижимным механизмом

Процесс обмолота початков осуществляется в следующем порядке. Початки вручную подаются в рабочую камеру под прижимной механизм, где они захватываются навивкой транспортирующего вальца и перемещаются им в процессе всего обмолота. Вымолоченные семена просыпаются между вальцами в специальный ящик для сбора семян, а обмолоченные стержни выталкиваются в лоток и поступают в емкость для сбора стержней.

Вымолоченное зерно вручную просеивается на сите с круглыми отверстиями диаметром 5 мм для удаления дробленного зерна и мелких примесей. Далее семена высыпаются в мешочек, на который привязывается бирка с указанием наименования селекционного номера.

В молотилке происходит самоочистка рабочих органов. Поэтому полностью выполняется одно из важнейших требований к селекционным машинам — полное исключение сортосмешивания семян при смене обрабатываемых селекционных номеров.

# 3.1.3 Методика определения качественных показателей работы двухвальцовой молотилки

При изучении процесса обмолота початков двухвальцовой молотилкой определялись следующие показатели: недомолот зерна, дробление зерна, микротравмы зерна.

Как указывалось выше, обмолоченное зерно каждого селекционного номера просеивается вручную на сите с диаметром отверстий 5 мм. Поэтому, определение чистоты зерна в рассматриваемом варианте не имеет практического значения.

Засоренность рабочей камеры продуктами обмолота в предлагаемом аппарате невозможна в принципе, поэтому она и не определялась.

Потери зерна за молотилкой также не определялись, так как во время поисковых экспериментов было установлено, что все обмолоченное зерно просыпается между вальцами, и не вылетает за пределы молотилки.

В соответствии с исходными требованиями на базовые машинные технологические операции в растениеводстве [34] недомолот находится как процентное отношение массы зерна, оставшегося на початке к массе стержней обмолачиваемой партии. Нормативная величина недомолота равна 1,2 % [34].

$$Q_H = 100 \frac{Q_{3C}}{Q_3}, (3.1)$$

где  $Q_H$  — недомолот зерна, %;  $Q_{3C}$  — масса зерна, оставшаяся на стержнях, г;  $Q_C$  — масса стержней, г.

Дробление зерна определялось как процентное отношение суммарной массы зерен с макроповреждениями к общей массе разбираемой пробы.

$$Q_{JB} = 100 \frac{Q_{JP} + Q_P + Q_{B3}}{Q_{JP}}, (3.2)$$

где  $Q_{JJ}$  — дробление зерна, %;  $Q_{JP}$  — масса дробленного зерна, г;  $Q_P$  — масса раздавленного зерна, г;  $Q_{BJ}$  — масса зерен с полностью выбитым зародышем, г:  $Q_{JP}$  — масса зерна, содержащегося во всей навеске, г.

Из каждой обмолачиваемой партии отбиралось по три стограммовых навески. Из навесок отбиралось с выбитым зародышем, а также дробленое и давленое зерно.

Дробленым считалось зерно, утерявшее более одной трети зерновки. Для семян дробление допускается не более 1,0 % [34].

Оценки степени микротравмирования семян в области зародыша осуществлялась при помощи обычной лупы с предварительным окрашиванием семян в 0,5 %-ном растворе йода в йодистом калии [82].

Из обмолоченной партии отбирались две пробы по 100 семян каждая. Каждая проба помещалась в отдельную стеклянную емкость объемом 0,5 л. Далее проба заливалась раствором йода в йодистом калии и взбалтывалась в течение одной минуты.

Далее раствор сразу сливался. От раствора йода все травмированные места в области зародыша окрашиваются и четко проступают на поверхности зерна.

Затем проводился визуальный осмотр семян при помощи лупы с пятикратным увеличением. На основании осмотра отбирались семена с микротравмами в области зародыша.

Далее определялся общий процент травмированных семян как процентное отношение массы травмированных семян к массе пробы семян.

# 3.1.4 Методика обработки экспериментальных данных

Математическая обработка экспериментальных данных осуществлялась методами общей теории статистики и теории планирования многофакторного эксперимента [18,42,52,76,79]. Статистическая характеристика выборки определялась при помощи программа Microsoft Office Excel 2010.

Для оценки резко выделяющихся наблюдений в соответствие с РТМ 44-62 применялся критерий Ирвина [79].

Для нахождения оптимальных геометрических параметров и кинематического режима работы двухвальцовой молотилки с прижимным механизмом использовали многофакторное планирование эксперимента [18,42,52,54,76]. Математическую модель процесса обмолота кукурузы двухвальцовой молотилкой искали в форме полинома второй степени.

Для математической обработки экспериментальных данных использовались программы, разработанные нами в приложении Mathcad 7.

При анализе уравнений регрессии и принятия решений по ним учитывалась методические рекомендации профессора В. А. Вознесенского [18].

Ошибка, с которой математическая модель описывает опытные данные, оценивалась дисперсией адекватности [42,52,54].

Адекватность полученных математических моделей оценивалась по критерию Фишера [42,52,54].

Для определения значений факторов, при которых  $Y_I$  имеет экстремальное значение (особая точка S), брали частные производные по  $X_i$ . Решая полученную систему уравнений, определяли текущие значения факторов  $X_i$ , при которых  $Y_I$  достигает экстремального значения [42,52,54].

# 3.1.5 Измерительная аппаратура

При проведении экспериментальных исследований использовались следующие измерительные приборы и инструменты: весы лабораторные ВЛКТ-500; секундомер механический однокнопочный СОПпр-2а-3-000; тахометр магнитный ручной ИО-30; комплект измерительный К505; штангенциркуль второго класса со шкалой 0...250 мм.

Весы лабораторные ВЛКТ-500 использовались для взвешивания вымолоченных семян кукурузы и обмолоченных стержней. Максимальный предел взвешивания 500 г, цена деления 1 г, погрешность взвешивания ±20 мг.

Секундомер механический однокнопочный СОПпр-2а-3-000. Секундомер имеет 60-ти секундную шкалу с ценой деления 0,2 с и 30-ти минутный счетчик с ценой деления 1 мин. Предназначен для измерения интервалов времени в минутах, секундах и долях секунды.

Тахометр магнитный ручной ИО-30 использовался для измерения частоты вращения вала электродвигателя молотилки. Диапазоны измерений частоты вращения составляют - от 30 мин<sup>-1</sup> до 300 мин<sup>-1</sup>; от 300 мин<sup>-1</sup> до 3000 мин<sup>-1</sup>; от 3000 мин<sup>-1</sup> до 30 000 мин<sup>-1</sup>. Погрешность измерения верхнего предела диапазона составляет  $\pm 2$  %. Продолжительность измерения не должна превышать 5 с.

Комплект К-505 состоит из трех многопредельных приборов: амперметра, вольтметра и ваттметра. Он позволяет измерять при прямом включении (без измерительных трансформаторов) ток до 10 A, напряжение до 600 B и активную мощность до 6 кВт.

Прибор имеет переключатель фаз, позволяющий производить последовательные измерения величин во всех трех фазах без разрыва электрической цепи и, соответственно, без отключения электроустановки.

Для измерения электрических величин электродвигателя серии АИР мощностью 1,5 кВт на приборе К505 выставляются следующие пределы по измерениям — по току 10 А и напряжение 300 В (так как прибор измеряет фазное напряжение), который подключается напрямую без измерительных трансформаторов тока.

# 3.2 Оптимизация параметров кукурузной селекционной двухвальцовой молотилки с прижимным механизмом

Разработанная конструкция вальцовой молотилки позволяет провести активный эксперимент с четырьмя управляемыми факторами:  $X_1$  — диаметр вальцов, мм;  $X_2$  — частота вращения вальцов, мин<sup>-1</sup>;  $X_3$  — подача початков, кг/с;  $X_4$  — зазор между вальцами, мм.

Количество початков в селекционных номерах варьирует от одного до нескольких десятков. При таких объемах понятие подачи початков имеет очень условное значение. Поэтому, в ходе эксперимента початок подавался в зону обмолота сразу после выхода из нее предыдущего початка. На основании этого решения подача початков была исключена из числа анализируемых факторов. Зазор между вальцами в процессе обмолота варьирует от минимального - между транспортирующим вальцом и верхней точкой выступа обмолачивающего вальца, до максимального - между транспортирующим вальцом и нижней точкой выступа обмолачивающего вальца. Минимальный зазор приняли равный 6 мм, что больше чем средняя толщина зерна кукурузы. Величину выступа обмолачивающего вальца приняли равной 10 мм на основании исследований профессора В. С. Кравченко [37]. Поэтому зазор между вальцами между вальцами также был исключен из числа анализируемых факторов.

В качестве критерия оптимизации использовали дробление зерна. В качестве ограничения использовали недомолот зерна.

Известно, что зависимость качественных показателей процесса обмолота кукурузы от параметров молотильного устройства носит нелинейный характер. Поэтому математическую модель процесса обмолота кукурузы двухвальцовой молотилкой искали в форме полинома второй степени.

Уровни и интервалы варьирования выбранных управляемых факторов приведены в таблице 3.1.

Таблица 3.1 – Уровни и интервалы варьирования факторов

	Факт	горы	Факторы	
Уровни факторов	в натурал	ьном виде	в кодированном виде	
	d, mm	$n$ , мин $^{-1}$	$x_I$	$x_2$
Основной	150	740	0	0
Верхний	180	780	+1	+1
Нижний	120	700	-1	-1
Интервал варьирова-	30	40		
ния				

При выборе областей определения управляемых факторов были приняты во внимание результаты исследований, выполненных в Краснодарском НИИСХ и Кубанском ГАУ [37,45], а также результаты наших теоретических исследований по определению частоты вращения рабочих органов, представленные в подразделе 2.2 настоящей работы.

Для проведения эксперимента был выбран полнофакторный план  $2^3$ , так как мы не стремились к сокращению числа опытов. Повторность опытов была принята равной трехкратной. В качестве материала исследований использовали початки гибрида Краснодарский 425 МВ. Размерно-массовая характеристика початков приведена в приложении 1. Количество обмолачиваемых початков в одной партии было принято равным пяти.

Матрица планирования и результаты опытов по дроблению зерна приведены в таблице 3.2.

Таблица 3.2 – Матрица планирования и результаты опытов по обмолоту початков гибрида Краснодарский 425 MB

Номер опыта	Порядок проведения опытов		Матрица планирования $x_1 \qquad x_2$		Дробление зерна, %	
1	3	1	7	+1	+1	10,87
2	4	2	6	-1	+1	4,07
3	7	4	8	+1	-1	2,62
4	2	8	4	-1	-1	3,05
5	6	7	5	+1	0	5,16
6	1	5	2	-1	0	1,98
7	8	6	3	0	+1	5,13
8	5	3	1	0	-1	0,50

Для обработки результатов опытов были разработаны специальные программы в приложении Mathcad 7 (приложение 4).

По результатам эксперимента было получено следующее уравнение регрессии:

$$Y = 1,058 + 1,576 x_1 + 2,311 x_2 + 1,807x_1x_2 + 2,337x_1^2 + 1,583x_2^2.$$
 (3.15)

Расчетное значение критерия Фишера меньше табличного

$$F_p = 0.291 < F_T = 6.04.$$

Следовательно, уравнение (3.15) адекватно описывает процесс обмолота початков.

Для определения значений факторов, при которых уравнение (3.15) достигает экстремума (в данном случае минимума), необходимо взять частные производные по  $X_i$  и, приравняв их нулю решить полученную систему уравнений.

$$\frac{dY}{dx_1} = 1,576 + 1,807x_2 + 4,674x_1,$$

$$\frac{dY}{dx_2} = 2,311 + 1,807x_1 + 3,166x_2.$$
(3.16)

Решениями системы уравнений (3.16) являются следующие значения

$$X_1^* = -0.07055; \quad X_2^* = -0.68968.$$

Подставив полученные данные в уравнение (3.14) получим минимальное дробление зерна Y = 0.2 %.

Для определения натуральных координат факторного пространства использовали формулы переходы от кодированных значений факторов к натуральным:

$$x_I = \frac{d - 150}{30},\tag{3.17}$$

$$x_2 = \frac{n - 740}{40},\tag{3.18}$$

Для определения оптимальных значений диаметра вальцов и частоты вращения подставим значения точек экстремума в кодированном виде в выражения (3.17) и (3.18). В результате получим координаты особой точки S с оптимальными параметрами исследуемых факторов

$$d = 147,88 \text{ мм } u \text{ } n = 712,41 \text{ мин}^{-1}.$$

Для определения области допустимых диапазонов изменения изучаемых факторов построим зависимость дробления от диаметра вальцов и частоты вращения, а так же двумерные сечения поверхности отклика или линии равного выхода (рисунки 3,4 и 3.5) используя полученное уравнение регрессии (3.15) в канонической форме.

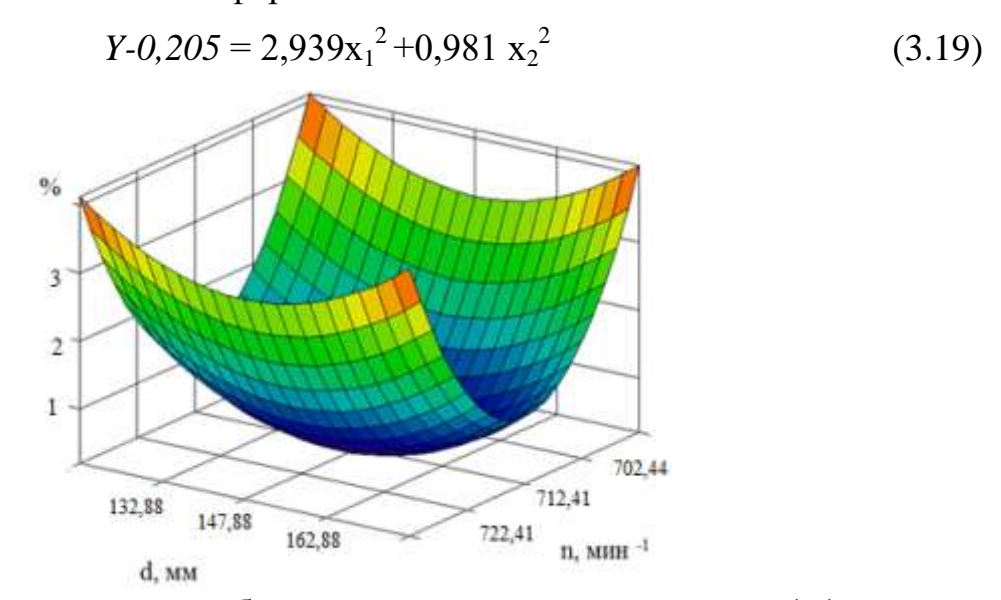


Рисунок 3.4 — Зависимость дробления зерна от диаметра вальцов  $(x_1)$  и частоты их вращения  $(x_2)$ 

Угол поворота осей составляет 33,67 град.

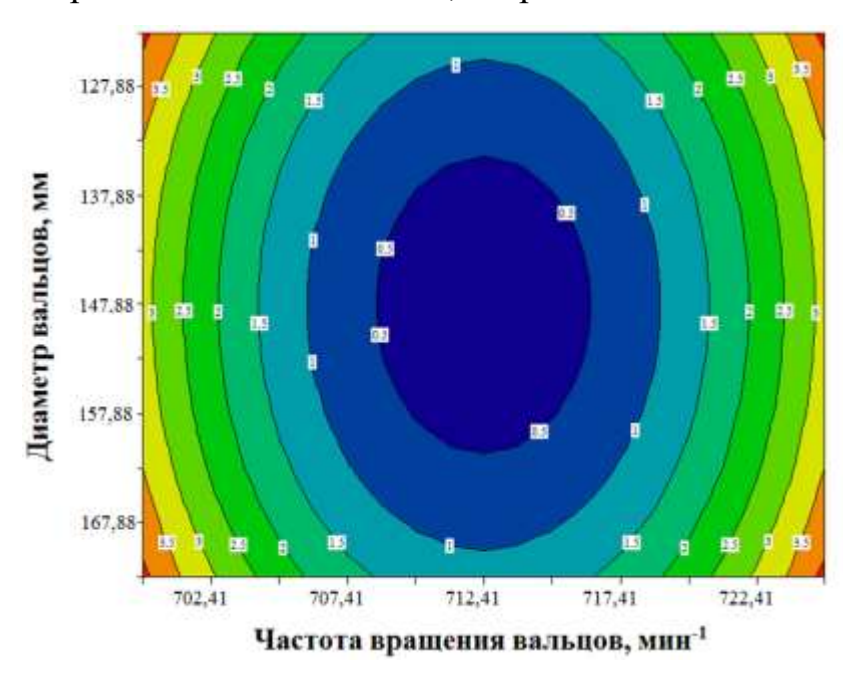


Рисунок 3.5 – Линии равного выхода дробления семян гибрида Краснодарский 425 MB

Матрица планирования и результаты опытов по недомолоту зерна приведены в таблице 3.3.

Таблица 3.3 — Матрица планирования и результаты опытов по обмолоту початков гибрида Краснодарский 425 MB

Номер опыта	Порядок проведения опытов			Матрица планирования		Недомолот зерна, %
1	3 1 7		$x_1$	<i>x</i> <sub>2</sub>	12.96	
1	3	1	1	+1	+1	12,86
2	4	2	6	-1	+1	5,24
3	7	4	8	+1	-1	3,10
4	2	8	4	-1	-1	3,68
5	6	7	5	+1	0	5,82
6	1	5	2	-1	0	2,3
7	8	6	3	0	+1	7,11
8	5	3	1	0	-1	1,45

По результатам эксперимента было получено следующее уравнение регрессии:

$$Y = 2,127 + 1,761 x_1 + 2,831 x_2 + 2,051 x_1 x_2 + 1,935 x_1^2 + 2,154 x_2^2.$$
 (3.20)

Расчетное значение критерия Фишера меньше табличного

$$F_p = 0.23 < F_T = 6.04.$$

Следовательно, уравнение (3.20) адекватно описывает процесс обмолота початков.

Для определения значений факторов, при которых уравнение (3.20) достигает экстремума (в данном случае минимума), необходимо взять частные производные по  $X_i$  и, приравняв их нулю решить полученную систему уравнений.

$$\frac{dY}{dx_1} = 1,761 + 2,831x_2 + 3,87x_1,$$

$$\frac{dY}{dx_2} = 2,831 + 2,051x_1 + 4,308x_2.$$
(3.21)

Решениями системы уравнений (3.21) являются следующие значения

$$X_1^* = -0.1428; \quad X_2^* = -0.5892.$$

Подставив полученные данные в уравнение (3.14) получим минимальный недомолот зерна Y = 1,16 %.

Для определения натуральных координат факторного пространства используем формулы переходы от кодированных значений факторов к натуральным:

$$x_I = \frac{d - 150}{30},\tag{3.22}$$

$$x_2 = \frac{n - 740}{40},\tag{3.23}$$

Для определения оптимальных значений диаметра вальцов и частоты вращения подставим значения точек экстремума в кодированном виде в выражения (3.22) и (3.23). В результате получим координаты особой точки S с оптимальными параметрами исследуемых факторов:

$$d = 145,72$$
 мм  $u = 716,43$  мин<sup>-1</sup>.

Для определения области допустимых диапазонов изменения изучаемых факторов построим зависимость недомолота от диаметра вальцов и частоты вращения, а так же двумерные сечения поверхности отклика или линии равного выхода (рисунки 3,6 и 3.7) используя полученное уравнение регрессии (3.20) в канонической форме:

$$Y-1,1673 = 1,0132x_1^2 + 3,0758 x_2^2$$
 (3.24)

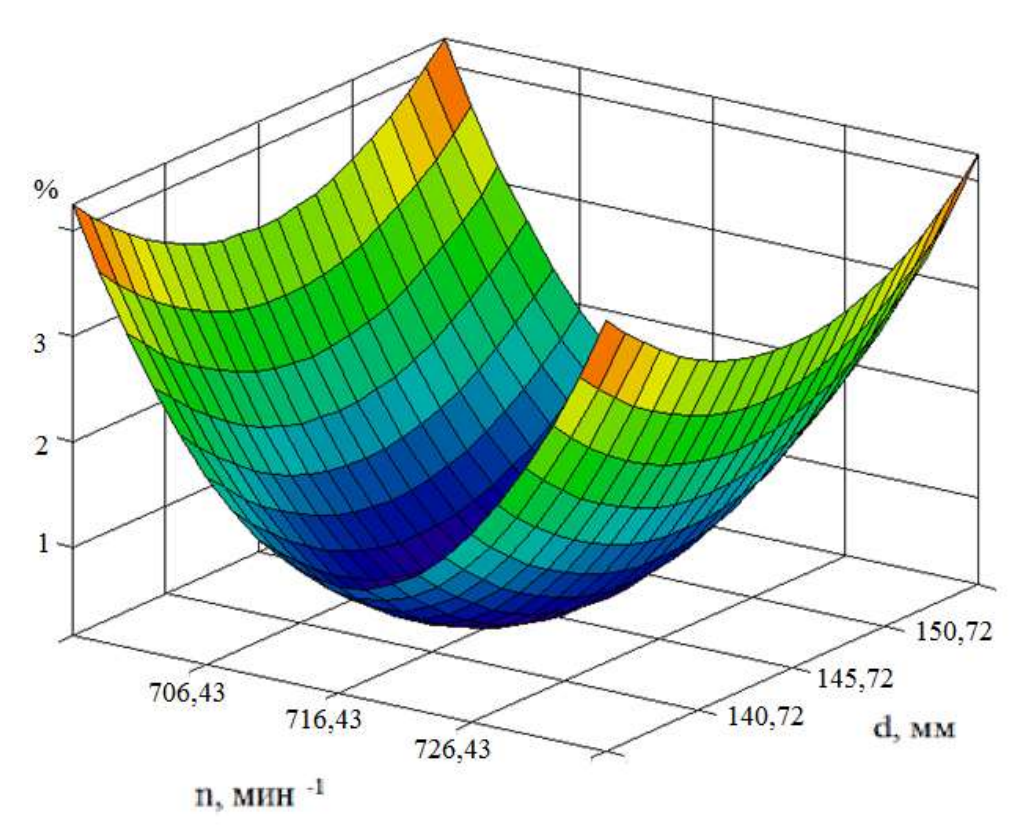


Рисунок 3.6 — Зависимость недомолота зерна от диаметра вальцов  $(x_1)$  и частоты их вращения  $(x_2)$ 

Угол поворота осей составляет 41,95 град.

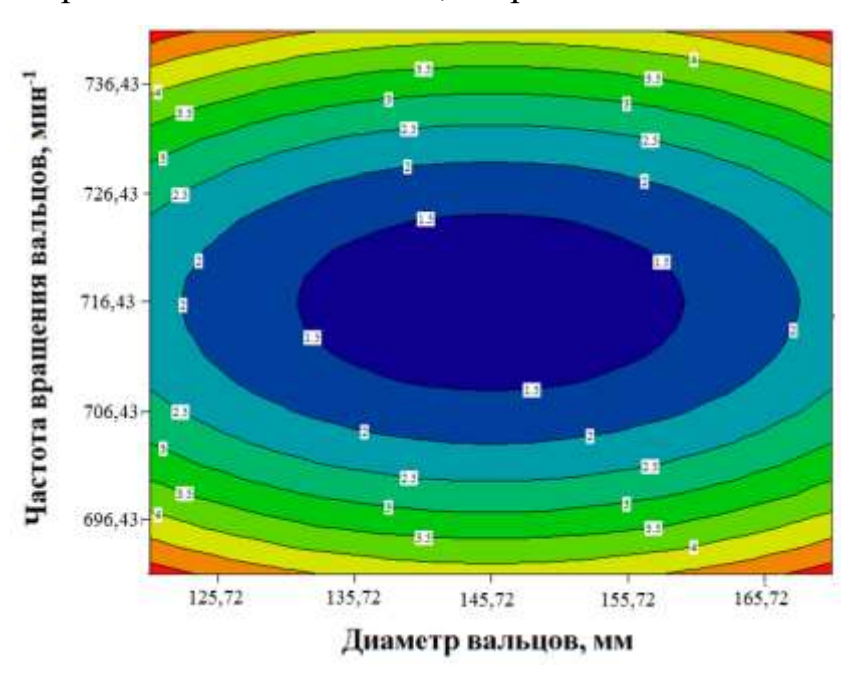


Рисунок 3.7 – Линии равного выхода недомолота зерна гибрида Краснодарский 425 MB

Зависимости дробления и недомолота зерна от диаметра вальцов представлены на рисунке 3.8, а от частоты вращения вальцов на рисунке 3.9.

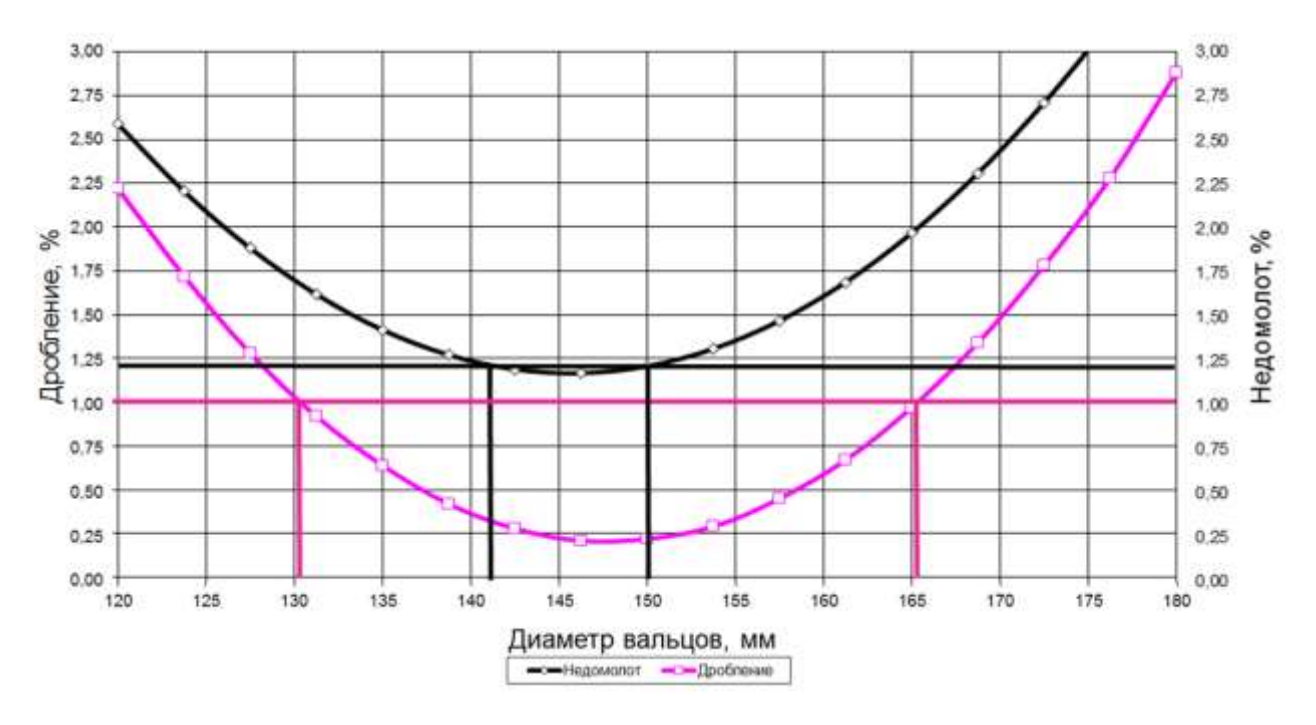


Рисунок 3.8 – График зависимости дробления и недомолота зерна от диаметра вальцов

Из анализа графика на рисунке 3.8 следует что, требования по дроблению семян будут выполняться при диаметре вальцов от 125,5 до 170,1 мм, а по недомолоту зерна от 141,3 до 150,1 мм.

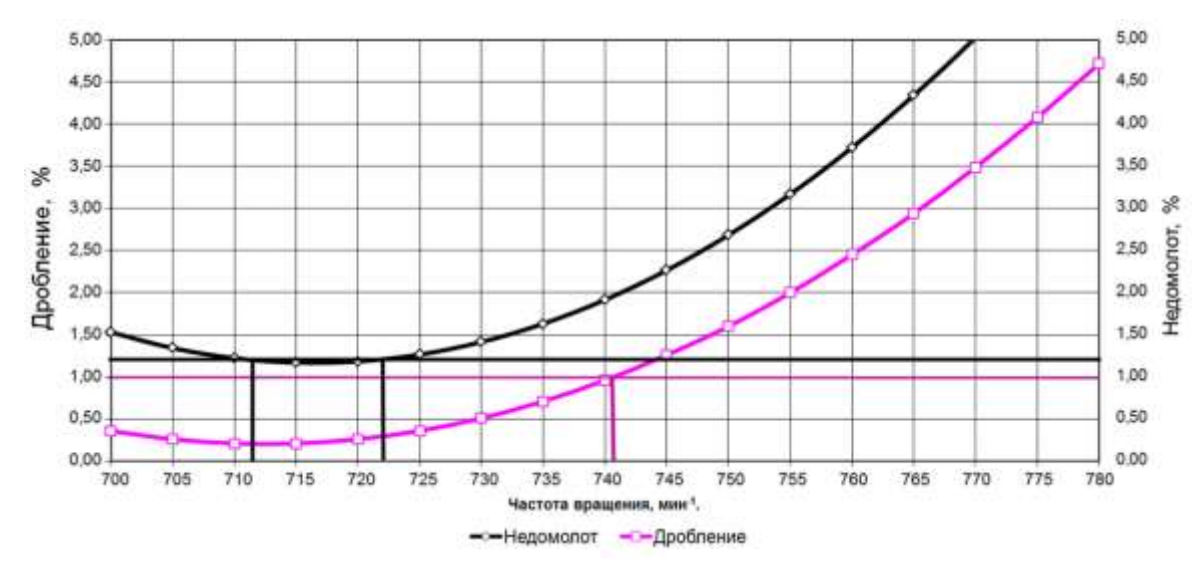


Рисунок 3.9 – График зависимости дробления и недомолота зерна от частоты вращения вальцов

Из анализа графика на рисунке 3.9 следует что, требования по дроблению семян будут выполнятся при частоте вращения вальцов от 685,2 до 740,5 мин<sup>-1</sup>, а по недомолоту зерна от 711,7 до 722 мин<sup>-1</sup>.

Совместный анализ графиков на рисунках 3.8. и 3.9 позволяет утверждать, что дробление зерна менее 1 % при недомолоте менее 1,2 % обеспечивается при диаметре вальцов 141-150 мм и частоте вращения вальцов 711-722 мин<sup>-1</sup>. Таким образом, определены допустимые (рациональные) интервалы изменения диаметра вальцов и их частоты вращения.

В предыдущей главе нами было выведено дифференциальное уравнение движения початка (выражение 2.25). Из него следует, что частота вращения вальцов, с учетом агробиологически допустимого ударного импульса, должна составлять 764 мин <sup>-1</sup>.

В результате эксперимента установлено, что допустимая область варьирования частоты вращения вальцов равна 711...722 мин<sup>-1</sup>.

Определим величину расхождения между теоретическими и экспериментальными данными по формуле:

$$\eta = \frac{n_{\text{SK}i} - n_{\text{T}}}{n_{\text{T}}} \cdot 100 \tag{3.25}$$

где  $\eta$  — расхождение между теоретическими и экспериментальными значениями частоты вращения вальцов, %;  $n_{3\kappa i}$  — экспериментальная частота вращения вальцов, мин<sup>-1</sup>;  $n_{\rm T}$  — теоретическая частота вращения вальцов, мин<sup>-1</sup>;

Отсюда

при минимальном значении  $n_{\mathfrak{9}\kappa min}$ 

$$\eta = \frac{711 - 764}{764} \cdot 100 = 6.9\%$$

при максимальном значении  $n_{
m эк}$ 

$$\eta = \frac{722 - 764}{764} \cdot 100 = 5.5\%$$

Таким образом, расхождение между теоретическим и экспериментальными значениями частоты вращения не превышают 7 %. Это можно считать удовлетворительным результатом.

В результате теоретических исследований (выражение 2.28) было установлено, что время обмолота одного початка составляет 4,5 с.

После определения допустимых (рациональных) значение диаметров вальцов их частоты вращения был поставлен отдельный опыт по определению времени обмолота одного початка. Время фиксировалось визуально при помощи секундомера СДСпр-1-2. Повторность опытов пятикратная.

Эксперимент проводился при диаметре вальцов 150 мм и частоте вращения 730 мин<sup>-1</sup>, как наиболее близкой к теоретическому значению из допустимого интервала частоты вращения.

Результаты опытов приведены в таблице 3.4.

Таблица 3.4 – Время обмолота одного початка  $t_{o6}$ , с

Повторности					Среднее значение
1-я	2-я	3-я	4-я	5-я	1 21
4,4	4,3	4,3	4,4	4,3	4,34

Расхождение экспериментальных значений и теоретических составляет 3,6 %, что является вполне удовлетворительным.

На этом же режиме при помощи измерительного прибора К 505 были определены затраты мощности на обмолот одного початка. Опыты проводились в пятикратной повторности – таблица 3.5.

Таблица 3.5 – Затраты мощности

Попомотр		По	Среднее				
Параметр	1-я	2-я	3-я	4-я	5-я	значение	
Затраты мощности на		1,3	1,3	1,2	1,3		
привод молотильного	1,2					1,26	
аппарата при обмолоте	1,4					1,20	
одного початка, кВт							

Расхождение между теоретическими и опытными данными по затратам мощности на привод молотильного аппарата в процессе обмолота составило 6,8 %. Полученные результаты подтверждают правильность теоретических расчетов.

На этом же режиме было проанализировано микротравмирование зерна в области зародыша. Опыты проводились в пятикратной повторности — таблица 3.6.

Таблица 3.6 – Микротравмирование зерна в области зародыша

Попомотр	Повторности					Среднее	
Параметр	1-я	2-я	3-я	4-я	5-я	значение	
Микротравмы зерна в области зародыша, %	14,0	12,0	15,0	16,0	12,0	13,8	

Микротравмы зерна в области зародыша не должны превышать 20 % [34]. Следовательно, молотилка и по этому показателю соответствует предъявляемым требованиям.

#### 3.3 Выводы по главе

- 1. Уточнена размерно-массовая характеристика початков гибрида Краснодарский 425 МВ: длина початка 200 мм, диаметр початка 60 мм, масса семян одного початка 250 г, масса стержня 80 г, диаметр стержня 40 мм.
- 2. В результате проведенных экспериментальных исследований были установлены:
- оптимальные параметры вальцовой молотилки, обеспечивающие минимальное дробление зерна 0,2 % диаметр вальцов 148 мм и частота вращения вальцов 712 мин<sup>-1</sup>; недомолот зерна при этом составил 1,16 %, при максимально допустимом значении 1,2 %;
- рациональные параметры вальцовой молотилки, обеспечивающие в соответствие с агротехническими требованиями дробление зерна менее 1 % и недомолот менее 1,2 % диаметр вальцов 141...150 мм и частота вращения вальцов 711...722 мин<sup>-1</sup>.
- 3. Расхождение между теоретическим и экспериментальными рациональными значениями частоты вращения вальцов не превышает 7 %.
- 4. Расхождение между теоретическим и экспериментальными оптимальными значениями времени обмолота одного початка составляет 3,6 %.
- 5. Расхождение между теоретическим и экспериментальными значениями по затратам мощности на привод молотилки в процессе обмолота составило 6,8 %.

### 4 ЭКОНОМИЧЕСКАЯ ЭФФЕКТИВНОСТЬ ПРИМЕНЕНИЯ КУКУРУЗНОЙ СЕЛЕКЦИОННОЙ ДВУХВАЛЬЦОВОЙ МОЛОТИЛКИ С ПРИЖИМНЫМ МЕХАНИЗМОМ

Экономическую эффективность разработанной двухвальцовой молотилки с прижимным механизмом выполняли в соответствии с ГОСТ Р 53056-2008 «Техника сельскохозяйственная. Методы экономической оценки», с учетом справочных данных.

В качестве базы для сравнения примем дисковую молотилку МКД-М, как имеющую наибольшее распространение в селекционных учреждениях, а также наиболее близкую по качеству обмолота початков и производительности к разработанной нами двухвальцовой молотилке с прижимным механизмом.

Для оценки экономической эффективности предлагаемой молотилки необходимо рассчитать и сравнить ряд технико-экономических показателей с молотилкой МКД-М.

## 4.1 Расчет цены на изготовление кукурузной селекционной молотилки

Дополнительные капиталовложения на модернизацию молотилки определим методом калькуляции:

$$K_{\mathrm{I}} = K_{\mathrm{M}} + K_{\mathrm{\Gamma}\mathrm{I}} + K_{\mathrm{M3\Gamma}} \tag{4.1}$$

где  $K_{\pi}$  — дополнительные капиталовложения, руб.;  $K_{\text{м}}$  — стоимость расходуемых материалов, руб.;  $K_{\text{гд}}$  — стоимость используемых готовых деталей, руб.;  $K_{\text{изг}}$  — стоимость работы при изготовлении, руб.

Стоимость расходуемых материалов и используемых готовых деталей приведена в таблице 4.1. Стоимость работ при изготовлении приведена в таблице 4.2.

Таблица 4.1 – Стоимость материалов и готовых изделий

II	I/ a mana amp a	Цена еди-	Сумма,
Наименование материалов и деталей	Количество	ницы, руб.	руб.
Лист δ 10мм Ст. 3, кг	14,3	43,8	626,5
Круг Ø 24 мм Ст. 3, кг	8,1	42,4	343,5
Круг Ø 30 мм Ст. 3, кг	4,7	42,4	199,5
Круг Ø 42 мм Ст. 3, кг	6,2	42,4	264,5
Круг Ø 90 мм Ст. 3, кг	8,3	41,8	347
Круг Ø 100 мм Ст. 3, кг	9,4	41,8	393
Ремень 0-16х11-1060	1 шт	400	400
Ремень 0-16х11-1120	1 шт	410	410
Ремень 0-12,5х9-1120	1 шт	360	360
Труба Ø 150 мм Ст. 3, кг	5 кг	50	250
Пусковое устройство	1 шт	500	500
Кабель ВВГп-НГ (A)-LS 3x2.5, м	4	45	180
Шкив 1SPA-100	4 шт	600	2400
Метизы, кг	1,6	330,0	528
Электроды Э42, кг	3,1	350,0	1085
ИТОГО:			8287

Таблица 4.2 – Стоимость работ при изготовлении

<b>Поэронна поботи</b>	Розран	Продолжитель-	Часовая тарифная	Сумма,			
Название работы	Разряд	ность работы, ч	ставка, руб.	руб.			
Токарные	IV	11,0	640,0	7040			
Сварочные	IV	4,0	845,0	3380			
Слесарные	III	10,0	725,0	7250			
Фрезерные	III	4,0	1300,0	5200			
Электротехнические	III	3,0 1200,0		3600			
ИТОГО:							
Начисления в фонд социального страхования, 30 %							
ВСЕГО:							

Итого дополнительные капиталовложения составили

$$K_{\rm A} = 8287 + 34413 = 42700$$
 руб.

#### 4.2 Расчет основных экономических показателей

Часовая производительность молотилки МКД-М составляет 63,1 кг/ч, а предлагаемой – 70,2 кг/ч.

Сезонная производительность молотилки определяется из выражения:

$$W_{ces} = W_{u} \cdot \mathcal{I}_{ces} \tag{4.2}$$

где  $W_{ce3}$  — сезонная производительность молотилки, кг/сез;  $W_{u}$  — часовая производительность молотилки, кг/ч;  $\mathcal{A}_{ce3}$  — нормативная сезонная загрузка молотилки, ч/сез.,  $\mathcal{A}_{ce3}$  =210 ч/сез.

$$W_{\text{ces}}^c = 63.1 \cdot 210 = 13251 \,\text{kg/ces}.$$

$$W_{\text{ces}}^{\text{M}} = 70,2 \cdot 210 = 14742 \text{ кг/сез}.$$

Изменение производительности молотилки рассчитаем по формуле

$$P_{W\%} = \frac{W_{q}^{M} - W_{q}^{C}}{W_{q}^{M}} \tag{4.3}$$

где  $P_{w\%}$  — изменение производительности агрегата;  $W_{u}^{M}$ ,  $W_{u}^{c}$  — часовая производительность молотилки соответственно предлагаемой и МКД-М.

$$P_{W\%} = \frac{70.2 - 63.1}{70.2} \cdot 100\% = 10.1\%$$

Затраты труда определим по выражению:

$$H_{y} = \frac{l}{W_{y}} \tag{4.4}$$

где  $H_y$  – затраты труда, чел.ч/кг; l – число работников, обслуживающих молотилку, lc=lM=1 чел.

$$H_y^c = \frac{1}{63,1} = 0.016$$
 чел.ч/кг

$$H_y^{\text{M}} = \frac{1}{70.2} = 0.014 \text{ чел.ч/кг}$$

Удельная экономия затрат труда находится по формуле:

$$\vartheta_{\mathsf{H}_{\mathsf{v}}} = H_{\mathsf{y}}^{\mathsf{c}} - H_{\mathsf{y}}^{\mathsf{m}} \tag{4.5}$$

где  $Э_{Hy}$  – удельная экономия затрат труда, чел.ч/кг;  $H_y^c$ ,  $H_y^{\text{м}}$  – затраты труда соответственно на молотилке МКД-М и предлагаемой.

$$\Theta_{\mathrm{H_v}} = 0$$
,016 — 0,014  $= 0$ ,002 чел.ч/кг

Сезонная экономия труда предлагаемой молотилки в сравнение с МКД-М находится по выражению:

$$\mathfrak{I}_{H_{\text{ces}}} = \left( H_{\mathcal{Y}}^{\text{c}} - H_{\mathcal{Y}}^{\text{M}} \right) \cdot W_{\text{ces}}^{\text{M}} \tag{4.6}$$

где  $\partial_{H_{ces}}$  – сезонная экономия труда, чел.ч.

$$\Theta_{\mathrm{H}_{\mathrm{ces}}} = (0.016 - 0.014) \cdot 14742 = 35.48$$
 чел.ч

Снижение затрат труда определим по выражению:

$$P_{H\%} = \frac{H_y^c - H_y^M}{H_v^c} \cdot 100\% \tag{4.7}$$

где  $P_{H\%}$  — снижение затрат труда при использовании предлагаемой молотил-ки, проц.

$$P_{H\%} = \frac{0,016 - 0,014}{0,016} \cdot 100\% = 12,5\%$$

Производительность труда определим по выражению:

$$P_{\rm Tp} = \frac{l}{H_{\rm v}} \tag{4.8}$$

где  $P_{\it mp}$  — производительность труда, кг/чел.ч.

$$P_{\rm Tp}^{\rm c} = \frac{1}{0.016} = 62,5 \ {
m KF/Чел.Ч}$$

$$P_{\text{тр}}^{\text{M}} = \frac{1}{0.014} = 71,43 \text{ кг/чел.ч}$$

Эксплуатационные затраты рассчитываются по выражению:

$$S_{\nu} = C_3 + C_a + C_{TO} + C_{9\pi} + C_{np} \tag{4.9}$$

где  $S_y$  — сумма эксплуатационных затрат, руб./кг;  $C_3$  — заработная плата работников, обслуживающих молотилку, руб./кг;  $C_a$  — амортизационные отчисления по молотилке, руб./кг;  $C_{TO}$  — затраты на ремонты и технические обслуживания, руб./кг;  $C_{3л}$  — затраты на электроэнергию, руб./кг;  $C_{np}$  — прочие эксплуатационные затраты, руб./кг.

Затраты на оплату труда:

$$C_3 = \frac{(l_{\text{HC}} \cdot m_{\text{q}}^{\text{Hc}} \cdot K_{\text{д}} + l_{\text{л}} \cdot m_{\text{q}}^{\text{Hc}} \cdot K_{\text{д}}) \cdot K_{\text{соц}}}{W_{\text{q}}}$$
(4.10)

где  $l_{nc}$ ,  $l_n$  — количество работников, обслуживающих молотилку, соответственно научный сотрудник и лаборант,  $l_{nc}$ =1 чел.,  $l_n$  =1 чел.;  $m_u^{nc}$ ,  $m_u^n$  — часо-

вая тарифная ставка научного сотрудника и лаборанта соответственно,  $m_{\rm q}^{\rm HC}=250$  руб./ч;  $m_{\rm q}^{\rm T}=120$  руб./ч;  $K_{\scriptscriptstyle \partial}$  — коэффициент, учитывающий доплаты к тарифной ставке за классность, стаж, премии. При обмолоте  $K_{\scriptscriptstyle \partial}$  =1,65;  $K_{\scriptscriptstyle cou}$  — коэффициент, учитывающий начисления в фонд социального страхования,  $K_{\scriptscriptstyle cou}$  =1,265.

$$C_3^c = \frac{(250 \cdot 1,65 + 120 \cdot 1,65)}{63,1} = 9,68 \text{ руб./кг}$$

$$C_3^M = \frac{(250 \cdot 1,65 + 120 \cdot 1,65)}{70.2} = 8,7 \text{ руб./кг}$$

Амортизационные отчисления:

$$C_{a} = \frac{K_{M}^{c} \cdot a_{M}}{100 \cdot A_{CP3} \cdot W_{V}}$$
 (4.11)

где  $K_{_{\rm M}}^{^c}$  — балансовая стоимость существующей молотилки,  $K_{_{\rm M}}=430000$ руб.;  $a_{_{\rm M}}$  — годовая норма амортизации молотилки,  $a_{_{\rm M}}$ =11,4%;

$$C_a^c = \frac{430000 \cdot 11,4}{100 \cdot 210 \cdot 63,1} = 3,7 \text{руб./кг}$$

Стоимость предлагаемой молотилки:

$$K_{M}^{M} = K_{M}^{c} + K_{\mathcal{A}} \tag{4.12}$$

где  $K_{\scriptscriptstyle M}$  – стоимость предлагаемой молотилки, руб.

$$K_{M}^{M} = 430000 + 42700 = 472700$$
 py6.

Тогда амортизационные отчисления на предлагаемую молотилку составят:

$$C_a^{M} = \frac{472700 \cdot 11,4}{100 \cdot 210 \cdot 70,2} = 3,65 \text{ py6./kg}$$

Затраты на ремонт и ТО рассчитываем по формуле:

$$C_{TO} = \frac{K_{M} \cdot 3_{M}}{100 \cdot \beta_{CP3} \cdot W_{Y}} \tag{4.13}$$

где  $3_{\scriptscriptstyle M}$  – норма отчислений на ремонт и TO,  $3_{\scriptscriptstyle M}$ =12,6%.

$$C_{T0}^{c} = \frac{430000 \cdot 12,6}{100 \cdot 210 \cdot 63,1} = 4,1 \text{ py6./kf}$$

$$C_{TO}^{M} = \frac{472700 \cdot 12,6}{100 \cdot 210 \cdot 70,2} = 4,04 \text{ py6./kg}$$

Стоимость расходуемой электроэнергии рассчитаем по формуле:

$$C_{\ni \pi} = \frac{N_{\pi} \cdot Z_{\ni \pi}}{W_{\mathsf{q}}} \tag{4.14}$$

где  $Z_{\text{эл}}$  – цена 1 кВт·ч,  $Z_{\text{эл}}$  =4,12 руб./кВт·ч;  $N_{\text{д}}$  – мощность двигателя молотилки,  $N_{\text{д}}$ =1,5 кВт.

$$C_{\rm ЭЛ}^{\rm c} = \frac{1,5\cdot4,12}{63,1} = 0,1$$
 руб./кг

$$C_{\rm ЭЛ}^{\rm c} = \frac{1,5\cdot4,12}{70.2} = 0.09$$
 руб./кг

Прочие эксплуатационные затраты планируем в размере 4 % от заработной платы работников, обслуживающих молотилку:

$$C_{np} = 0.04 \cdot C_3 \tag{4.15}$$

где  $C_{np}$  — прочие эксплуатационные затраты, руб.;  $C_{s}$  — заработная плата работников, обслуживающих молотилку, руб./кг.

$$C_{\text{пр}}^{\text{c}} = 0.04 \cdot 9.68 = 0.39 \text{ руб./кг}$$
 $C_{\text{пр}}^{\text{c}} = 0.04 \cdot 8.7 = 0.35 \text{ руб./кг}$ 

Подставив полученные данные в формулу 4.9 получим:

$$S_{\mathrm{y}}^{\mathrm{c}} = 9,68 + 3,7 + 4,1 + 0,1 + 0,39 = 18,87$$
 руб./кг 
$$S_{\mathrm{y}}^{\mathrm{m}} = 8,7 + 3,65 + 4,04 + 0,09 + 0,35 = 16,83 \, \mathrm{руб./кг}$$

Разница между удельными эксплуатационными затратами сравниваемых молотилок:

$$\mathfrak{I}_{S_{y}} = S_{y}^{c} - S_{y}^{M} \tag{4.16}$$

где  $\Im_{s_y}$  – разница между удельными эксплуатационными затратами, руб./кг.

$$\Theta_{S_{v}}=18,87-16,83=2,04$$
 руб./кг

Сезонная экономия эксплуатационных затрат:

$$\mathfrak{I}_{S_{\text{ces}}} = \mathfrak{I}_{S_y} \cdot W_{\text{ces}}^{\text{M}} \tag{4.17}$$

где  $\Im_{S_{ces}}$  — сезонная экономия эксплуатационных затрат, руб./сез.

$$\Theta_{S_{ces}} = 2,04 \cdot 14742 = 30073,7$$
 руб./сез

Срок окупаемости дополнительных капиталовложений:

$$T_0 = \frac{K_{A}}{\vartheta_{S_{Ce3}}} \tag{4.18}$$

где  $T_{\scriptscriptstyle 0}$  – срок окупаемости дополнительных капиталовложений, сез.

$$T_0 = \frac{42700}{30073.7} = 1,42 \text{ ces}.$$

Удельные капиталовложения:

$$K_{y} = \frac{K_{M}}{W_{Ce3}} \tag{4.19}$$

где  $K_{y}$  – удельные капиталовложения, руб.

$$K_y^c = \frac{430000}{13251} = 32,45$$
 руб./кг

$$K_y^{M} = \frac{472700}{14742} = 32,06$$
 руб./кг

Приведённые затраты:

$$C_{min} = S_y + K_y \cdot E \tag{4.20}$$

где  $C_{\min}$  — приведённые затраты, руб./кг; E — нормативный коэффициент эффективности капиталовложений, принимаем равным 0,15 .

$$C_{min_y}^c = 18,87 + 32,45 \cdot 0,15 = 23,74 \text{ py6}.$$

$$C_{min_y}^c = 16,83 + 32,06 \cdot 0,15 = 21,64 \text{ py6}.$$

Металлоёмкость процесса:

$$M = \frac{M_{M}}{Z_{\text{ces}} \cdot W_{Y}} \tag{4.21}$$

где M — металлоёмкость процесса, кг/кг;  $M_{_{\rm M}}$  - масса молотилки, кг. Согласно паспортным данным  ${\rm M}_{\rm M}^{\rm c}=155$  кг,  ${\rm M}_{\rm M}^{\rm M}=162$  кг.

$$M_{c}=rac{155}{210\cdot63,1}=0$$
,012 кг/ч  $M_{c}=rac{162}{210\cdot70,2}=0$ ,011 кг/ч

Энергоёмкость процесса:

$$A = \frac{N_{\Lambda}}{W_{Y}} \tag{4.22}$$

где A – энергоёмкость процесса, кBт · ч/кг.

$$A_{c} = \frac{1,5}{63,1} = 0,024 \text{ kBt} \cdot \text{y/kf}$$

$$A_{M} = \frac{1,5}{70.2} = 0,021 \text{ kBt} \cdot \text{y/kf}$$

Полученные данные сведем в таблицу 4.3.

Таблица 4.3 — Экономическая эффективность применения предлагаемой молотилки

Показатель	Значение	Разница, ±		
Показатель	существующего	проектируемого	т азпица, ⊥	
Производительность, кг/ч	63,1	70,2	7,1	
Затраты труда, чел.ч/кг	0,016	0,014	-0,002	
Дополнительные капиталовложения, руб.		42700	_	
Эксплуатационные затраты, руб./кг	18,87	16,83	-2,04	
Капиталовложения, руб./кг	32,45	32,06	-0,39	
Экономия эксплуатационных затрат, руб./сез.	_	30073,7	_	
Приведённые затраты, руб./кг	23,74	21,64	-2,1	
Срок окупаемости дополнительных капвложений, сез.		1,42	_	
Металлоёмкость процесса, кг/ч	0,012	0,011	-0,001	
Энергоёмкость процесса, кВт · ч/кг	0,024	0,021	-0,003	

#### 4.3 Выводы по главе

- 1. Произведен расчет цены кукурузной селекционной двухвальцовой молотилки с прижимным механизмом. Итоговая цена молотилки составила 472,7 тыс. руб.
- 2. Выполнен расчет экономической эффективности применения разработанной кукурузной селекционной двухвальцовой молотилки с прижимным механизмом. В результате расчетов установлено:
  - эксплуатационные затраты уменьшатся на 2,04 руб./кг или на 10,8%;
  - энергоёмкость процесса уменьшится на 0,003 кВт · ч/кг или 12,5%;
- дополнительные капиталовложения в размере 42,7 тыс. руб. окупятся за 1,4 сезона.

#### Заключение

#### Итоги выполненного исследования

- 1. На основе анализа конструкций кукурузных молотильных устройств разработана конструктивно-технологическая схема кукурузной селекционной двухвальцовой молотилки включающей: обмолачивающий валец, имеющий выступы, выполненные по форме спирали Архимеда; транспортирующий валец, снабженный винтовой навивкой и прижимную пластину (патент РФ № 2690794, 2019 г.).
- 2. Уточнена размерно-массовая характеристика початков гибрида Краснодарский 425 МВ: длина початка 200 мм, диаметр початка 60 мм, масса семян одного початка 250 г, масса стержня 80 г, диаметр стержня 40 мм.
- 3. На основе уравнения динамики вращательного движения твердого тела разработана математическая модель движения початка кукурузы в вальцовой молотилке.
- 4. По результатам теоретических исследований частота вращения вальцов с учетом не превышения допустимой деформации початков гибрида Краснодарский 425 МВ составляет 764,4 мин<sup>-1</sup>, а время обмолота одного початка 4,5 секунды.
- 5. В результате проведенных экспериментальных исследований были установлены:
- оптимальные параметры вальцовой молотилки, обеспечивающие минимальное дробление зерна 0,2 % диаметр вальцов 148 мм и частота вращения вальцов 712 мин<sup>-1</sup>; недомолот зерна при этом составил 1,16 %, при максимально допустимом значении 1,2 %;
- рациональные параметры вальцовой молотилки, обеспечивающие в соответствие с агротехническими требованиями дробление зерна менее 1,0% и недомолот менее 1,2% диаметр вальцов 141...150 мм и частота вращения вальцов 711...722 мин<sup>-1</sup>.

- 6. Сравнение результатов теоретических и экспериментальных исследований показало:
- расхождение между теоретическим и экспериментальными рациональными значениями частоты вращения вальцов не превышает 7 %;
- при оптимальных параметрах молотилки расхождение между теоретическим и экспериментальными значениями времени обмолота одного початка составило 3,6 %, а по затратам мощности на привод молотилки в процессе обмолота 6,8 %.
- 7. Эксплуатационные затраты на обмолот початков кукурузы предлагаемой молотилки, в сравнение с молотилкой МКД-М, снижаются с 18,87 руб./кг до 16,83 руб./кг, то есть на 10,8 %, а дополнительные капиталовложения окупаются за 1,4 сезона.

#### Рекомендации производству

Предложенные в работе параметры рабочих органов двухвальцовой молотилки с прижимным механизмом могут быть использованы конструкторскими организациями при разработке устройств для обмолота початков на этапе первичного семеноводства кукурузы.

#### Перспективы дальнейшей разработки темы

Полученную математическую модель движения початка в двухвальцовой молотилке с прижимным механизмом можно использовать при разработке рабочих органов других типов вальцовых молотилок для различных сортов и гибридов кукурузы.

#### Литература

- 1. А. с. 164732 СССР, МПК А01F. Способ обмолота початков кукурузы / Н.Г. Бережнов, А.Т. Буряков, М.В. Кузьмин. Заявл. 25.12.61, Опубл. 19.08.64. Бюл. № 10.
- 2. А. с. 190692 СССР, МКИ<sup>1</sup> А 01-D 45/02. Очиститель початков кукурузы / М.В. Галдин, А.И. Буянов, Н.А. Смирнов и С.М. Якушенков; заявитель ВИМ. № 1016181/30–15; заявл. 05.07.65; опубл. 29.12.66, Бюл. № 2. 3 с.: ил.
- 3. А. с. 223513 СССР, МКИ<sup>1</sup> МПК А01F. Кукурузная селекционная молотилка / Н.В. Краснощеков, В.Ф. Куц; заявитель ОКБ Сибирского НИИСХ; заявл. 19.06.67; опубл. 02.08.68, Бюл. № 24. 3с.: ил.
- 4. А. с. 1114370 СССР, МКИ<sup>3</sup> А01F11/06. Селекционная кукурузная молотилка / В.А. Пшеничный, Г.И. Корольков, А.В. Пристинский; заявитель НИИСХ Центрально-Черноземной полосы им. В.В. Докучаева. № 3592851/30–15; заявл. 17.05.83; опубл. 23.09.84, Бюл. № 35. 5 с.: ил.
- 5. А. с. 917765 СССР, МКИЗ А01D45/02. Прибор для определения прочности связи зерна кукурузы со стержнем початка / Краснодарский НИИСХ им. П.П. Лукьяненко: В.С. Кравченко, В.В. Куцеев. Заявл. 11.11.80, Опубл. 07.04.82. Бюл. № 13.
- 6. А. с. 1069674 СССР, МКИЗ А01D45/02. Способ обработки початков кукурузы // ВНИИПТИМЭСХ: А.Д. Беспамятнов, Р.М. Хачиров, Б.М. Дубнов. Заявл. 02.09.81, Опубл. 30.01.84. Бюл. № 4.
- 7. А. с. 1005901 СССР, МКИЗ B02С19/06. Устройство для измельчения пористых материалов / Краснодарский НИИСХ им. П.П. Лукьяненко: В.С. Кравченко, В.В. Куцеев, А.И. Медведев. Заявл. 21.07.81, Опубл. 23.03.83. Бюл. № 11.
- 8. А. с. 1667719 СССР, МКИ<sup>4</sup> А01F11/06. Способ обмолота початков кукурузы / Э.В. Жалнин, А.А. Алдошин, И.Ф. Савенков и др.; заявитель

- XAИ им. Н.Е. Жуковского. № 4386960/15; заявл. 29.02.88; опубл. 07.08.91, Бюл. № 29. – 3 с.: ил.
- 9. Абликов В.А. Машины для уборки сельскохозяйственных культур / В.А. Абликов, Е. И. Трубилин. Краснодар: КубГАУ, 2010. 325 с
- 10. Алейников В.И. Определение качества обмолота кукурузы / В.И. Алейников, С.Г. Белицкая // Механизация и электрификация сельского хозяйства. 1986. № 6. С. 52–53.
- 11. Анискин В.И. Рекомендации по организации пунктов обработки семян родительских форм гибридов кукурузы и требования к выполнению технологических процессов / В.И. Анискин, А.Б. Чижиков, В.Д. Бабченко, Н.У. Сулейменов. М.: АгроНИИТЭИИТО, 1986. 36 с.
- 12. Бахарев Д. Н. Бионические основы разработки и конструирования эффективных шипов молотильно-сепарирующих устройств для кукурузы / Д.Н. Бахарев, С.Ф. Вольвак // Инновации в АПК: проблемы и перспективы. 2017. № 3 (15). С. 3-13.
- 13. Бобриков Н.А. Исследование рабочих органов молотильных аппаратов для обмолота кукурузы: автореф. дис... канд. техн. наук: 05.20.01 Ростов-на-Дону, 1963. 22 с.
- 14. Босой Е.С., Теория, конструкция и расчет сельскохозяйственных машин / Е.С. Босой, О.В. Верняев, Ш.И. Смирнов, Е.Г. Султан-Шах. М.: Машиностроение, 1977. С. 568.
- 15. Бумбар И.В. К оценке обмолота початков кукурузы бильным барабаном зернового комбайна / И.В. Бумбар, А.А. Кувшинов // Дальневосточный аграрный вестник. 2017. № 3 (43). С. 183-191.
- 16. Василев С. Винтов апарат за ронене на царевични кочани / С. Василев. София: Селскостопанска техника, 1980. Т. XVII, № 3. С. 43–47 (болг.)
- 17. Василев С. Изследване на дисков апарат за ронене на царевица /
  С. Василев, Терзиев, П. Стоянов. София: Селскостопанска техника, 1982.
   XIX, № 2. С. 27–33 (болг.)

- 18. Виндижев Н. Л.. Механико-технологическое обоснование методов снижения потерь от травмирования зерна при уборке кукурузы и масличных культур / Н. Л. Виндижев: дис. ...д-ра техн. наук: 05.20.01 / Кабардино-Балкарская ГСА . Нальчик, 1999. 273 с.
- 19. Вознесенский В.А., Ковальчук А.Ф. Принятие решений по статистическим моделям. М.: Статистика, 1978. 192 с. (добавлена ссылка на стр. 63)
- 20. Войцехович В.В. Определение расхода энергии на обмолот початков кукурузы бичевым барабаном / В.В. Войцехович // Тр. / Кишиневский СХИ. Кишинев, 1972. Т. 84. С. 101–105.
- 21. Войцехович В.В. Статическое и динамическое воздействие сил на обмолачиваемый початок / В.В. Войцехович // Тр. / Кишиневский СХИ. Кишинев, 1972. Т. 84. С. 105–110.
- 22. Гибриды кукурузы, созданные в Краснодарском НИИСХ им. П. П. Лукьяненко. Краснодар: Престиж-Плюс, 2004. 32 с.
- 23. Гокоев А.И. Обзор и анализ отечественных и зарубежных конструкций молотильных устройств / А.И. Гокоев // Тр. ВИСХОМ. Вып. 47. М., 1966. С. 326–341.
- 24. Гокоев А.И. Физико-механические свойства початка кукурузы / А.И. Гокоев. // Тр. ВИСХОМ. Вып. 47. М., 1966. С. 281–289.
- 25. ГОСТ Р 52325-2005 Семена сельскохозяйственных растений. Сортовые и посевные качества. Общие технические условия (с Поправкой). Дата введения 2006-01-01. М.: Стандартинформ, 2009. 21 с.
- 26. Голик М.Г. Хранение и обработка початков и зерна кукурузы / М.Г. Голик. М.: Колос, 1968. 335 с.
- 27. Горячкин В.П. Собрание сочинений в 3 т. Т. 1. М.: Колос, 1965.− 384 с.
- 28. Гуров И.Н. Обмолот кукурузы / И.Н. Гуров. Ростов н/Д.: из-во Ростовского ун-та, 1964.-47 с.

- 29. Данилевич С.Ю. Прочность зерна кукурузы и его связей со стержнем початка / С.Ю. Данилевич // Науч. тр. / УкрНИИМЭСХ. Киев: УАСХН, 1960. Т. 2. С. 72–79.
- 30. Дембеле С. Процесс работы планетарно-роликового аппарата на уборке кукурузы: автореф. дис... канд. техн. наук: 05.20.01 Краснодар, 1985. 29 с.
- 31. Деревенко В.В. Планетарные аппараты уборочных машин: Конструкция, теория, расчет. Ч. II. Краснодар: Кубанский СХИ, 1981. 101 с.
- 32. Доспехов Б.А. Методика полевого опыта / Б.А. Доспехов. Изд. 4-е, перераб. и доп. М.: Колос, 1979. 416 с.
- 33. Жалнин Э.В. Математическое моделирование процессов земледельческой механики / Э.В. Жалнин // Тракторы и сельскохозяйственные машины. 2000. № 1. С. 20-23.
- 34. Измайлов А.Ю. Механизация селекционно-опытной работы / А.Ю. Измайлов, Н.Е. Евтюшенков. // Механизация и электрификация сельского хозяйства. 2016. № 4. С. 4-9
- 35. Исходные требования на базовые машинные технологические операции в растениеводстве : [сборник] / Министерство сел. хоз-ва Рос. Федерации, Федер. агентство по сел. хоз-ву ; [разраб. : В. П. Елизаров и др.]. М. : Росинформагротех, 2005 (Тип. ФГНУ Росинформагротех). 270 с.
- 36. Кравченко В.С. Исследование планетарного початкоотделяющего аппарата с активным вальцовым подбарабаньем для обмолота кукурузы. автореф. дис... канд. техн. наук: 05.20.01 Краснодар, 1974. 25 с.
- 37. Кравченко В.С. Параметры и режимы обмолота початков кукурузы / В.С. Кравченко: дис. ... д-ра техн. наук. Т. 1.: 05.20.01. Зерноград, 1997. 483 с.
- 38. Кравченко В.С. Методика расчета мощности, потребляемой тангенциальными аппаратами при обмолоте кукурузы / В.С. Кравченко, В.С. Курасов, А.А. Казеев // Энерго- и ресурсосбережение производственных

- процессов АПК: сб. науч. тр. / КубГАУ. Вып. 382(410). Краснодар, 2000. С. 18–23.
- 39. Креймерман Г.И. Обмолот початков кукурузы / Г.И. Креймерман. М.: Колос, 1966. 104 с.
- 40. Курасов В.С. Механико-технологическое обоснование комплекса технических средств для селекции, сортоиспытания и первичного семеноводства кукурузы: дис. ... д-ра техн. наук: 05.20.01 / КГАУ. Краснодар, 2003. 343 с.
- 41. Лавренчук Н.Ф. Основные направления селекционносеменоводческой работы по кукурузе в Краснодарском НИИСХ им. П.П. Лукьяненко / Н.Ф. Лавренчук // Стратегия развития сельского хозяйства Адыгеи на пороге XXI века: материалы регион. науч.-практ. конф., посвящ. 40-летию Адыгейского НИИСХ. – Майкоп, 2003. – С. 187–189.
- 42. Машины для селекции, сортоиспытания и первичного семеноводства полевых культур [Электронный ресурс]: каталог / В.Ф. Федоренко, Д.С. Буклагин, Л.М. Колчина, Н.П. Мишуров, В.Я. Гольтяпин, Т.Н. Кузьмина. М.: ФГБНУ "Росинформагротех", 2009. 224 с. ISBN 978-5-7367-0704-1. Режим доступа: https://rucont.ru/efd/213373
- 43. Мельников С.В. Планирование эксперимента в исследованиях сельскохозяйственных процессов / С.В. Мельников, В.Р. Алешкин, П.М. Рощин. Л.: Колос, 1980. 168 с
- 44. Методические рекомендации по применению терминов и определений в области механизации работ в селекции, сортоиспытании и первичном семеноводстве кукурузы. Параметры опытного поля, схемы посева и требования к типажу посевных и уборочных машин в селекции, сортоиспытании и первичном семеноводстве кукурузы / под ред. В.С. Сотченко. ВНИИ кукурузы, КубГАУ, КНИИСХ. Краснодар, 2002. 11 с.
- 45. Методические указания по производству гибридных и сортовых семян кукурузы. М.: Колос, 1975. 167 с.

- 46. Механизация работ в селекции, сортоиспытании и первичном семеноводстве кукурузы: монография / В.С. Курасов, В.В. Куцеев, Е.Е. Самурганов / Краснодар, 2013. 151 с. ISBN 978-5-94672-723-5
- 47. Механизация возделывания и уборки кукурузы на зерно: обзор. информ. / Р.С. Суханова, А.Н. Хитров. М.: ВНИИТЭИ, 1982. С. 25–33.
- 48. Митков А. Изследване на работата на вертикален цилиндричноконусен апарат за ронене царевица за посев / А. Митков, Ле Конг Хун, П. Радулов, М. Белопитова // София: Селскостопанска техника, 1982. – Т. XIX.
- 49. Митков А. Изследване на горизонтален конусен апарат за ронене царевични кочани / А. Митков, П. Радулов. Русе: Научни трудове на ВТУ «Ангел Кънчев», 1981. Т. XXIII, серия 1. С. 37–40.
- 50. Мозговой Ю.И. Исследование процесса обмолота кукурузы бильными барабанами: автореф. дис. ... канд. техн. наук: 05.20.01. Ростов н/Д., 1968. 25 с.
- 51. Молотилка для обмолота початков кукурузы МПК-0,3 // Кукуруза и сорго. 2004. № 3. С. 26.
- 52. Молотильное устройство для обмолота початков // Проспект ВДНХ СССР / Госагропром СССР. Кишиневский СХИ. 1986. 4 с.
- 53. Налимов В.В. Статистические методы планирования экстремальных экспериментов / В.В. Налимов, Н.А. Чернова. М.: Наука, 1965. 340 с.
- 54. Никитина Г.А. Обмолот початков кукурузы без непосредственного воздействия на зерно: автореф. дис. ... канд. техн. наук: 05.20.01. M., 1969. 21 с.
- 55. Об экспорте кукурузы из России в 2015-2019 гг. [Электронный ресурс]. URL: https://ab-centre.ru/news/ob-eksporte-kukuruzy-iz-rossii-v-2015-2019-gg (дата обращения: 09.07.2019).
- 56. Оськин С.В. Электротехнологии в сельском хозяйстве : учебник / С.В. Оськин Краснодар : КубГАУ, 2016. 501 с. ISBN 978-5-00097-000-3
- 57. Пат. 162558 Российская Федерация, Установка для обмолота початков кукурузы / В.В. Куцеев, В.С. Курасов, В.М. Погосян, А.С. Голицын;

- заявитель и патентообладатель Кубанский гос. аграр. ун-т. 2016106308/13, заявл. 24.02.2016; опубл. 20.06.2016. Бюл. № 17. -5 с.
- 58. Пат. 2171023 Российская Федерация, МПК<sup>7</sup> А 01F 11/06. Линия обмолота селекционного материала кукурузы / Е.И. Трубилин, В.В. Куцеев, В.С. Курасов и И.А. Петунина; заявитель и патентообладатель КубГАУ. − № 99122084; заявл. 19.10.99; опубл.27.07.01, Бюл. № 21. − 14 с.: ил.
- 59. Пат. 2023373 РФ, МКИ4 A01F/11/06. Способ обмолота початков кукурузы / Краснодарский НИИСХ им. П.П. Лукьяненко: В.С. Кравченко, С.В. Анищенко. Заявл. 13.08.90, Опубл. 30.11.94. Бюл. № 22
- 60. Пат. 2690794 Российская Федерация, Селекционная установка для обмолота початков кукурузы / В.М. Погосян, А.С. Голицын, Д.А. Артюхин; заявитель и патентообладатель Федеральное государственное бюджетное образовательное учреждение высшего образования "Кубанский государственный аграрный университет имени И.Т. Трубилина". 2018121877, заявл. 13.06.2018; опубл. 05.06.2019. Бюл. № 16. 6 с.
- 61. Петунина И.А. Обмолот початков кукурузы / И.А. Петунина: монография. Краснодар: КубГАУ, 2006. 200 с.
- 62. Петунина И.А. Очистка и обмолот початков кукурузы / И.А. Петунина. Краснодар: КубГАУ, 2007. 525 с.
- 63. Петунина, И.А. Разработка ресурсосберегающих процессов очистки и обмолота початков семенной кукурузы / И.А. Петунина: дис. ...д-ра. техн. наук: 05.20.01 / КГАУ. Краснодар, 2008. 349 с.
- 64. Погосян В.М. Исследование движения кукурузного початка в вальцовой молотилке / В.С. Курасов, В.М. Погосян, В.Н. Плешаков, Е.Е. Самурганов // Труды Кубанского государственного аграрного университета. 2017. № 69. С. 315-318.
- 65. Погосян В.М. Анализ технических средств обмолота початков кукурузы / В. М. Погосян // Наука Кубани. 2017. № 3. С. 4-11.
- 66. Погосян В.М. Параметры кукурузной селекционной вальцовой молотилки / В.С. Курасов, В.М. Погосян, В.В. Цыбулевский // Политемати-

- ческий сетевой электронный научный журнал Кубанского государственного аграрного университета. 2018. № 136. С. 1-14.
- 67. Погосян В.М. Селекционная однопочатковая молотилка / В.М. Погосян // Инновации в сельском хозяйстве. 2015. № 2 (12). С. 145-149.
- 68. Погосян В.М. Исследование процесса обмолота початков кукурузы трехвальцовой молотилкой на этапе селекции / В.М. Погосян // В сборнике: Вклад молодых ученых в аграрную науку: материалы Международной научно-практической конференции. Кинель, 22-23 апреля 2015 г. Самарская ГСХА. 2015. С. 285-289.
- 69. Погосян В.М. Тенденции развития аппаратов для обмолота кукурузы / В.М. Погосян // В сборнике: НАУЧНОЕ ОБЕСПЕЧЕНИЕ АГРОПРО-МЫШЛЕННОГО КОМПЛЕКСА сборник статей по материалам 72-й научно-практической конференции преподавателей Кубанского ГАУ по итогам НИР за 2016 г. Краснодар: Кубанский ГАУ. 2017. С. 313-314.
- 70. Погосян В.М. Обмолот кукурузного початка в вальцовой молотилке / В.М. Погосян // В сборнике: НАУЧНОЕ ОБЕСПЕЧЕНИЕ АГРОПРОМЫШЛЕННОГО КОМПЛЕКСА Сборник статей по материалам XI Всероссийской конференции молодых ученых, посвященной 95-летию Кубанского ГАУ и 80-летию со дня образования Краснодарского края. Ответственный за выпуск А.Г. Кощаев. Краснодар: Кубанский ГАУ. 2017. С. 436-437.
- 71. Погосян В.М. Селекционное устройство для обмолота початков кукурузы / В.М. Погосян // В сборнике: НАУЧНОЕ ОБЕСПЕЧЕНИЕ АГРО-ПРОМЫШЛЕННОГО КОМПЛЕКСА Сборник статей по материалам X Всероссийской конференции молодых ученых, посвященной 120-летию И.С. Косенко. Отв. за вып. А. Г. Кощаев. Краснодар: Кубанский ГАУ. 2017. С. 608-609.
- 72. Погосян В.М. Гистограмма распределения измерений диаметра початка гибрида кукурузы РОСС 149 МВ. В.С. Курасов, В.М. Погосян,

- Е.Е. Самурганов, А.А. Елисеева. Свидетельство о государственной регистрации программы для ЭВМ №2013614012. Зарегистрировано в реестре программ для ЭВМ 22.04. 2013 г.
- 73. Поединок В.Е. Исследование молотильного аппарата зерноуборочного комбайна на уборке кукурузы / В.Е. Поединок // Долговечность и надежность с.-х. машин: сб. докл. М., 1966. С. 182–187.
- 74. Полевицкий К. А. Принципы обмолота початков в кукурузных молотилках / К.А. Полевицкий // Механизация социалистического сельского хозяйства. 1936. №7. С. 36.
- 75. Пугачёв А.Н. Повреждение зерна машинами / А.Н. Пугачёв. М.: Колос, 1976. 320 с.
- 76. Пустыгин М.А. Теория и технологический расчет молотильных устройств / М.А. Пустыгин. М.: ОГИЗ, Сельхозгиз, 1948. 96 с.
- 77. Пустыльник Е.И. Статистические методы анализа и обработки наблюдений / Е.И. Пустыльник. М.: Наука, 1968. –288 с.
- 78. Пьянков А.И. Кукуруза / А.И. Пьянков // Физико-механические свойства растений, почв и удобрений. М., 1970. С. 226–241.
- 79. Раздорский В.Ф. Архитектоника растений / В.Ф. Раздорский. М.: Советская наука, 1955. 432 с.
- 80. РТМ 44-62. Методика статистической обработки эмпирических данных. М.: Комитет стандартов, мер и измерительных приборов при Совете Министров СССР, 1965. 100 с.
- 81. Сабликов М. В. Защемление и затягивание тел / М.В. Сабликов // Механизация и электрификация социалистического сельского хозяйства. 1968. N = 3. C.6 8.
- 82. Состояние рынка семян кукурузы в Российской Федерации: доклад / Национальная ассоциация производителей семян кукурузы и подсолнечника [Электронный ресурс]. – Режим доступа: https://napksk.ru/media/upload/\_2017\_kukuruza.pdf (дата обращения: 10.07.2019).

- 83. Строна И.Г. Общее семеноводство полевых культур / И.Г. Строна. М.: Колос, 1966. 464 с.
- 84. Стандарт отрасли ОСТ 10 2.18-2001 МСХ РФ. Испытания сельскохозяйственной техники. Методы экономической оценки. М., 2002. 36 с.
- 85. Такоев Т.К. Исследование качества работы кукурузных молотилок / Т.К. Такоев // Труды Северо-Осет. СХИ. Т. 17. Орджоникидзе, 1956. С. 345–348.
- 86. Тогонбаев Т.К. Исследование процесса обмолота кукурузы штифтовыми и лопастными барабанами: автореф. дис. канд. техн. наук: 05.20.01. Алма-Ата, 1967. 21 с.
- 87. Топал Г.Д. Определение коэффициента трения продуктов обмолота кукурузы о различные материалы / Г.Д. Топал // Совершенствование технологических процессов, конструкции с.-х. машин и животноводческого оборудования: межвуз. сб. науч. тр. / Кишиневский СХИ. Кишинев, 1979. С. 54–58.
- 88. Топал Г.Д. Условие разрушения связи зерна с початков / Г.Д. Топал // Совершенствование технологических процессов, конструкций сельско-хозяйственных машин и животноводческого оборудования: межвуз. сб. науч. тр. / Кишиневский СХИ. Кишинев, 1979. С. 58–62.
- 89. Труфляк Е.В. Физико-механические свойства кукурузы / Е.В. Труфляк. Краснодар: КубГАУ, 2007, 197 с.
- 90. Ульрих Н.Н. Специфика научных исследований в области механизации производственных процессов в селекции, сортоиспытании и первичном семеноводстве / Н.Н. Ульрих // Тр. ВИМ. Т. 74. М., 1977. С. 3–8.
- 91. Федеральная научно-техническая программа развития сельского хозяйства на 2017-2025 годы (утв. постановлением Правительства Российской Федерации от 25 августа 2017 г. № 996). М.: ФГБНУ «Росинформагротех», 2017. 52 с.
- 92. Цримов А.З. Исследование процесса взаимодействия рабочих органов кукурузной молотилки с объектом обработки / А.З. Цримов,

- Ю.А. Шекихачев // Матер. междунар. практ. конф., посвящ. 80-ти летию чл.-корр. РАСХН, засл. деят. науки РСФСР и РД, проф. М.М. Джамбулатова. Махачкала, 2006.
- 93. Чаплыгин М.Е. Уборка кукурузы на зерно различными жатками / М.Е. Чаплыгин // Сельский механизатор. 2015. № 12. С. 8-9..
- 94. Шабала Н.А. Селекционная молотилка / Н.А. Шабала // Кукуруза и сорго. 1991. № 4. С. 23–24.
- 95. Шатилов К.В. Кукурузоуборочные машины / К.В. Шатилов, Б.Д. Козачок, А.П. Орехов. М.: Машиностроение, 1981. 224 с.
- 96. Шекихачев Ю.А Технические средства для обмолота початков кукурузы / Ю.А Шекихачев // NovaInfo.Ru №45, 2016 г. С. 28-35.
- 97. Южанинова Л. Рынок семян масличных культур в России [Электронный ресурс]. URL: https://www.agroxxi.ru/gazeta-zaschita-rastenii/zrast/rynok-semjan-maslichnyh-kultur-v-rossii.html (дата обращения: 14.05.2019).
- 98. Якушенков С.М. Метод определения мощности, необходимой для обмолота кукурузы / С.М. Якушенков // Вестник сельскохозяйственной науки. 1965. N 2. C.82-84.
- 99. Agriculture in the European union. Statistical and economic information, 2003. P. 40.
- 100. Anazodo U.G.N. Corn physical and mechanical properties as related to combine cylinder performance / U.G.N. Anazodo, G.L. Wall, E.R. Norris // Canadian agricultural engineering, 1981. N = 23. P. 23-30.
- 101. Hamid F. Al-J. Laboratory Studies of a Low-Damage. Corn-Shelling Mashine / F. Al-J. Hamid, J.M. Stephen, H.C. Moffazzal // Transactions of the ASAE, 1980. 23, № 2. P. 278–283.
- 102. Hege Maschinen // Проспект фирмы Hege Maschinen. Waldenburg. 6 с.
- 103. Hege 212 Forage Plot Harvester // Проспект фирмы Hege Maschinen. Waldenburg. 6 с.

- 104. Kaifas F. Szemestermenyek szilardsagi jellemzoi / F. Kaifas // Jarmuvek, Mezogazdasagi Gepek. 26, evfolyam. 1979. № 3. S. 112–116.
- 105. LS 230 // Проспект фирмы Wintersteiger. [Электронный ресурс]: Режим доступа: https://docplayer.ru/27595409-Mashiny-dlya-laboratoriy-rus.html
- 106. Plotmaster Universal // Проспект фирмы F. Walter & H. Wintersteiger. Ried. 8 с.
  - 107. Egreneuse a mais 15/45 TZ // Проспект фирмы Bourgoin. 4 с.
  - 108. Egreneuse tropicale Bamba // Проспект фирмы Bourgoin. 4 с.
- 109. Moreira S.M.C. Crack Formation in corn Kernels Subject to Impact / S.M.C. Moreira, G.W. Kruts, G.H. Foster // Transactions of the ASAE, 1981. 24, № 26. P. 889-892.
- 110. Сайт группы компаний «Содружество» [Электронный ресурс]: Информационный сервер. Режим доступа: http://www.sodrugestvo.ru.
- 111. Сайт министерства сельского хозяйства РФ [Электронный ресурс]: Информационный сервер. Режим доступа: http://www.mcx.ru.

# Таблица 1 - Размерно-массовая характеристика початков гибрида Краснодарский 425 MB

Приложение 1

Продолжение таблицы 1

Показатель	Значе	ение						
Масса стержня, г	78	68	85	81	87	73	84	81
-	70	80	93	68	87	84	88	88
	91	80	94	94	73	78	81	68
	73	84	79	69	86	93	88	82
	76	84	90	68	85	84	81	78
	84	77	93	78	67	91	91	81
	90	76	66	72	76	94	74	80
	67	81	63	69	76	84	75	60
	79	73	85	75	79	89	79	67
	66	90	85	76	79	84	90	75
	83	84	81	85	80	87	75	77
	78	89	83	86	79	77	87	69
	91	77	72	69				
Диаметр стержня, мм	44	32	41	39	39	39	34	45
	45	38	38	39	40	41	40	42
	43	42	41	39	33	40	38	34
	46	45	39	36	36	41	38	41
	43	48	40	37	39	39	40	41
	47	44	42	40	36	39	41	39
	44	42	35	39	36	40	49	39
	46	40	41	39	40	45	40	45
	46	41	43	39	34	39	42	39
	38	40	34	40	42	45	36	36
	39	40	39	40	33	38	36	40
	43	42	37	38	36	42	42	43
	42	40	40	41				

Для статистической характеристики использовали следующие показатели: средняя арифметическая, дисперсия, стандартное отклонение, ошибка средней арифметической, коэффициент вариации, ошибка средней и относительная ошибка средней [31]. Формулы для расчета указанных показателей приведены в таблице 2.

Таблица 2 — Формулы для вычисления статистических характеристик выборки при количественной изменчивости

Показатель	Расчётная формула
Среднее арифметическое	$\bar{X} = \frac{\sum X}{n}$
Дисперсия	$\delta^2 = \frac{\Sigma(X - \bar{X})}{n - 1}$
Стандартное отклонение	$\delta = \sqrt{\delta^2}$
Коэффициент вариации	$V = \frac{\delta}{x} \cdot 100$
Ошибка средней	$\delta \bar{x} = \frac{\delta}{\sqrt{n}}$
Относительная ошибка средней	$\delta x = \frac{\delta x}{x} \cdot 100$

Результаты расчетов приведены в таблице 3.

Таблица 3 - Результаты расчетов статистических характеристик

	Измеряемый параметр								
П	Длина	Диаметр	Macca	Macca	Диаметр				
Показатель	початка, мм	початка,	семян	стержня, г	стержня,				
		MM	с одного		MM				
			початка, г						
Среднее значение	200	60,08	250,04	79,99	40,08				
Минимум	168	52	208	60	32				
Максимум	225	69	286	94	49				
Дисперсия	181,5757576	11,2864646	442,705455	63,12111	11,28646				
Стандартное отклонение	13,47500492	3,3595334	21,0405669	7,94488	3,359533				
Коэффициент вариа-	6,73	5,59	8,41	9,93	8,38				
ции	1 2475	0.22505	2 10 40 5	0.70440	0.22505				
Ошибка средней	1,3475	0,33595	2,10405	0,79449	0,33595				
Относительная ошибка средней	6,74	0,56	0,84	9,93	0,84				
ороднон									

#### Приложение 2

#### Документы о внедрении

Первый проректор

ФГБОУ ВО Кубайский ГАУ

профессор

Резниченко С.М.

« Уэ февраля 2018 г

#### AKT

об использовании в учебном процессе Федерального государственного бюджетного образовательного учреждения высшего образования «Кубанский государственный аграрный университет имени И.Т. Трубилина» на факультете механизации результатов научно-исследовательской работы Погосяна Владимира Макичевича

Комиссия в составе председателя - декана факультета механизации профессора С.М. Сидоренко, членов комиссии - заведующего кафедрой «Тракторы, автомобили и техническая механика» профессора В.С. Курасова и председателя методической комиссии факультета механизации доцента А.А. Титученко, рассмотрела результаты научно-исследовательской работы старшего преподавателя кафедры «Тракторы, автомобили и техническая механика» Погосяна Владимира Макичевича по обмолоту початков кукурузы на этапе селекции и их использование в учебном процессе на факультете механизации.

Комиссия установила, что результаты научно-исследовательской работы Погосяна Владимира Макичевича используются в учебном процессе на кафедре «Тракторы, автомобили и техническая механика» при написании выпускных квалификационных работ магистрантами по направлению подготовки 35.06.04 «Технологии, средства механизации и энергетические оборудование в сельском, лесном и рыбном хозяйстве», профиль «Технологии и средства механизации сельского хозяйства».

Председатель комиссии

С.М. Сидоренко

Члены комиссии:

В.С. Курасов

А.А. Титученко



о передаче (использовании) результатов исследований старшего преподавателя Кубанского государственного аграрного университета имени И.Т. Трубилина Погосяна Владимира Макичевича

Комиссия в составе: заведующего кафедрой «Тракторы, автомобили и техническая механика» Кубанского ГАУ, доктора технических наук Курасова В.С., старшего преподавателя Кубанского ГАУ Погосяна В.М. и доцента Кубанского ГАУ кандидата технических наук Припорова И.Е. составили настоящий акт о том, что результаты исследований Погосяна Владимира Макичевича по обмолоту початков семенной кукурузы переданы для использования в «Сбытовой сельскохозяйственный потребительский кооператив кукурузокалибровочный завод «Кубань».

Члены комиссии: \_\_\_\_\_\_\_В.С. Курасов

В.М. Погосян

И.Е. Припоров

#### Патент РФ





ФЕДЕРАЛЬНАЯ СЛУЖБА ПО ИНТЕЛЛЕКТУАЛЬНОЙ СОБСТВЕННОСТИ (51) МПК A01F 11/06 (2006.01)

#### (12) ОПИСАНИЕ ПОЛЕЗНОЙ МОДЕЛИ К ПАТЕНТУ

Статус: дей ствует (последнее изменение статуса: 27.02.2017) Пошлина: учтена за 2 год с 25.02.2017 по 24.02.2018

(21)(22) 3amra: 2016106308/13, 24.02.2016

(24) Дата начала отсчета срока действия патента; 24.02.2016

Приоритет(ы):

(22) Дата подачи заявки; 24.02.2016

(45) Опубликовано: 20.06.2016 Бюл. № 17

Адрес для переписки:

350044, г. Красподар, ул. Калинина, 13, Кубанский ГАУ, отдел организации и мониторинга научной деятельности (72) Автор(ы):

Куцеев Владимир Васильевич (RU), Курасов Владимир Станиславович (RU), Погосии Владимир Макичевич (RU), Голицыи Александр Сергеевич (RU)

(73) Патентообладатель(и):

Федеральное государственное бюджетное образовательное учреждение высшего профессионального образования "Кубанский государственный аграрный университет" (RU)

#### (54) УСТАНОВКА ДЛЯ ОБМОЛОТА ПОЧАТКОВ КУКУРУЗЫ

#### (57) Реферат:

Полезная модель относится к сельскому хозяйству, в частности к устройствам для обмолота початков кукурузы в селекции и первичном семеноводстве. Для увеличение пропускной способности в установке для обмолота початков кукурузы, содержащей загрузочное устройство 1, молотильный аппарат 2 с двумя молотильными вальцами 3 и 4, прижимным вальцом 5, расположенными параллельно, а загрузочное устройство 1 расположено у продольной стороны молотильного вальца 4, согласно полезной модели, прижимной валец 5 расположен на выходе из загрузочного устройства 1 и над молотильным вальцом 4, со стороны которого расположено загрузочное устройство 1, причем поперечное сечение прижимного вальца 5 выполнено в виде криволинейных участков 8, образующих форму храповика, а криволинейные участки 8 прижимного вальца 5 снабжены ребрами 9, расположенными вдоль его продольной оси симметрии

Применение полезной модели позволит увеличить пропускную способность установки для обмолота початков кукурузы и как следствие увеличить производительность его работы, а также снизить травмирование семенного зерна кукурузы.

Полезная модель относится к сельскому хозяйству, в частности к устройствам для обмолота почагков кукурузы в селекции и первичном семеноводстве.

Известна лабораторная кукурузная молотилка, включающая раму и закрепленную на ней воронку, обмолачивающее колесо и поворачивающий початки диск, расположенные вертикально, и деку, закрепленную на рычате, шарнирно связанном одним концом с рамой, причем дека закреплена на другом конце рычага шарнирно

#### Листинги программ

#### Листинг программы

### Гистограмма распределения измерений диаметра початка гибрида кукурузы РОСС 149 МБ

100 измерений диаметра початка. Исходные данные заносятся в матрицу (V).

#### 100 измерений диаметра початка, (мм)

#### Максимальное значение показателя

vmax := max(v) vmax = 49 mm

#### Минимальное значение показателя

vmin := min(v) vmin = 33 mm

## Размах варыирования результатов измерения равен

$$d := vmax - vmin$$
  $d = 16$  mm

Сгруппируем все полученные значения в k групп. Ориентировочно число групп равно корню квадратному из объема выборки, и оно должно быть не меньше 5, но не более 20.

В данном случае:

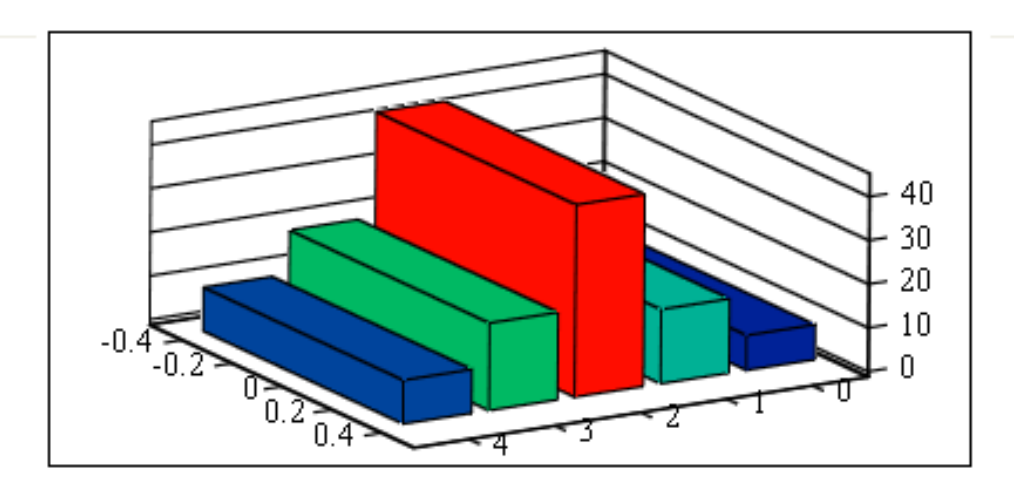
## Величину интервала групп определим по соотношению:

$$h:=\frac{d}{k} \hspace{1cm} h=3.2 \hspace{1cm} \text{mm}$$

# Частота попадания признака в заданный интервал

$$X_i := vmin + h \cdot i \qquad X = \begin{pmatrix} 33 \\ 36.2 \\ 39.4 \\ 42.6 \\ 45.8 \\ 49 \end{pmatrix} f := hist(X, v) \qquad f = \begin{pmatrix} 8 \\ 17 \\ 44 \\ 20 \\ 10 \end{pmatrix}$$

По полученным данным строится гистограмма и полигон эмпирического распределения (рисунок 1 и 2)



f

Рисунок 1 - Гистограмма эмпирического распределения

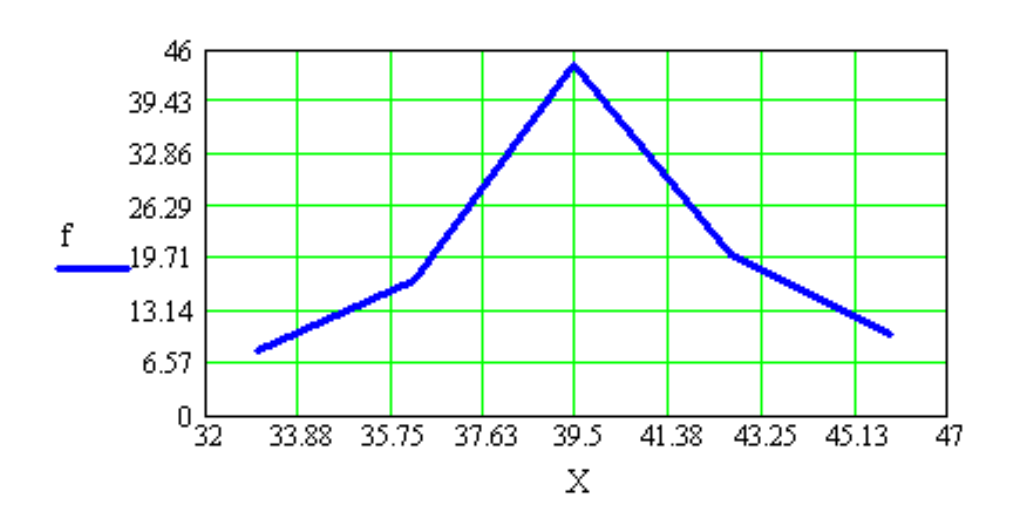


Рисунок 2 - Полигон эмпирического распределения

#### Листинг программы

## Гистограмма распределения измерений длины початка гибрида кукурузы РОСС 149 МБ

100 измерений длины початка. Исходные данные заносятся в матрицу (V).

#### 100 измерений длины початка, (мм)

#### Максимальное значение показателя

 $vmax := max(v) \quad vmax = 183 \quad MM$ 

#### Минимальное значение показателя

vmin := min(v) vmin = 125 mm

## Размах варыфования результатов измерения равен

$$d := vmax - vmin$$
  $d = 58$  mm

Сгруппируем все полученные значения в k групп. Ориентировочно число групп равно корню квадратному из объема выборки, и оно должно быть не меньше 5, но не более 20.

В данном случае:

$$k := 5$$
 групп

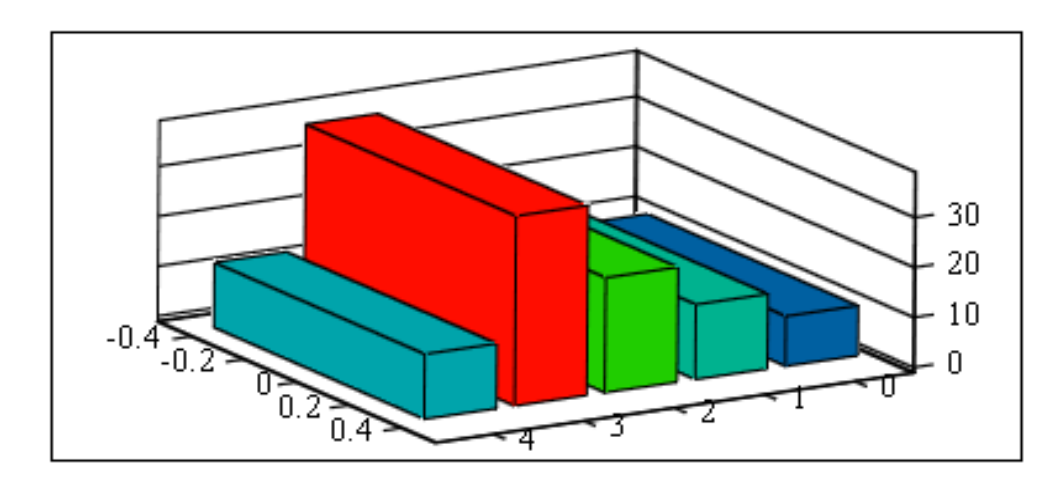
# Величину интервала групп определим по соотношению:

$$h:=\frac{d}{k} \qquad \quad h=11.6 \qquad \text{mm}$$

# Частота попадания признака в заданный интервал

$$X_i := vmin + h \cdot i \qquad X = \begin{pmatrix} 125 \\ 136.6 \\ 148.2 \\ 159.8 \\ 171.4 \\ 183 \end{pmatrix} := hist(X, v) \qquad f = \begin{pmatrix} 10 \\ 15 \\ 23 \\ 38 \\ 13 \end{pmatrix}$$

По полученным данным строится гистограмма и полигон эмпирического распределения (рисунок 1 и 2)



f

Рисунок 1 - Гистограмма эмпирического распределения

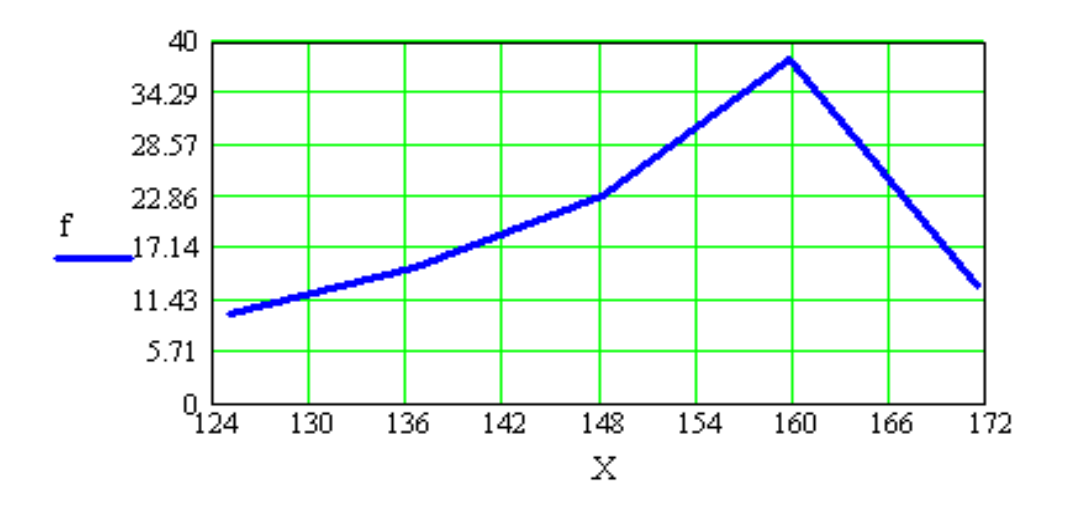


Рисунок 2 - Полигон эмпирического распределения

#### Листинг программы

# Гистограмма распределения измерений массы початка гибрида кукурузы РОСС 149 МБ

100 измерений масса початка. Исходные данные заносятся в матрицу (V).

#### 100 измерений масса початка, (гр)

#### Максимальное значение показателя

$$vmax := max(v)$$
  $vmax = 350$  rp

#### Минимальное значение показателя

$$vmin := min(v)$$
  $vmin = 187$ 

## Размах варыфования результатов измерения равен

$$d := vmax - vmin$$
  $d = 163$  rp

Сгруппируем все полученные значения в k групп. Ориентировочно число групп равно корню квадратному из объема выборки, и оно должно быть не меньше 5, но не более 20.

В данном случае:

## Величину интервала групп определим по соотношению:

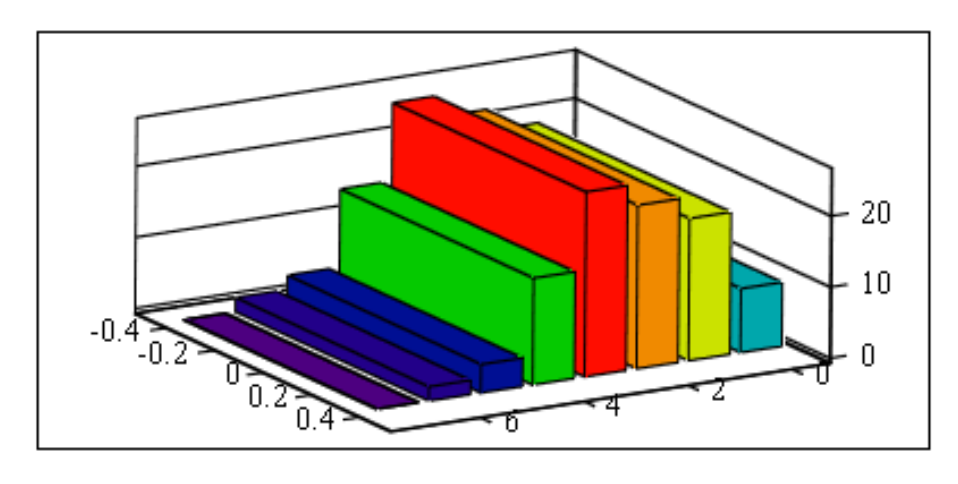
$$h := \frac{d}{k} \qquad h = 20.375 \boxed{\underline{rp}}$$

# Частота попадания признака в заданный интервал

$$\begin{array}{ll} nj := cols(v) & nj = 10 \\ ni := rows(v) & ni = 10 \end{array} \qquad \text{ sc} := mean(v) \qquad \text{ sc} = 246.46 \\ i := 0...k \end{array}$$

$$X_i := vmin + h \cdot i \quad X = \begin{pmatrix} 187 \\ 207.375 \\ 227.75 \\ 248.125 \\ 268.5 \\ 288.875 \\ 309.25 \\ 329.625 \\ 350 \end{pmatrix} f := hist(X,v) \quad f = \begin{pmatrix} 9 \\ 20 \\ 23 \\ 26 \\ 15 \\ 4 \\ 2 \\ 0 \end{pmatrix}$$

По полученным данным строится гистограмма и полигон эмпирического распределения (рисунок 1 и 2)



f

Рисунок 1 - Гистограмма эмпирического распределения

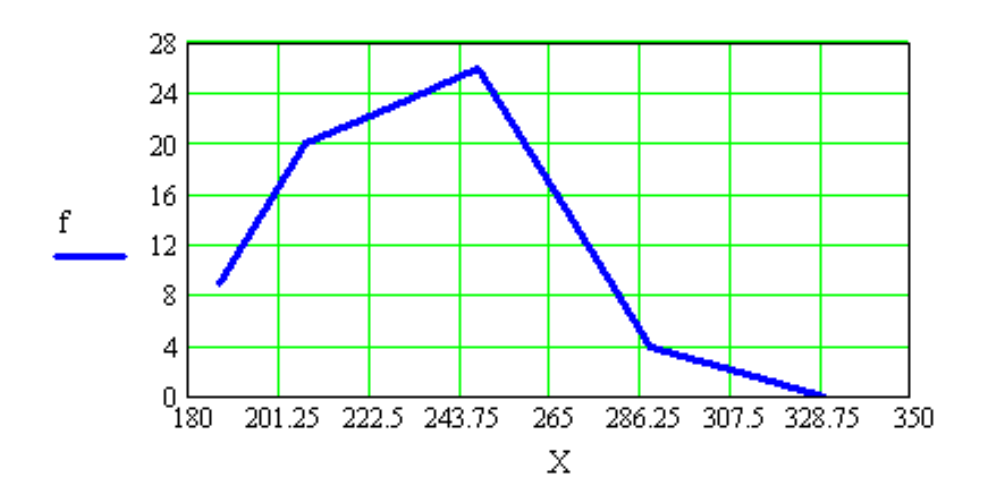


Рисунок 2 - Полигон эмпирического распределения

# Расчет интеграла +

 $i \ = \ 1.25$ 

$$a := 68.81$$
  $b := -0.142$ 

$$bb := \int_0^1 a \cdot e^{b \cdot t^2} dt \qquad bb = 80.053$$

$$n = \frac{bb \cdot 30}{\pi}$$
  $n = 764.451$ 

$$x = M^{-1} \cdot v \qquad x = \begin{bmatrix} 0.0025972222 \\ 0.00150625 \\ 1.6318333334 \\ 1.8407361111 \\ 717.6577083614 \end{bmatrix}$$
 
$$D0 = x_6 \qquad D1 = x_5 \qquad D2 = x_4 \qquad D12 = x_3 \qquad D11 = x_2 \qquad D22 = x_5$$

0.0009890625

## Действительные коэффииенты уравнения вида: y=D0+D1\*X1+D2\*X2+D12\*X1\*X2+D11\*X1\*X1+D22\*X2\*X2

D0 = 717.658 D1 = -1.841 D2 = -1.632 D12 = 1.506\*10<sup>-3</sup>

D11 = 2.597\*10<sup>-3</sup> D22 = 9.891\*10<sup>-4</sup>

$$j = 1 - n yp1_j = D0 + D1 \cdot X1_j + D2 \cdot X2_j yp2_j = D12 \cdot X1_j \cdot X2_j yp3_j = D11 \cdot X1_j \cdot X1_j + D22 \cdot X2_j \cdot X2_j yp = yp1 + yp2 + yp3 dy = y - yp$$

$$X1 = \begin{bmatrix} 180 \\ 120 \\ 180 \\ 120 \\ 180 \\ 120 \\ 180 \\ 120 \\ 180 \\ 120 \\ 180 \\ 120 \\ 180 \\ 120 \\ 180 \\ 120 \\ 740 \\ 150 \\ 150 \\ 700$$

2 MHK-Bk-2 дробление.mcd

Листинг программы

# Переход МНК-2 (действительные) - план Вк 2-х факторный

1

Дополнительно 5 опытов плана - n0 Всего опытов
n0 = 5 fi = n0 - 1 fi = 4 k0 8

1.21 1.04 y = 1.91 0.96 1.05

#### Среднее значение и дисперсия плана

# Действительные коэффииенты уравнения вида полученные МНК:

y=D0+D1\*X1+D2\*X2+D12\*X1\*X2+ D11\*X1\*X1+D22\*X2\*X2

D0 717.658 D1 1.841 D2 1.632

D12 = 1.506-10 3

D11 = 2.597·10 3 D22 = 9.891·10 4

# Центр плана и размах варьирования факторов

X10 = 150 X20 = 740

d1 30 d2 40

#### Уравнения перевода

X1=x1-d1 - X10

X2=x2-d2 - X20

b12 = D12-d1-d2

b22 = D22-d2-d2

b11 = D11-d1-d1

b2 D2-d2 2-X20-D22-d2 X10-D12-d2

b1 = D1-d1 = 2-X10-D11-d1 + X20-D12-d1

b01 = D0 + D1-X10 + D2-X20 + D12-X10-X20

b02 = D11-X10-X10 + D22-X20-X20

b0 -b01 - b02

#### Нормализованные коэффициенты уравнения

60 = 1.058

b1 = 1.576

b2 = 2.311

b12 = 1.807

b11 = 2.337

b22 = 1.583

#### Вспомогательные константы

c7 = 0.63738

c8 0.162

c9 0.10353

c10 0.63742

#### Расчет доверительных интервалов

sb0 = c7·sy sb0 = 0.222 sbi = c8-sy sbi = 0.056 sbij = c9-sy sbij = 0.036 sbii clo-sy sbii = 0,222

dbij sbij-t

dbii sbii-t

db0 = sb0.1db0 = 0.616 dbi sbi·t dbi = 0.157

dbij = 0.1

dbii = 0.616

#### Проверка значимости коэффициентов

b0 = 0 if | b0 | < db0 | b0 otherwise b1 = 0 if b1 <dbi

b2 | 0 if b2 <dbi

#### Коэфициенты после проверки на значимость

$$b0 = 1.058$$

b12 = 1.807

$$b22 = 1.583$$

#### Определение числа степеней свободы

$$k1 = 0$$
  $f2 - k0 - k1 - 1$   $f2 = 7$ 

#### Матрица плана

2 MHK-Bk-2 дробление.mcd

$$ssn = 0.247$$

Проверка на адекватность fr<ft

$$s2n = 0.035$$

$$s2y = 0.121$$

$$fr = 0.291$$

$$ft = 6.09$$

$$b0 = 1.058$$

$$ys = 1.234$$

Коэффициенты уравнения регрессии в нормализованном виде

$$b0 = 1.058$$

$$b1 = 1.576$$

b12 = 1.807

$$b22 = 1.583$$

Уравнения вида: 
$$y = \beta_0 + \sum_{1 \leq i \leq \kappa} \beta_i x_i + \sum_{1 \leq i \leq j \leq \kappa} \beta_{ij} x_i x_j + \sum_{1 \leq i \leq \kappa} \beta_{ii} x_i^2$$

# "Каноническое преобразование Bk-2"

b12 = 1.807

$$b22 = 1.583$$

2-b11-x1 - b12-x2= b1

$$M = \begin{bmatrix} 2 \cdot b11 & b12 \\ b12 & 2 \cdot b22 \end{bmatrix} \qquad v = \begin{bmatrix} b1 \\ b2 \end{bmatrix} \qquad x = M^{-1} \cdot v \qquad \qquad x = \begin{bmatrix} 0.07055 \\ 0.68968 \end{bmatrix}$$

$$x = M^{-1} \cdot v$$

$$x1 = x_0$$
  $x2 = x_1$ 

$$f1(x1,x2) = b0 + b1 \cdot x1 + b2 \cdot x2 + b12 \cdot x1 \cdot x2$$

$$f(x1,x2) = f(x1,x2) + b11 \cdot x1^2 + b22 \cdot x2^2$$
 Ys =  $f(x1,x2)$ 

$$\alpha = \frac{\text{atan(b)}}{2}$$
 if b12=0

45-a if b11=b22

$$\frac{\text{atan} \left| \frac{1}{b} \right|}{2} \quad \text{if } b = 0$$

$$\mathbf{E} = \begin{bmatrix} 1 & \mathbf{0} \\ \mathbf{0} & 1 \end{bmatrix}$$

$$E = \begin{bmatrix} 1 & 0 \\ 0 & 1 \end{bmatrix} \hspace{1cm} A = \begin{bmatrix} b11 & b12 \\ \\ \\ b12 \\ \\ \\ 2 \end{bmatrix} \hspace{1cm} b22$$

$$\alpha = \alpha \cdot \frac{180}{\pi}$$

$$B^2 - B \cdot (b11 + b22) + b11 \cdot b22 - \left| \frac{b12}{2} \right|^2 = 0$$

$$C = eigenvals(A)$$
  $C = \begin{bmatrix} 2.939 \\ 0.981 \end{bmatrix}$   $B11 = C_0$   $B22 = C_1$ 

$$Y_8 = 0.20549$$
  $B11 = 2.939$   $B22 = 0.981$   $\alpha = 33.67544$ 

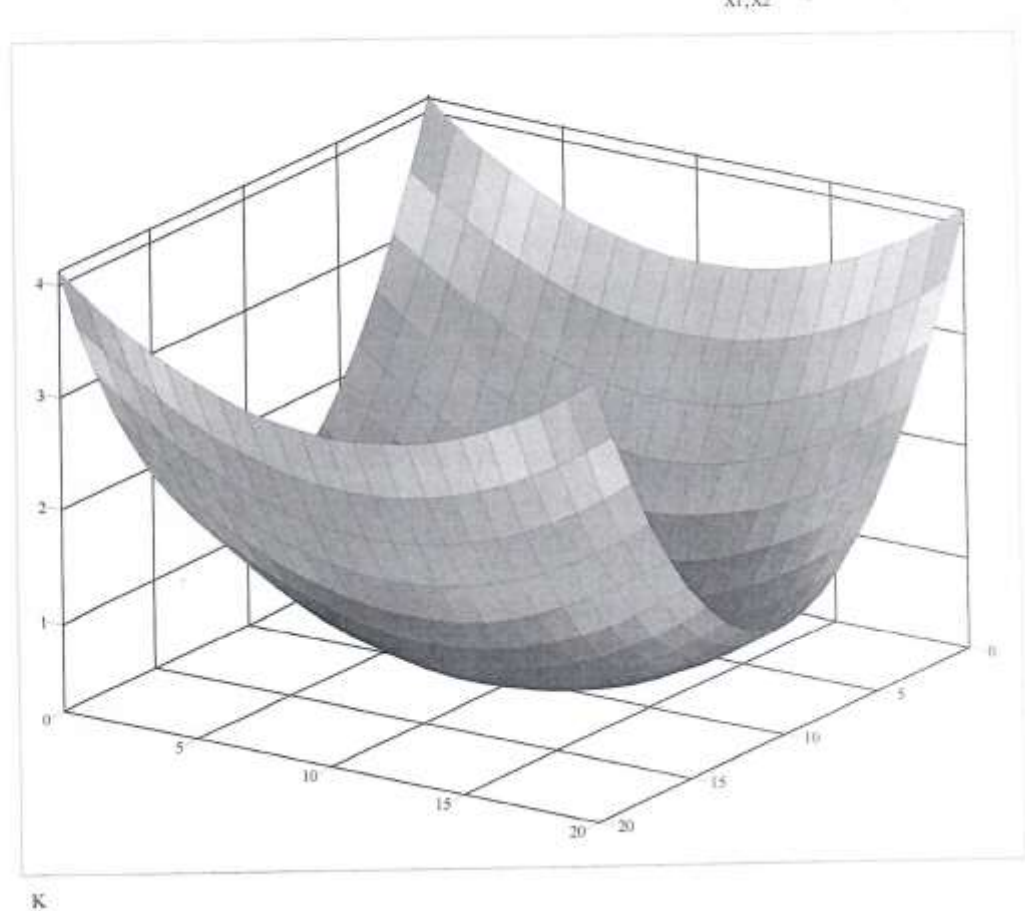
$$JI = bI1 + b22$$
  $J2 = B11 + B22$   $J1 = 3.92$   $J2 = 3.92$ 

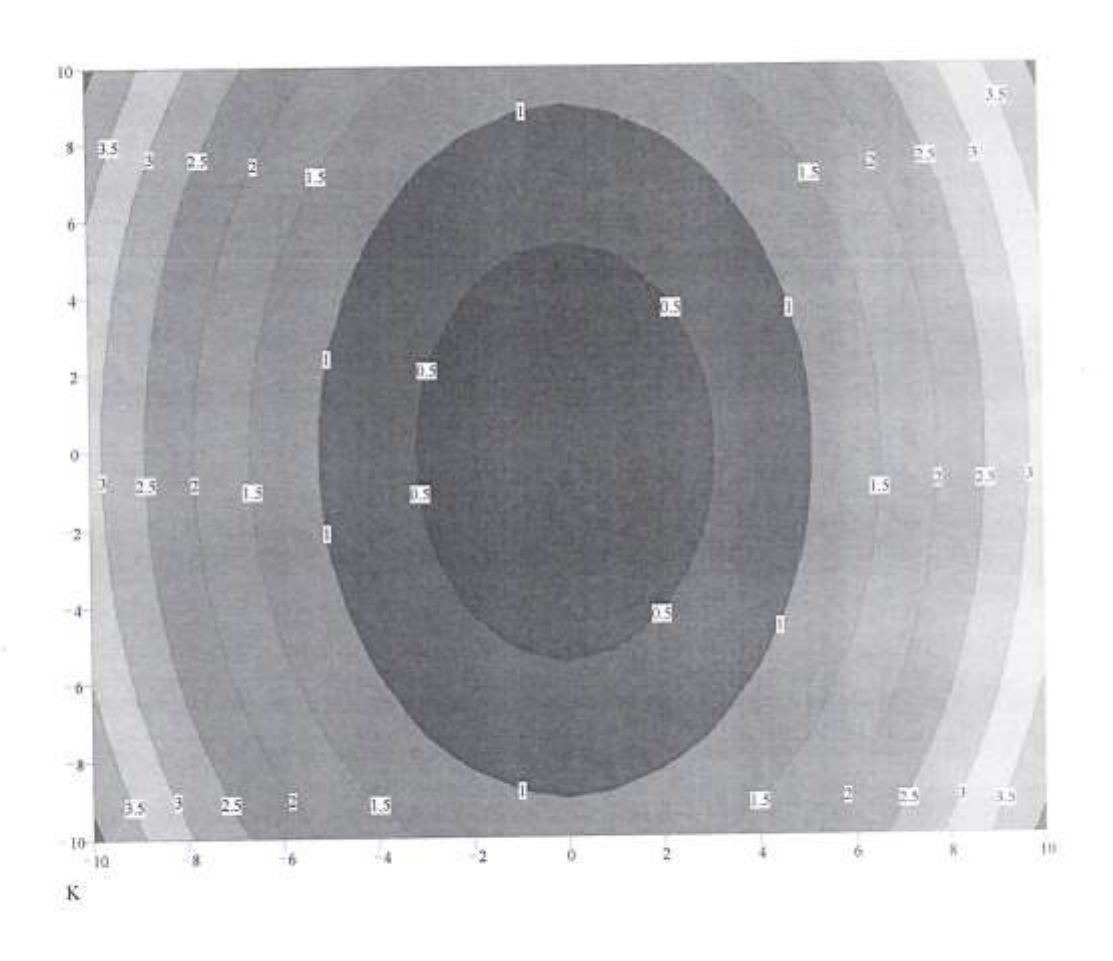
Уравиение регрессии в измонической форме  $Y-Ys=B1*X_1^2+B2*X_2^2$  или

$$\frac{\left(X_{1}\right)^{2}}{Y-Ys} + \frac{\left(X_{2}\right)^{2}}{Y-Ys} = \frac{B2}{B2}$$

$$kk = 20 \hspace{1cm} X1 = 0 ... \hspace{1cm} kk \hspace{1cm} X2 = 0 ... \hspace{1cm} kk \hspace{1cm} X11(X1) = 1 + 0.1 \cdot X1 \hspace{1cm} X22(X2) = 1 + 0.1 \cdot X2$$

 $z(X11,X22) = Ys + B11 \cdot X11(X1) \cdot X11(X1) + B22 \cdot X22(X2) \cdot X22(X2) \\ K_{X1,X2} = z(X11,X22)$ 





2 MHK-Bk-2 1 недомолот.mcd

#### Листинг программы

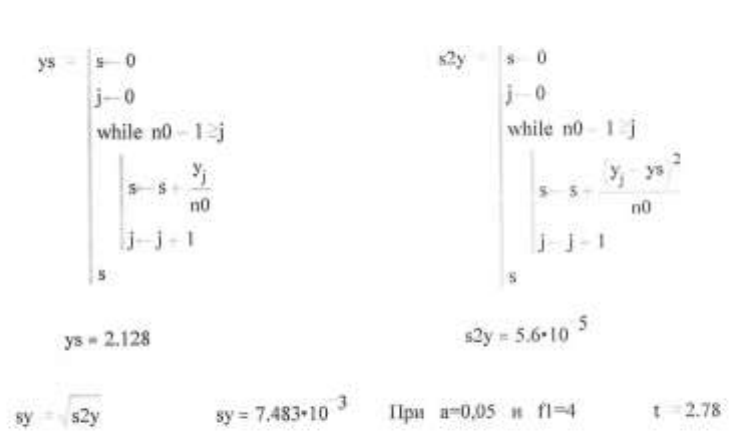
# Переход МНК-2 (действительные) - план Вк 2-х факторный

Дополнительно 5 опытов плана - n0 Всего опытов

n0 = 5 f1 = n0 - 1 f1 = 4 k0 = 8

2.13
2.14
y = 2.12
2.13
2.12

# Среднее значение и дисперсия плана



# Действительные коэффииенты уравнения вида полученные МНК: y=D0+D1\*X1+D2\*X2+D12\*X1\*X2+ D11\*X1\*X1+D22\*X2\*X2

D0 = 918.35 D1 = 1.852 D2 = 2.184

D12 = 1.708-10<sup>-3</sup>

D11 = 2.156-10<sup>-3</sup> D22 = 1.35-10<sup>-3</sup>

# Центр плана и размах варьирования факторов

#### Уравнения перевода

X1=x1-d1 + X10

X2=x2-d2 - X20

b12 = D12-d1-d2

b22 D22-d2-d2

b11 = D11-d1-d1

b2 = D2-d2 + 2-X20-D22-d2 + X10-D12-d2

b1 D1-d1 - 2-X10-D11-d1 - X20-D12-d1

 $b01 = D0 - D1 \cdot X10 + D2 \cdot X20 - D12 \cdot X10 \cdot X20$ 

b02 = D11-X10-X10 + D22-X20-X20

b0 = b01 + b02

### Нормализованные коэффициенты уравнения

60 = 2,127

b1 = 1.761

b2 = 2.831

b12 2.051

b11 1.935

b22 2.154

#### Вспомогательные константы

c7 0.63738

c8 0.162

e9 0.10353 c10 0.63742

#### Расчет доверительных интервалов

sb0 = c7-sy sb0 = 4.77 • 10<sup>-3</sup> sbi - c8-sy sbi = 1.212 · 10<sup>-3</sup> sbij = 7.747\*10 4

sbii c10-sy sbii = 4.77·10 3

db0 sb0-t db0 = 0.013 dbi sbi-t dbi = 3.37•10 3 dbij sbij-t dbij = 2.154•10 3 dbii sbii-t dbii = 0.013

#### Проверка значимости коэффициентов

b0 = 0 if b0 < db0 b0 otherwise

b1 = 0 if b1 <dbi b1 otherwise

b2 0 if b2 <dbi b2 otherwise

# Коэфициенты после проверки на значимость

# Определение числа степеней свободы

$$kl=0 \qquad kl= kl+1 \text{ if } b0\text{==}0 \qquad kl= kl+1 \text{ if } b1\text{==}0 \qquad kl= kl+1 \text{ if } b2\text{==}0$$
 
$$kl \text{ otherwise} \qquad kl \text{ otherwise} \qquad kl \text{ otherwise}$$
 
$$kl= kl+1 \text{ if } b12\text{==}0 \qquad kl= kl+1 \text{ if } b11\text{==}0 \qquad kl= kl+1 \text{ if } b22\text{==}0$$
 
$$kl \text{ otherwise} \qquad kl \text{ otherwise} \qquad kl \text{ otherwise}$$

$$k1 = 0$$
  $f2 = k0 - k1 - 1$   $f2 = 7$ 

### Матрица плана Отклик

$$\mathbf{x}\mathbf{1} = \begin{bmatrix} 1 \\ -1 \\ 1 \\ 1 \\ 1 \\ -1 \\ 1 \\ 1 \\ 0 \\ 0 \end{bmatrix} \qquad \mathbf{x}\mathbf{2} = \begin{bmatrix} 1 \\ 1 \\ 1 \\ -1 \\ 0 \\ 0 \\ 1 \\ 1 \end{bmatrix} \qquad \begin{bmatrix} 12.86 \\ 5.24 \\ 3.10 \\ 3.68 \\ y \\ 5.82 \\ 0 \\ 2.30 \\ 7.11 \\ 0 \\ 0 \end{bmatrix}$$

2 МНК-Вк-2 1 недомолот.mcd

$$z=0 \qquad \quad c=0 \qquad \quad v=0 \qquad \quad a=0$$

$$\begin{array}{l} s = 0 \\ j = 0 \\ while \ k0 - 1 \ge j \\ \\ z = z + b0 + b1 \cdot x1_j + b2 \cdot x2_j \\ c = c + b12 \cdot x1_j \cdot x2_j \\ v = v + b11 \cdot x1_j \cdot x1_j + b22 \cdot x2_j \cdot x2_j \\ a = a + z + c + v \\ s = s + \left(y_j - a\right)^2 \\ j = j + 1 \\ s \end{array}$$

$$ssn = 9*10^{-5}$$
  $s2n - \frac{ssn}{f2}$   $fr - \frac{s2n}{s2y}$ 

$$fr = \frac{s2n}{s2v}$$

$$f2 = 7$$
  $f1 = 4$ 

Проверка на адекватность fr<ft

$$fr=0.23$$

$$ft = 6.09$$

$$b0 = 2.127$$

$$ys = 2.128$$

Коэффициенты уравнения регрессии в нормализованном виде

$$b2 = 2.831$$

b12 = 2.051

уравнения вида: 
$$y = \beta_0 + \sum_{1 \leq i \leq \kappa} \beta_i x_i + \sum_{1 \leq i \leq j \leq \kappa} \beta_{ij} x_i x_j + \sum_{1 \leq i \leq \kappa} \beta_{ii} x_i^2$$

## "Каноническое преобразование Вк-2"

$$M = \begin{bmatrix} 2.b11 & b12 \\ b12 & 2.b22 \end{bmatrix} \quad v = \begin{bmatrix} -b1 \\ b2 \end{bmatrix} \quad x = M^{-1} \cdot v \quad x = \begin{bmatrix} 0.1428 \\ 0.58917 \end{bmatrix}$$

$$x1 = x_0 \quad x2 = x_1$$

$$\begin{split} fI(x1,x2) &= b0 + b1 \cdot x1 = b2 \cdot x2 + b12 \cdot x1 \cdot x2 \\ f(x1,x2) &= fI(x1,x2) + b11 \cdot x1^2 + b22 \cdot x2^2 \end{split} \qquad \qquad Ys = f(x1,x2) \end{split}$$

$$b = \begin{vmatrix} b12 & \text{if } b12 = 0 \\ b11 - b22 & \text{otherwise} \\ b12 & \text{otherwise} \end{vmatrix} = \alpha = \begin{vmatrix} atan(b) \\ 2 & \text{if } b12 = 0 \\ \\ 45 - \pi & \text{if } b11 = b22 \\ \\ 180 & \\ \\ 2 & \text{if } b \neq 0 \end{vmatrix}$$

$$E = \begin{bmatrix} 1 & 0 \\ 0 & 1 \end{bmatrix} \qquad A = \begin{bmatrix} b11 & b12 \\ \hline 2 \\ \hline b12 \\ \hline 2 \\ b22 \end{bmatrix} \qquad \alpha = \alpha - \frac{180}{\pi}$$

$$B^2 - B \cdot (b11 + b22) + b11 \cdot b22 - \left| \frac{b12}{2} \right|^2 = 0$$

$$C = eigenvals(A)$$
  $C = \begin{bmatrix} 1.01317 \\ 3.07583 \end{bmatrix}$  B11  $C_0$  B22  $C_1$ 

$$Ys = 1.1673$$

$$B22 = 3.07583$$
  $\alpha = 41.95261$ 

$$a = 41.95261$$

$$x1 = -0.1428$$

$$x2 = -0.58917$$

$$J2 = B11 - B22$$

$$J1 = 4.089$$

$$J2 = 4.089$$

Уравнение регрессии в канонической форме  $Y-Ys=B1*X_1^2+B2*X_2^3$  или

$$\frac{{\binom{X_1}^2}}{{\frac{Y - Y_5}{B1}}} + \frac{{\binom{X_2}^2}}{{\frac{Y - Y_5}{B2}}} =$$

kk = 20 X1 = 0,... kk X2 = 0... kk X11(X1) = 1 = 0.1·X1 X22(X2) = 1 = 0.1·X2

 $z(X11,X22) = Ys - B11 \cdot X11(X1) \cdot X11(X1) + B22 \cdot X22(X2) \cdot X22(X2)$ 

 $K_{X1,X2} = z(X11,X22)$ 

